

Forsmark site investigation

Bedrock mapping

**Petrographic and geochemical
characteristics of rock types based
on stage 1 (2002) and stage 2 (2003)
surface data**

M B Stephens, S Lundqvist, T Bergman
Geological Survey of Sweden

M Ekström, Ekström Mineral AB

May 2005

Svensk Kärnbränslehantering AB
Swedish Nuclear Fuel
and Waste Management Co
Box 5864
SE-102 40 Stockholm Sweden
Tel 08-459 84 00
+46 8 459 84 00
Fax 08-661 57 19
+46 8 661 57 19



Forsmark site investigation

Bedrock mapping

Petrographic and geochemical characteristics of rock types based on stage 1 (2002) and stage 2 (2003) surface data

M B Stephens, S Lundqvist, T Bergman
Geological Survey of Sweden

M Ekström, Ekström Mineral AB

May 2005

Keywords: Forsmark, Surface data, Modal analysis, Texture, Microstructure, Geochemistry, AP PF 400-02-11.

This report concerns a study which was conducted for SKB. The conclusions and viewpoints presented in the report are those of the authors and do not necessarily coincide with those of the client.

A pdf version of this document can be downloaded from www.skb.se

Abstract

This report presents petrographic and whole-rock geochemical analyses for 81 and 40 surface bedrock samples, respectively, from the Forsmark site. The petrographic data include 51 modal analyses. All these analyses were completed during stage 2 of the bedrock-mapping project. They complement the petrographic (78 samples) and whole-rock geochemical (50 samples) data that were reported earlier during stage 1. Analyses were completed on all the major groups of rocks at the site (Groups A to D) and the focus of the analytical work during stage 2 was on samples from the areas marginal to the candidate area. The report also provides a synthesis of the results from the analytical work completed during both these stages.

All the felsic rocks at the surface are rich in quartz. The modal analyses indicate that the quartz content in these felsic rocks lies in the range 14 to 45%. The Group B rocks with a predominantly granitic composition, which dominate inside the candidate area, yield modal quartz values in the range 28 to 44%. The granitoids within Groups C and D, which occur as subordinate rock types inside the candidate area, show modal quartz values in the range 18 to 35% and 25 to 43%, respectively.

Early-stage alteration gives rise to difficulties to assess the primary composition of the fine-grained, volcanic and synvolcanic intrusive rocks (Group A1). Locally, this alteration has also affected the Group B rocks with a granitic composition that dominate inside the candidate area. A pale grey to whitish colour, an anomalous geochemical trend into the granodioritic and tonalitic fields, and the absence of hornblende help to distinguish these altered granites from true granodiorites and tonalites. In the field, this type of alteration has been noted in Group B granite close to the contact with dyke-like bodies of amphibolite. Later secondary alteration that affected the various minerals in the rocks is conspicuous in many thin-sections.

There are two separate phases of calc-alkaline, peraluminous (to metaluminous) intrusive activity at the site. The older, calc-alkaline intrusive rocks (Group B) form major plutons. The rocks are, in general, medium-grained and show a broad range in composition. Pyroxenite, gabbro-diorite, quartz diorite, tonalite, granodiorite and biotite-bearing granite are present. The biotite-bearing granite, which dominates in the candidate area, is spatially associated with amphibolite in a bimodal rock association. Ductile deformation under amphibolite-facies metamorphic conditions affected all these plutonic rocks prior to intrusion of the rocks in the younger calc-alkaline suite.

The younger, calc-alkaline intrusive rocks (Groups C and D) occur as minor intrusions. The Group C rocks are fine- to medium-grained and are predominantly granodioritic and tonalitic in composition. They are also affected by ductile deformation under amphibolite-facies metamorphic conditions. The Group D rocks consist of fine- to medium-grained granite that commonly shows low contents of biotite. Coarser, pegmatitic granite and different generations of pegmatite are also present. There is a more common occurrence of higher contents of U and Th in the rocks in Group D, compared to that observed in the other groups. Furthermore, the rocks in Group D are only affected, in part, by ductile deformation and metamorphism. Finally, only the Group D rocks show a commonly high frequency of microfractures.

Sammanfattning

Denna rapport redovisar 81 petrografiska och 40 geokemiska analyser av bergarter från Forsmarksområdet. I 51 av de petrografiska analyserna är modalsammansättningen analyserad. Alla analyserna utfördes under steg 2 av den berggrundsgeologiska karteringen, och kompletterar de 78 petrografiska och 50 geokemiska analyser som rapporterats tidigare under steg 1 av denna kartering. Analyser utfördes på alla huvudbergarter (Grupp A till D), och analysarbetet under steg 2 fokuserades på bergartsprover från områden som omger själva kandidatområdet. Rapporten omfattar även en syntes av resultaten från analysarbetet under både steg 1 och 2.

Alla de felsiska bergarterna på ytan är kvartsrika. Modalanalyserna visar att kvartshalten i alla felsiska bergarter ligger i intervallet 14 till 45%. Grupp B-bergarterna som har en huvudsakligen granitisk sammansättning och domineras inom kandidatområdet, har kvartshalter i intervallet 28 till 44%. I granitoiderna i grupp C och D, vilka utgör underordnade bergarter inom kandidatområdet, varierar kvartshalten mellan 18 och 35% respektive 25 och 43%.

Omvandlingar som skedde innan deformationen och metamorfosen av de finkorniga vulkaniska och synvulkaniska, intrusiva bergarterna (Grupp A1) leder till att det är svårt att bestämma den primära sammansättningen. Lokalt har denna omvandling även drabbat de granitiska Grupp B-bergarterna som domineras kandidatområdet. En ljusgrå till vit färg, en anomal geokemisk trend med granodioritiska till tonalitiska sammansättningar och frånvaron av hornblände skiljer dessa omvandlade graniter från intrusiva bergarter med en primär granodioritisk och tonalitisk sammansättning. I fält har denna typ av omvandling observerats i graniten vid kontakten till gångliknande kroppar av amfibolit. Senare sekundär omvandling av olika mineral förekommer i alla bergarter.

Det förekommer två separata faser av kalkalkalin, peraluminös (till metaaluminös) intrusiv aktivitet i undersökningsområdet. De äldre kalkalkalina intrusiva bergarterna (Grupp B) bildar stora plutoner. I allmänhet är dessa bergarter medelkorniga och uppvisar en stor sammansättningsvariation. Pyroxenit, gabbro-diorit, kvartsdiorit, tonalit, granodiorit och biotitförande granit förekommer. Den biotitförande graniten är rumsligt associerad med amfibolit och tillsammans utgör de en bimodal bergartsassociation vilken domineras inom kandidatområdet. Plastisk deformation under metamorfa förhållanden motsvarande amfibolitfacies påverkade de plutoniska bergarterna innan intrusionen av bergarterna i den yngre kalkalkalina sviten.

De yngre kalkalkalina intrusiva bergarterna (Grupp C och D) förekommer som mindre intrusioner. Grupp C-bergarterna har en dominande granodioritisk och tonalitisk sammansättning. De är också påverkade av plastisk deformation under metamorfa förhållanden motsvarande amfibolitfacies. Grupp D-bergarterna utgörs av fin- till medelkornig granit vilken vanligen har en låg halt av biotit. Grövre pegmatitgranit och olika generationer av pegmatit förekommer också. Bergarterna i Grupp D har vanligen högre halter av U och Th jämfört med bergarterna i de andra grupperna. Grupp D-bergarterna är bara delvis påverkade av plastisk deformation och metamorfos men visar vanligtvis en hög frekvens av mikrosprickor.

Contents

1	Introduction	7
2	Objective and scope	9
3	Equipment	13
3.1	Description of equipment	13
4	Execution	15
4.1	Preparatory work	15
4.2	Analytical work	15
4.3	Data handling	16
5	Results	19
5.1	Rock types defined on the basis of field investigations	19
5.2	Petrography including modal analytical data	20
5.3	Geochemistry	42
6	Conclusions	61
7	References	63
Appendix 1 Modal analyses and description of thin sections		65
Appendix 2 Whole-rock geochemical analyses		147

1 Introduction

This document reports the final batch of analytical data that has been acquired in connection with the project entitled “Bedrock mapping at Forsmark, 2002–2003” (AP PF 400-02-11). The project was organised into several distinct working phases which were planned to be executed during two time stages, 2002 (stage 1) and 2003 (stage 2). Outcrop data for these two stages were presented in /Stephens et al. 2003a/ and /Bergman et al. 2004/, respectively. This project is one of the activities performed within the site investigation programme at Forsmark.

The bedrock-mapping project has produced a new, detailed geological map of the bedrock in the candidate area at Forsmark and its surroundings. The area selected for mapping is constrained by the co-ordinates shown in Table 1-1. The outline of the mapping area and the outcrops observed during both stages of the project are shown in Figure 1-1. One of the key sets of data that was required for the production of this map is the petrographic and geochemical characteristics of the different rock types in the mapping area.

Table 1-1. Co-ordinates of the area selected for bedrock mapping in the Forsmark area.

Corner ID	Northing in RT 90, 2.5 gon V (metres)	Easting in RT 90, 2.5 gon V (metres)
1	6,706,371	1,632,471
2	6,698,593	1,640,249
3	6,691,522	1,633,178
4	6,699,300	1,625,400

The first batch of petrographic and geochemical data from stage 1 samples were reported in /Stephens et al. 2003b/. The new data reported here are complementary petrographic (including modal analyses) and geochemical analyses of bedrock samples from:

1. Surface outcrops that were documented in the outcrop database during stage 1 of the project /Stephens et al. 2003a/.
2. Surface outcrops that were documented in the outcrop database during stage 2 of the project /Bergman et al. 2004/.

These data are presented for each group of rock types that has been recognized in the Forsmark area /Stephens et al. 2003b/. A synthesis of all the petrographic and geochemical data is presented in the various diagrams and tables in this report.

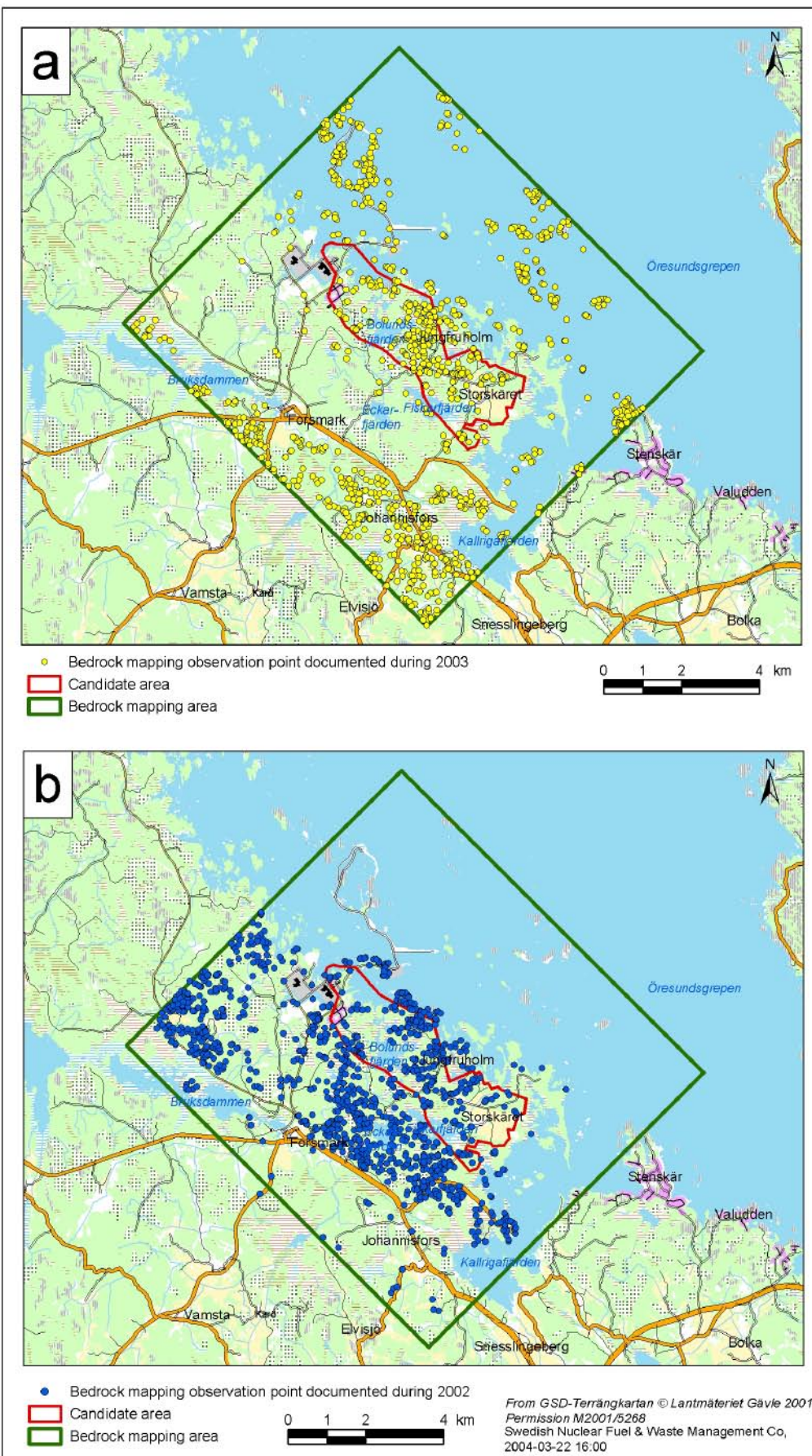


Figure 1-1. Location of observation points where bedrock-mapping data were collected during stage 2 (a) and stage 1 (b).

2 Objective and scope

The mapping of bedrock outcrops in the Forsmark area provided, amongst other attributes, a first estimation of the composition and grain size of the various rock types that are exposed at the surface /Stephens et al. 2003a; Bergman et al. 2004/. These estimates were carried out optically, often with the help of a hand lens. The field investigations showed that the bedrock in the Forsmark area is composed predominantly of igneous rocks which have been affected by metamorphism under amphibolite-facies conditions /Stephens et al. 2003a; Bergman et al. 2004/. In order to obtain a more systematic documentation of the composition of these rock types, petrographic (including a calculation of modal values) and geochemical analyses of representative samples from the surface bedrock are necessary.

The microscopic examination of thin sections in the petrographic analysis also provides important grain size, textural and microstructural information. The availability of geochemical analyses opens possibilities to document the broader petrological characteristics of the different groups of rock types that have been recognised on the basis of the field work. Furthermore, these characteristics can be compared with the geochemical trends of major bedrock units in the region.

The first round of petrographic and geochemical analyses was completed in connection with stage 1 of the bedrock mapping project /Stephens et al. 2003b/. Petrographic data from 78 samples (including 71 modal analyses) and whole-rock geochemical data from 50 samples were generated at this stage. During the present work, 81 bedrock samples were selected for petrographic analysis and 51 of these samples underwent a modal analysis (Table 2-1, Figure 2-1). 40 rock samples were also selected for whole-rock geochemical analysis (Table 2-1, Figure 2-1). Modal analyses are available either for the same sample that was analysed geochemically (36) or from a bedrock sample taken from the same rock type at the same outcrop (4). The focus of analytical work during stage 2 has been on samples that are situated in the areas marginal to the candidate area at Forsmark (Figure 2-1).

Table 2-1. Summary of petrographic and geochemical analyses carried out on surface bedrock samples selected during stage 2 of the bedrock-mapping project. A similar summary for the stage 1 samples is presented in /Stephens et al. 2003b/.

PFM-nr	N-S-coord.	E-W-coord.	Description of thin-section	Modal analysis	Geochemical analysis
PFM000261A	6699158	1629846	x		
PFM000276A	6697997	1631059	x		
PFM000278B	6698045	1631243		x	
PFM000555A	6692340	1633763	x	x	x
PFM000557A	6692780	1634208	x	x	x
PFM000601A	6693819	1631058	x	x	x
PFM000614A	6694755	1630650	x	x	x
PFM000621A	6695532	1630884	x	x	x
PFM000650A	6696739	1628728	x	x	x
PFM000651A	6696712	1628665	x	x	x
PFM000652A	6696674	1628614	x	x	x
PFM000677B	6698346	1634362	x	x	
PFM000709E	6700658	1632430	x		
PFM000718C	6700543	1632654	x		
PFM000778A	6700419	1629690	x	x	x
PFM000782A	6701351	1628857	x	x	x
PFM000782B	6701351	1628857	x		
PFM000789A	6701885	1628291	x		
PFM000825B	6701460	1628049	x	x	
PFM000825C	6701460	1628049	x		
PFM000827A	6700317	1628455	x	x	
PFM000834A	6700784	1628532	x		
PFM000837A	6701852	1628963	x	x	x
PFM000837D	6701852	1628963	x		
PFM000842A	6702060	1628886	x	x	x
PFM000844B	6702401	1628795	x		
PFM000872A	6699452	1629758	x		
PFM000994A	6696236	1629904	x	x	x
PFM001010A	6696151	1628975	x	x	x
PFM001102A	6701738	1635649	x	x	x
PFM001106A	6701714	1635350	x	x	x
PFM001119A	6698381	1634354			x
PFM001156B	6701371	1632016	x		
PFM001157A	6700020	1630033	x	x	
PFM001158A	6699645	1630099	x	x	
PFM001160A	6700636	1632588	x	x	
PFM001161A	6700618	1632616	x	x	
PFM001172A	6699784	1632974	x		
PFM001176B	6699038	1633245	x		
PFM001176C	6699038	1633245	x		
PFM001204A	6694745	1634443	x	x	
PFM001214B	6701054	1630626	x		
PFM001216B	6701194	1629974	x		

PFM-nr	N-S-coord.	E-W-coord.	Description of thin-section	Modal analysis	Geochemical analysis
PFM001224B	6701560	1631547	x	x	
PFM001224C	6701560	1631547			x
PFM001226A	6700351	1630652	x		
PFM001229B	6701410	1631893	x	x	
PFM001229C	6701410	1631893			x
PFM001234B	6701393	1632042	x		
PFM001235A	6701402	1632065	x		
PFM001243B	6701079	1632094	x	x	
PFM001246A	6701198	1632025	x		
PFM001252A	6700095	1630303	x		
PFM001256A	6700043	1630212	x		
PFM001529A	6700167	1626524	x		
PFM001539A	6700164	1626885	x		
PFM001573A	6700739	1627891	x	x	
PFM001579A	6700726	1627702	x	x	
PFM001580A	6700671	1627710	x	x	
PFM001627A	6700274	1633187	x	x	x
PFM001635A	6702146	1629682	x	x	x
PFM001636A	6702627	1629913	x	x	x
PFM001650A	6703456	1630782	x		
PFM001874A	6695974	1634993	x	x	
PFM001906A	6704232	1631955	x	x	x
PFM001908A	6704814	1631052	x	x	x
PFM001941A	6700115	1635856	x	x	x
PFM001956A	6704315	1633529	x	x	x
PFM002128A	6697402	1631521	x		
PFM002149A	6695462	1634077	x	x	x
PFM002163A	6695756	1633125	x		
PFM002179B	6695355	1633432	x		
PFM002221A	6694642	1635144	x	x	x
PFM005172A	6696760	1628033	x	x	x
PFM005193A	6699251	1634961	x	x	x
PFM005197A	6699858	1634100	x	x	x
PFM005205B	6699875	1633704	x	x	x
PFM005206A	6702911	1632195	x	x	x
PFM005209A	6703186	1631796	x	x	x
PFM005217A	6704608	1630901	x	x	x
PFM005236A	6700362	1635703	x	x	x
PFM005245A	6705094	1633496	x	x	x
PFM005249A	6704589	1634027	x		
PFM005282A	6696670	1638116	x	x	x
PFM005288A	6697002	1638048	x	x	x

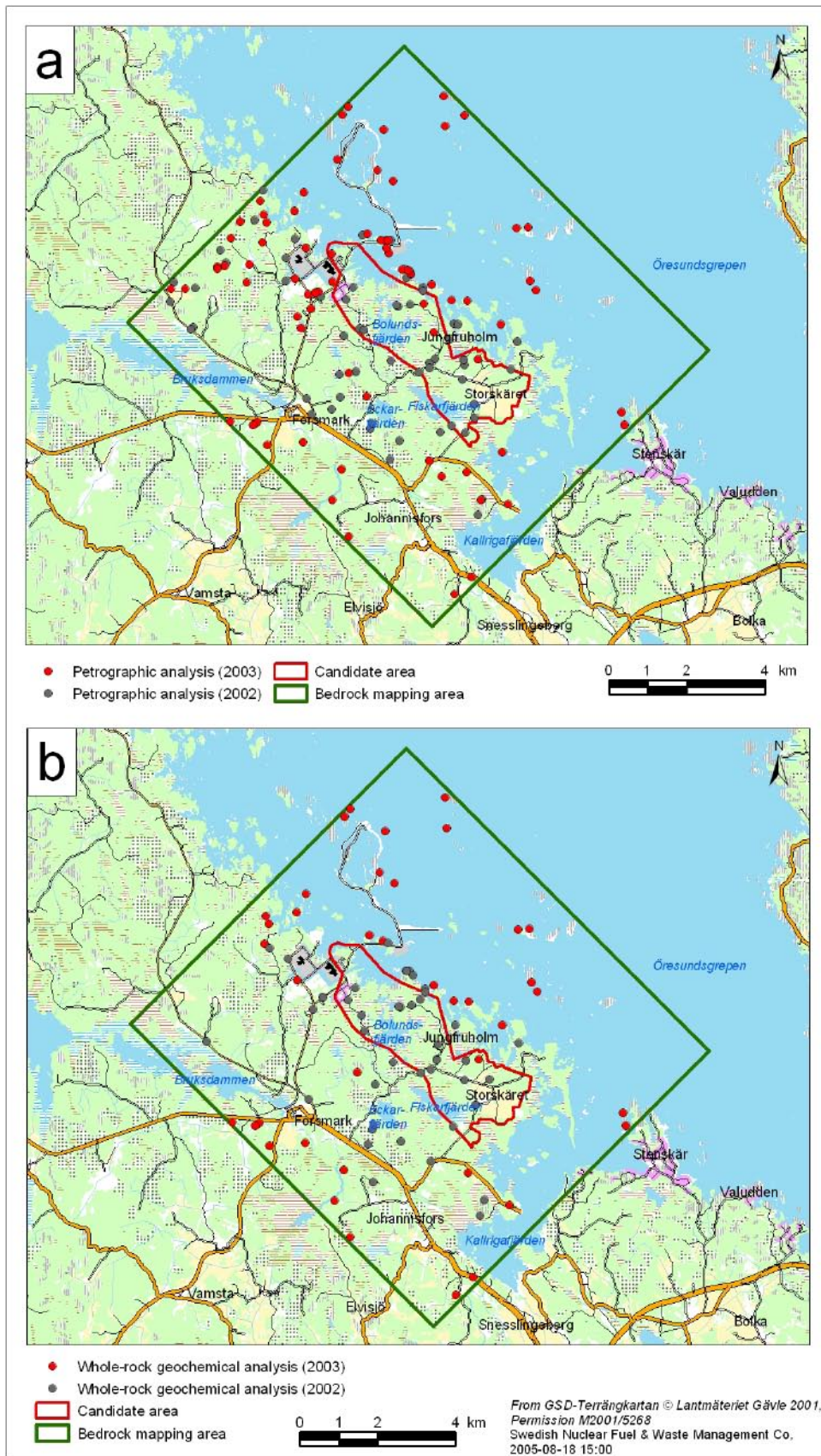


Figure 2-1. Location of surface bedrock samples which have undergone petrographic (a) and whole-rock geochemical (b) analyses during stages 1 (2002) and 2 (2003) of the bedrock-mapping project. Samples from different rock types at the same locality are not distinguishable on this diagram. Several samples also lie close to each other and are also difficult to distinguish on this figure.

3 Equipment

3.1 Description of equipment

Optical microscopic investigations were carried out at the Geological Survey of Sweden in Uppsala and at Ekström Mineral AB in Täby, Stockholm using standard polarizing microscopes designed for the investigation of thin sections of bedrock samples. The modal analyses were carried out using standard point counter equipment. Some representative photomicrographs were taken using a polarizing microscope with digital photographic equipment at the Geological Survey of Sweden.

The fresh bedrock samples selected for geochemical analysis were prepared for analysis by crushing and pulverizing to a fine powder by Swedish Geochem Services AB, Öjebyn. The samples were crushed using a Mn-steel crusher and pulverized using a LM5 mill. The powdered samples were subsequently analysed geochemically at the Acme Analytical Laboratories Ltd in Vancouver, Canada using the ICP (Inductively Coupled Plasma) technique. This laboratory was satisfactorily accredited under ISO 9002 during November 1996.

4 Execution

The preparation of samples, the analytical work and the data handling have followed the procedures recommended in the description of the methods for the analysis of bedrock samples (SKB MD 160.001).

4.1 Preparatory work

Fresh, representative bedrock samples were selected for petrographic description, modal analysis and geochemical analysis during and after the field work carried out in connection with the stage 2 bedrock-mapping programme. All the selection work was carried out after mapping of the respective outcrop had been completed. In order to check the precision of the geochemical data, Acme Analytical Laboratories Ltd completed a repeat analysis on one sample, PFM001224C.

Uncovered polished thin sections from 81 samples were prepared by Minoprep in Hunnebostrand for optical microscopic investigations. 36 of these samples together with four more samples were crushed and pulverized by Swedish Geochem Services AB. Crushing down to a size of < 10 mm was followed by grinding to a powder with a size < 200 mesh (90%). 50–100 gm of this fine powder was subsequently extracted and transferred to Acme Analytical Laboratories Ltd in Vancouver, Canada for geochemical analysis. The crushing and pulverizing procedure is estimated to give rise to minor contamination of the elements Fe (c 600 ppm), Mn (c 9 ppm) and Cr (c 1.5 ppm) in the powder extracted for analysis.

4.2 Analytical work

Table 4-1 summarizes the information that is included in the thin section description of each sample:

Table 4-1. Summary of information in the thin-section description.

-
- ID-code, outcrop (PFM-number).
 - Coordinates of the PFM-number.
 - Person who has carried out the analysis.
 - Date.
 - Number of points analysed in the modal analysis.
 - Grain size.
 - Texture.
 - Microstructure.
 - Mineral occurrence with comments. Values included if a modal analysis has been carried out.
 - Rock type based on the modal analysis (if available) or field estimate (if no modal analysis is available).
 - Brief general description in free text form.
-

A modal analysis was completed for the majority of the thin sections (51 of 81). The mineral composition at 500 evenly-spaced points over each thin-section were determined during this analysis. Following point counting, the grain size as well as the relevant textural and microstructural characteristics of each sample were documented (thin section description). A qualitative analysis of the mineral composition and a description of the thin section were also completed for the remaining samples (30).

The major and minor oxide (SiO_2 , Al_2O_3 , Fe_2O_3 , MgO , CaO , Na_2O , K_2O , TiO_2 , P_2O_5 , and MnO) and some trace oxide and element compositions (Cr_2O_3 , Ba , Ni and Sc) of the 40 geochemical samples were analysed by ICP-AES (Inductively Coupled Plasma – Atomic Emission Spectrometer). A 0.2 g sample from a LiBO_2 fusion was used. The ICP-AES analytical method is capable of determining the concentrations of many elements simultaneously by measuring the intensity of light given off by samples aspirated into an argon gas plasma heated to $> 10,000^\circ\text{K}$. The technique is capable of very low detection limits (ppm to ppb) with wide linear ranges (5 orders of magnitude).

C and S in the 50 samples were determined by the so-called Leco method. Each sample was heated in an induction furnace operating at $> 1,650^\circ\text{C}$ causing the volatilization of all C- and S-bearing minerals and compounds. The vapours were then carried through an infrared spectrometric cell wherein the concentrations of C and S were determined by absorption of specific infrared wavelengths.

The trace elements Co, Cs, Ga, Hf, Nb, Rb, Sn, Sr, Ta, Th, U, V, W, Zr and Y and the rare earth elements (REE) La, Ce, Pr, Nd, Sm, Eu, Gd, Tb, Dy, Ho, Er, Tm, Yb and Lu in the 40 geochemical samples were analysed by ICP-MS (Inductively Coupled Plasma – Mass Spectrometer) after a LiBO_2 fusion. The remaining elements, Mo, Cu, Pb, Zn, Ni, As, Cd, Sb, Bi, Ag, Au, Hg and Tl, were analysed by leaching a 0.5 gm sample with 3 ml 2-2-2 $\text{HCl-HNO}_3-\text{H}_2\text{O}$ at 95°C for one hour, dilution to 10 ml and then analysed by ICP-MS. This analytical method is capable of determining the concentrations of many elements simultaneously by measuring the mass of ions generated by an argon gas plasma heated to $10,000^\circ\text{K}$ and passing through a magnetic quadrupole to the detector. The method is capable of very low detection limits (ppb to ppt) with wide linear ranges (up to 7 orders of magnitude).

4.3 Data handling

The descriptions of the thin sections (81 samples) and the modal analyses (51 of these 81 samples) were all included in an Access database for the documentation of thin section descriptions which is under development at the Geological Survey of Sweden.

The numerical data (51 modal analyses) were subsequently transferred and exported to SKB as an Excel file, following the format recommended by SKB. The modal analyses have been recalculated in this report as QAP($F = 0$) values for inclusion in Streckeisen plots /Streckeisen, 1976, 1978/, in order to facilitate a more systematic rock classification /Le Bas and Streckeisen, 1991; Le Maitre, 2002/. Following internationally recommended standards and the recommendations in the method description for whole-rock analysis (SKB MD 160.001), rock nomenclature is steered by the modal analysis data. The size of mineral grains in the groundmass of the various meta-igneous rocks follows the nomenclature used by the Geological Survey of Sweden (Table 4-2).

Table 4-2. Nomenclature for the grain size of groundmass in igneous rocks (after the Geological Survey of Sweden).

Size of mineral grains in groundmass	Nomenclature
< 0.05 mm	Very fine-grained
0.05–1 mm	Fine-grained
1–3 mm	Finely medium-grained
1–5 mm	Medium-grained
3–5 mm	Coarsely medium-grained
> 5 mm	Coarse-grained

The raw geochemical data (40 analyses plus one repeat analysis from the same sample) were transferred and subsequently exported to SKB as an Excel file, following the format recommended by SKB. The geochemical data have been handled in this report so that they can be presented in several standard geochemical plots.

5 Results

5.1 Rock types defined on the basis of field investigations

The mapping of bedrock outcrops indicates that four major groups of rock types are present in the Forsmark area (Groups A, B, C and D). Groups A, B and C represent a stratigraphic sequence with older, predominantly supracrustal rocks represented in Group A, major plutonic rocks represented in Group B, and younger, minor intrusive rocks represented in Group C. The minor intrusive rocks in Group D are younger than the rocks in Groups A and B. However, there are variable age relationships between the rocks in Groups C and D.

The various groups form a basis for the graphical presentation of modal and geochemical data in several diagrams in this report. The nomenclature used for the different rock types in these diagrams is based solely on the estimates of rock composition carried out in the field. Furthermore, the estimates of grain size made in the field are an attempt to address the size of mineral grains prior to the effects of deformational and metamorphic processes. A definition of the major groups and a description of the various rock types within each group were presented earlier /Stephens et al. 2003b/. A brief summary of these groups, including their relationship to the deformation in the bedrock, is shown in Table 5-1.

Biotite-bearing granite (to granodiorite) dominates the surface bedrock inside the candidate area at Forsmark. Amphibolite, minor intrusions of granitoids that belong to Group C, as well as pegmatitic rocks and granites that belong to Group D form subordinate rock components inside the candidate area.

Table 5-1. Summary of rock types and rock groups at Forsmark.

Rock types	
All rocks affected by brittle deformation. Fractures generally cut the boundaries between the different rock types (sealed boundaries).	
	Rocks in Group D affected, in part, by ductile deformation and metamorphism.
Group D	Fine- to medium-grained granite (D1), aplite (D1), pegmatitic granite (D2) and pegmatite (D3). Occur as dykes and minor bodies. Locally, strongly discordant contacts with respect to earlier ductile deformation. Variable age relationships with respect to Group C.
	Rocks in Group C affected by penetrative ductile deformation under lower amphibolite-facies metamorphic conditions.
Group C	Fine- to medium-grained granitoid with predominantly granodioritic and tonalitic composition. Occurs as lenses and dykes in Groups A and B. Intruded after some ductile deformation in the rocks belonging to Groups A and B. Weakly discordant contacts with respect to earlier ductile deformation.
	Rocks in Groups A and B affected by penetrative ductile deformation under amphibolite-facies metamorphic conditions.
Group B	<ul style="list-style-type: none">• Biotite-bearing granite to granodiorite (B8–B9) and aplitic granite (B10), both with amphibolite (B4) as dyke-like bodies and irregular inclusions.• Tonalite to granodiorite (B5–B6) and granodiorite (B7) with amphibolite enclaves (B4).• Ultramafic rock (B1), gabbro to quartz diorite (B2–B3).
Group A	<ul style="list-style-type: none">• Sulphide mineralisation (A5).• Iron oxide mineralisation (A2) associated with calc-silicate rock (A4).• Volcanic and synvolcanic intrusive rocks (A1).

5.2 Petrography including modal analytical data

The descriptions of individual thin-sections, including modal analyses, are presented in Appendix 1 and the results are summarised in Tables 5-2 and 5-3. The modal analysis data are stored at SKB under field note number Forsmark 22. Summaries of the mineral composition, grain size, texture and microstructure for the samples analysed during stage 2 are presented below. With a few key exceptions referred to in the text, this description concerns only the samples where modal analyses are available. In order to complete a synthesis of all the petrographic data, the results of the analyses from the data collected during stage 1 are also shown on the diagrams in this report.

Felsic to intermediate metavolcanic and synvolcanic meta-intrusive rocks (Group A1)

Modal analyses have been carried out on four samples of Group A1 metavolcanic and synvolcanic meta-intrusive rocks (Table 5-2). An amphibolite (PFM000652A), which was classified in the field data /Bergman et al. 2004/ as a metamorphosed dacite (Table 5-2), is described together with the rocks in Group B4. In total, 14 modal analyses from stages 1 and 2 are available for the rocks in Group A1.

The analysed samples are rich in quartz (27 to 39%) and plagioclase feldspar, with variable contents of biotite (6 to 14%) and low contents of alkali feldspar (Figure 5-1). No hornblende has been observed in the samples. If all samples from both stages 1 and 2 are taken into account, the content of quartz varies from 24 to 39%, excluding two samples from stage 1 that show quartz contents of 5% and 13% (Figure 5-1). The rocks analysed during stage 2 plot in the dacite field on the QAP($F = 0$) diagram (Figure 5-2a), which is in agreement with the compositional estimate that was made during the field investigations (Table 5-2). Opaque minerals are dominated by pyrite with occasional occurrences of magnetite, hematite and ilmenite. Zircon, apatite and titanite form accessory minerals.

Muscovite is a conspicuous secondary alteration mineral especially in the two samples (PFM001650A and PFM005249A) where modal analyses are lacking. Small garnets are present in PFM001650A, while PFM005249A exhibits oval spots that are up to 1 to 2 cm and are devoid of alkali feldspar (Figure 5-3a). Fibrolite and muscovite occur together with quartz and plagioclase feldspar in these spots. The occurrences of muscovite, fibrolite and oval spots devoid of K-feldspar are reminiscent of the so-called Mg-alteration that affected felsic volcanic rocks in the western part of Bergslagen, central Sweden /Lundström, 1995/. Epidote, chlorite (after biotite) and prehnite are also present as secondary minerals. Plagioclase feldspar is slightly saussuritized and/or sericitized, and pyrite is occasionally altered to goethite along mineral boundaries.

The Group A1 rocks are generally homogeneous and even-grained in hand specimen. However, various heterogeneities are present on the microscopic scale. The distribution of micas primarily defines the heterogeneity in the rocks, and both evenly distributed mica as well as drawn-out aggregates occur. There are also variations in grain size. Besides the oval spots described above, other textural features include ghost islets (1 to 5 mm) with almost no mica, and the occurrence of finer-grained mica around larger quartz-feldspar aggregates. These islets may represent originally coarser mineral grains. With the exception of mica, which is commonly up to 1 to 2 mm, mineral grains are usually less than 1 mm, i.e. the rocks are fine-grained (Table 5-3). The generally homogeneous character of the rocks, with a low grain size variation, are consistent with extensive recrystallisation during metamorphism.

Table 5-2. Compilation of rock classification of all analysed samples based on the estimates carried out in the field, the modal analyses and the geochemical analyses. The samples analysed during stages 1 and 2 are marked in black and red, respectively. Following international recommendations for igneous rocks, rock nomenclature is decided on the basis of the modal analysis. The inconsistent results from the modal and geochemical analyses for samples PFM000320A, PFM000530A, PFM001864A and PFM002212A (stage 1), for samples PFM001627A, PFM001636A, PFM001224B, PFM001229B and PFM005197A (stage 2), and, to some extent, for the rocks in Group A1 are related to alteration that occurred prior to deformation and peak metamorphism (see text).

Group and PFM-number	Coordinates Northing	Easting	Composition estimated in the field (outcrop database)	Composition based on geochemical analysis		
				K20+Na20-SiO ₂	Zr/TiO ₂ -Nb/Y	QP
Group A1. Felsic to intermediate metavolcanic and synvolcanic meta-intrusive rocks. SKB code 103076						
PFM000350A	6696576	1631618	Felsic volcanic rock	Dacite	Dacite	Dacite
PFM000352A	6696711	1631659	Rhyolite	Dacite-(rhyolite)	Rhyolite	Rhyolite
PFM000352B	6696711	1631659	Felsic volcanic rock	Dacite	Dacite	Dacite
PFM001156A	6701371	1632016	Felsic volcanic rock	Dacite	Rhyolite	Dacite
PFM001200A	6694369	1634380	Felsic volcanic rock	Dacite-(rhyolite)	Dacite	Dacite
PFM001222A	6696262	1632356	Felsic volcanic rock	Dacite	Rhyolite	Rhyolite
PFM001229A	6701410	1631893	Felsic igneous rock, fine-grained	Andesite	No analysis	No analysis
PFM001236A	6701409	1632135	Felsic igneous rock, fine-grained	Dacite	No analysis	No analysis
PFM002163B	6695756	1633125	Dacite	Andesite	Andesite	Andesite
PFM002163C	6695756	1633125	Felsic volcanic rock	Dacite	No analysis	No analysis
PFM001908A	6704814	1631052	Dacite	Rhyolite	Rhyolite	Rhyolite
PFM001956A	6704315	16333529	Dacite	Rhyolite	Rhyolite	Rhyolite
PFM005217A	6704608	1630901	Dacite	Rhyolite	Rhyolite	Rhyolite
PFM005236A	6700362	1635703	Dacite	Rhyolite	Dacite	Dacite
Group B. Ultramafic, mafic, intermediate and quartz-rich felsic (granitoid) meta-intrusive rocks						
B1. Meta-ultramafic rock. SKB code 101004	6694774	1634487	Ultramafic rock	Pyroxenite	Pyroxenite	Pyroxenite
PFM001205A	6692340	1633763	Ultramafic rock	Pyroxenite	Pyroxenite	Pyroxenite
PFM000555A						
B2-B3. Metagabbro, metadiorite, quartz-bearing metadiorite. SKB code 101033						
PFM000858A	6701906	1628654	Diorite	Quartz diorite	No analysis	No analysis
PFM000865A	6700353	1629457	Diorite	Diorite	No analysis	No analysis
PFM002216A	6699652	1630093	Diorite	Gabbro	Gabbro	Gabbro
PFM002216B	6699652	1630093	Diorite	Gabbro	Gabbro	Gabbro
PFM002220A	6701238	1628975	Diorite	No analysis	Quartz diorite	Quartz diorite
PFM000782A	6701351	1628857	Diorite	Gabbro	No analysis	No analysis
PFM000825B	6701460	1628049	Quartz diorite	Tonalite	No analysis	Tonalite
PFM000842A	6702060	1628886	Dioritoid			

Group and PFM-number	Coordinates	Composition estimated in the field (outcrop database)	Composition based on modal analysis	K20+Na20-SiO2	Zr/TiO2-Nb/Y	QP
PFM001158A	6695645	1630099 Gabbro	Diorite	No analysis	No analysis	No analysis
PFM001204A	6694745	1634443 Gabbro	Gabbro	No analysis	No analysis	No analysis
PFM001579A	6700726	16277702 Quartz diorite	Quartz diorite	No analysis	No analysis	No analysis
PFM001906A	6704232	1631955 Quartz diorite	Tonalite	Diorite	Tonalite	Tonalite
PFM005206A	6702911	1632195 Quartz diorite	Quartz diorite	Gabbroic diorite	Granite	Quartz diorite
PFM005209A	6703186	1631796 Diorite	Tonalite	Gabbroic diorite	Granodiorite	Quartz diorite
B4. Amphibolite. SKB code 102017						
PFM001183B (associated with B8-B10)	6698025	1632858 Amphibolite	Gabbro or diorite	Gabbro	Gabbro	Gabbro
PFM002209A (associated with B8-B10)	6700651	1632580 Amphibolite	No analysis	Gabbro	Gabbro	Gabbro
PFM002215A (associated with B5-B6)	6699971	1630334 Amphibolite	No analysis	Gabbro	Gabbro	Gabbro
PFM002218B (associated with B5-B6)	6697350	1629994 Amphibolite	No analysis	Gabbro	Gabbro	Gabbro
PFM002219B (associated with B8-B10)	6699506	1631340 Amphibolite	No analysis	Gabbro	Gabbro	Gabbro
PFM002239A (associated with B5-B6)	6698839	1627369 Amphibolite	No analysis	Gabbro	Gabbro	Monzogabbro
PFM002240A (associated with B5-B6)	6695228	1631637 Amphibolite	No analysis	Gabbro	Gabbro	Gabbro
PFM002241A (associated with B8-B10)	6697859	1634625 Amphibolite	No analysis	Gabbro	Gabbro	Gabbro
PFM002242A (associated with B8-B10)	6699917	1632853 Amphibolite	No analysis	Monzogabbro	Monzodiorite	Gabbro
PFM002243A (associated with B8-B10)	6698757	1633308 Amphibolite	No analysis	Monzonite	Monzonite	Monzonite
PFM002244A (associated with B8-B10)	6698361	1633262 Amphibolite	No analysis	Gabbroic diorite	Gabbroic diorite	Quartz diorite
PFM002245A (associated with B8-B10)	6697733	1631685 Amphibolite	No analysis	Gabbro	Gabbro	Quartz diorite
PFM002246A (associated with B5-B6)	6696189	1631500 Amphibolite	No analysis	Diorite	Gabbroic diorite	Quartz diorite
PFM000652A (associated with A1)	66966674	1628614 Dacite				
PFM001010A (associated with B5-B6)	6696151	1628975 Amphibolite	Quartz diorite			
B5-B6. Metatonalite (to metagranodiorite). SKB code 101054						
PFM000207A	6698858	1633660 Tonalite	Granodiorite	No analysis	No analysis	No analysis
PFM000465A	6699121	1627031 Tonalite	Tonalite	No analysis	No analysis	No analysis
PFM000729A	6699258	1633742 Tonalite	Granodiorite	Granodiorite	Granodiorite	Grandiorite
PFM000730A	6699254	1633866 Tonalite to granodiorite	Tonalite	No analysis	No analysis	No analysis
PFM000794A	6700181	1627136 Tonalite	Granodiorite	No analysis	No analysis	No analysis
PFM001162A	6698339	1634013 Tonalite	Granodiorite	Diorite	Diorite	Quartz diorite
PFM001217A	6700952	1629455 Tonalite	Granodiorite	Tonalite	Tonalite	Tonalite
PFM001234A	6701393	1632042 Tonalite	Diorite/gabro	No analysis	No analysis	No analysis
PFM001253A	6700079	1630251 Tonalite to granodiorite	Tonalite	No analysis	No analysis	No analysis
PFM001510A	6695787	1632130 Tonalite	Granite	No analysis	No analysis	No analysis
PFM001518A	6697065	1630625 Tonalite	Granodiorite	No analysis	No analysis	No analysis

Group and PFM-number	Coordinates Northing	Easting	Composition estimated in the field (outcrop database)	Composition based on geochemical analysis		
				on modal analysis	K20+Na20-SiO2	Zr/TiO2-Nb/Y QP
PFM001574A	6700811	1627932	Tonalite	Granodiorite	No analysis	No analysis
PFM001582A	6701146	1627769	Tonalite to granodiorite	Tonalite	No analysis	No analysis
PFM002217A	6698336	1634013	Tonalite	Granodiorite	Tonalite	Tonalite
PFM002218A	6697350	1629994	Tonalite	Granite	Granodiorite	Tonalite
PFM000557A	6692780	1634208	Tonalite to granodiorite	Granodiorite	Tonalite	Tonalite
PFM000621A	6695532	1630884	Tonalite	Granodiorite	Tonalite	Tonalite
PFM000778A	6700419	1629690	Tonalite	Tonalite	Diorite	Tonalite
PFM000827A	6700317	1628455	Tonalite to granodiorite	Tonalite	No analysis	No analysis
PFM000837A	6701852	1628963	Tonalite to granodiorite	Tonalite	Tonalite	Tonalite
PFM001157A	6700020	1630033	Tonalite to granodiorite	Tonalite	No analysis	No analysis
PFM001573A	6700739	1627891	Tonalite	Tonalite	No analysis	No analysis
PFM001874A	6695974	1634993	Tonalite to granodiorite	Tonalite	No analysis	No analysis
PFM005172A	6696760	1628033	Tonalite to granodiorite	Tonalite	Diorite	Quartz diorite
B7. Metagranodiorite SKB code 101056						
PFM000692A	6696651	1633697	Granodiorite	Granodiorite	Granodiorite	Tonalite
PFM001198A	6696474	1634041	Granodiorite	Granodiorite	Granodiorite	No analysis
PFM001255A	6700016	1630179	Granodiorite	Granodiorite	Granodiorite	No analysis
PFM000614A	6694755	1630650	Granodiorite	Granodiorite	Granodiorite	Grandiorite
PFM000650A	6696739	1628728	Granodiorite	Granodiorite	Granodiorite	Tonalite
PFM005282A	6696670	1638116	Granodiorite	Granodiorite	Granodiorite	Grandiorite
B8-B9. Metagranite (to metagranodiorite). SKB code 101057						
PFM000197A	6697201	1634276	Granite	Granite	Granite	Granite
PFM000278A	6698045	1631243	Granite	Granite	Granite	No analysis
PFM000289A	6698312	1632148	Granodiorite-granite	Granite	Granite	Granodiorite
PFM000319A	6698982	1630998	Granodiorite-granite	Granite	Granite	Granodiorite
PFM000320A	6700201	1631177	Granodiorite-granite	Granite	Granite	Tonalite
PFM000658A	6699102	1631413	Granodiorite-granite	Granite	Granite	Granite
PFM000685A	6698095	1635210	Granite	Granite	Granite	No analysis
PFM000773B	6701435	1629695	Granitoid	Granite	Granite	No analysis
PFM001159A	6699761	1632635	Granite	Granite	Granite	No analysis
PFM001159B	6699761	1632635	Granite	Granite	Granite	Granite
PFM001164A	6699092	1631455	Granodiorite-granite	Granodiorite	Granite	No analysis
PFM001180A	6698125	1633127	Granite	Granite	Granite	Granodiorite
PFM001182A	6698371	1633270	Granite	Granite	Granite	Granodiorite

Group and PFM-number	Coordinates	Northing	Easting	Composition estimated in the field (outcrop database)	Composition based on modal analysis	K20+Na20-SiO2	Zr/TiO2-Nb/Y	QP
PFM001216A	6701194	1629974	Granite	Granite	No analysis	No analysis	No analysis	
PFM001864A	6698802	1633370	Granite	Granodiorite	Granite	Tonalite	Tonalite	
PFM002207A	6699740	1632290	Granite	Granite	Granite	Granodiorite	Tonalite	
PFM002212A	6700648	1632494	Granite	Granodiorite	Granite	Tonalite	Tonalite	
PFM002214B	6699962	1630353	Granite	Granite	No analysis	No analysis	No analysis	
PFM000601A	6693819	1631058	Granite	Granite	Granite	Granite	Granite	Granite
PFM000677B	6698346	1634362	Granodiorite-granite	Granodiorite-granite	Granite	No analysis	No analysis	
PFM000994A	6696236	162904	Granodiorite-granite	Granodiorite-granite	Granite	Granite	Granite	
PFM001119A	6698381	1634354	Granodiorite-granite	Granodiorite-granite	Granite	Granite	Granite	
PFM001224B/C (B=modal, C=geochemical)	6701560	1631547	Granite	Granite	Tonalite	Tonalite	Tonalite	
PFM001229B/C (B=modal, C=geochemical)	6701410	1631893	Granite	Granite	Tonalite	Granite	Tonalite	
PFM001580A	6700671	1627710	Granodiorite-granite	Granodiorite-granite	Granite	Granodiorite	No analysis	
PFM001635A	6702146	1629682	Granite	Granite	Granite	Granite	Granite	
PFM002149A	6695462	1634077	Granodiorite-granite	Granodiorite-granite	Granite	Granite	Granite	
PFM002221A	6694642	1635144	Granodiorite-granite	Granodiorite-granite	Granite	Granite	Granodiorite	
PFM005193A	6699251	1634961	Granite	Granite	Granite	Granite	Tonalite	
PFM005197A	6699858	1634100	Granite	Granodiorite	Granite	Granite	Granite	
PFM005288A	6697002	1638048	Granite	Granite	Granite	Granite	Tonalite	
B10. Metagranite, aplitic. SKB code 101058								
PFM000278B	6698045	1631243	Granite, fine-grained	Granite	Granite	Granite	Granite	
PFM000550A	6700188	1632973	Granite, aplitic	Granodiorite	Granite	Tonalite	Tonalite	
PFM001106A	6701714	1635350	Granite, aplitic	Granite	Granite	Granite	Granite	Granite
PFM001160A	6700636	1632588	Granite, aplitic	Granite	No analysis	No analysis	No analysis	
PFM001627A	6700274	1633187	Granite, aplitic	Granite	Tonalite	Tonalite	Tonalite	
PFM001636A	6702627	1629913	Granite, aplitic	Granodiorite	Granite	Granite	Granite	
PFM005205B	6699875	1633704	Granite, aplitic	Granite	Granite	Granite	Granite	Granite
Group C. Quartz-rich felsic meta-intrusive rock (metagranitoid) , fine- to medium-grained. Occurs as dykes and lenses within rocks belonging to Groups A and B. SKB code 101051								
PFM000466B	6699168	1627093	Granodiorite-granite	Granodiorite	No analysis	No analysis	No analysis	
PFM000529A	6700104	1632972	Granite	Tonalite	Granodiorite	Tonalite	Tonalite	
PFM000666B	6698268	1633127	Tonalite	Tonalite	No analysis	No analysis	No analysis	
PFM000657B	6699128	1631335	Granodiorite-granite	Granite	No analysis	No analysis	No analysis	

Group and PFM-number	Coordinates		Composition estimated in the field (outcrop database)		Composition based on modal analysis		Composition based on geochemical analysis	
	Northing	Easting	K20+Na20-SiO2	Zr/TiO2-Nb/Y	QP			
PFM000670A	6698205	1634016	Tonalite	Granodiorite	No analysis	No analysis	No analysis	No analysis
PFM000677A	6698346	1634362	Tonalite	Tonalite	No analysis	No analysis	No analysis	No analysis
PFM000712A	6700441	1632546	Granitoid	Granodiorite	No analysis	No analysis	No analysis	No analysis
PFM001220A	6701521	1631412	Granitoid	Tonalite	No analysis	No analysis	No analysis	No analysis
PFM001246B	6701198	1632025	Granitoid	Granodiorite	No analysis	No analysis	No analysis	No analysis
PFM001522A	6696950	1630118	Granodiorite-granite	Granodiorite	No analysis	No analysis	No analysis	No analysis
PFM001535A	6700315	1626591	Granitoid	Granodiorite	No analysis	No analysis	No analysis	No analysis
PFM002206A	6699711	1632329	Granodiorite	Granite	Granodiorite	Tonalite	Granodiorite	Granodiorite
PFM002213A	6700532	1632663	Granodiorite	Granodiorite	Granite	Granite	Granodiorite	Granodiorite
PFM002214A	6699962	1630353	Granodiorite	Granite	Granite	Granite	Granite	Granite
PFM001102A	6701738	1635649	Dioritoid	Tonalite	Monzodiorite	No analysis	Quartz monzodiorite	No analysis
PFM001161A	6700618	1632616	Granite	Granodiorite	Tonalite	Tonalite	Tonalite	Tonalite
PFM001941A	6700115	1635856	Granodiorite					
Group D. Granite, pegmatitic granite, pegmatite. Occurs as dykes and minor intrusive bodies within rocks belonging to Groups A and B. Pegmatites display variable time relations-hips to Group C								
D1. Granite. SKB code 111058								
PFM0005530B	6700188	1632973	Granite	Granite	Granite	Granite	Granite	Granite
PFM002210A	6700655	1632484	Granite	Granite	Granite	Granite	Granite	Granite
PFM000651A	6696712	1628665	Granite	Granite	Granite	Granite	Granite	Granite
PFM005245A	6705094	1633496	Granite	Granodiorite				
D2. Pegmatitic granite. SKB code 101061								
PFM000198A	6697205	1634253	Pegmatic granite	Granite	Granite	Granite	Granite	Granite
PFM000656A	6698268	1633127	Pegmatic granite	Granodiorite	No analysis	No analysis	No analysis	No analysis
PFM001163A	6696848	1634279	Pegmatic granite	Granite	No analysis	No analysis	Outside fields on classification diagrams	No analysis
PFM001191A	6697844	1633977	Pegmatic granite	Pegmatic granite	No analysis	No analysis	No analysis	No analysis
PFM001243B	6701979	1632094	Pegmatic granite					

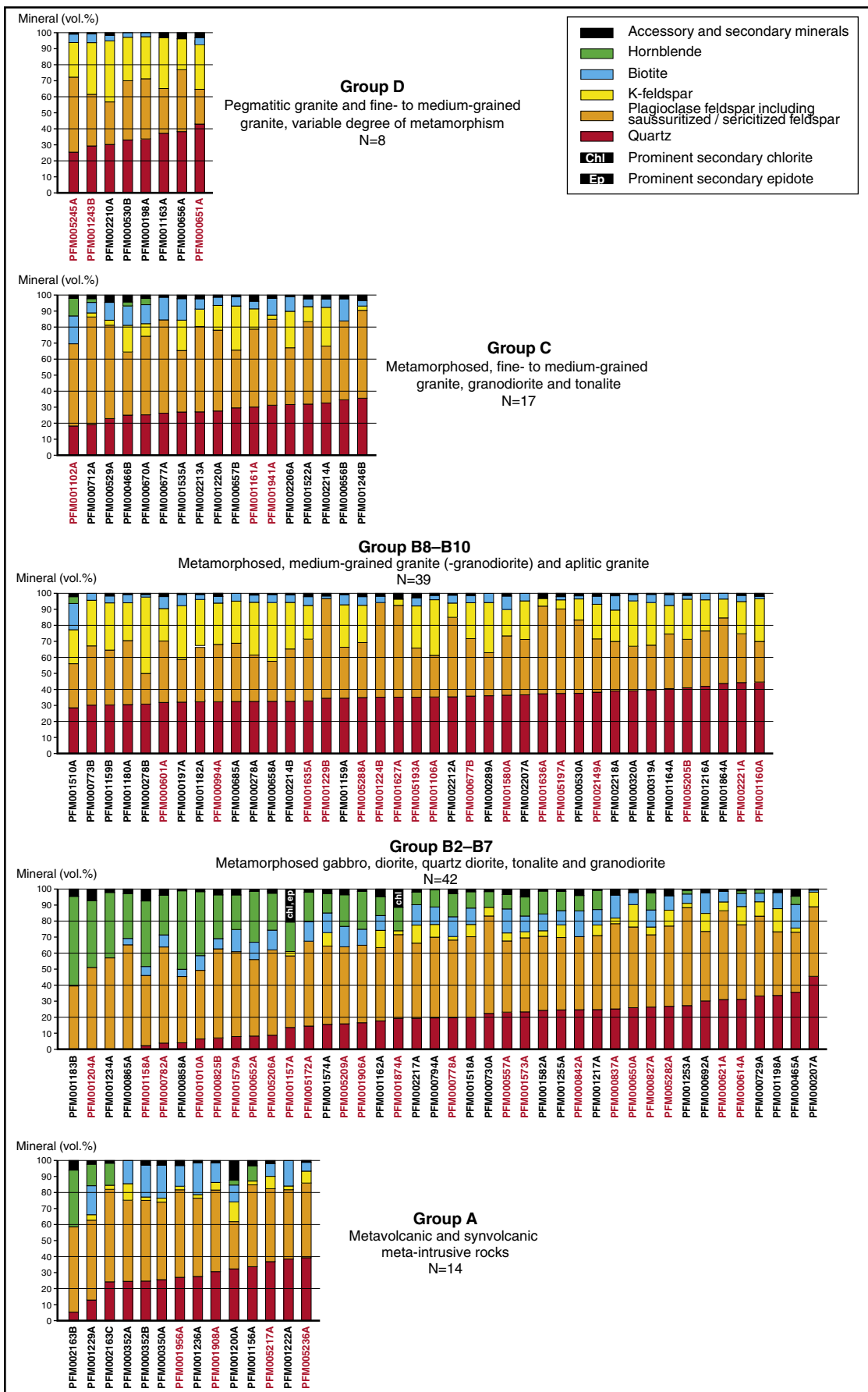
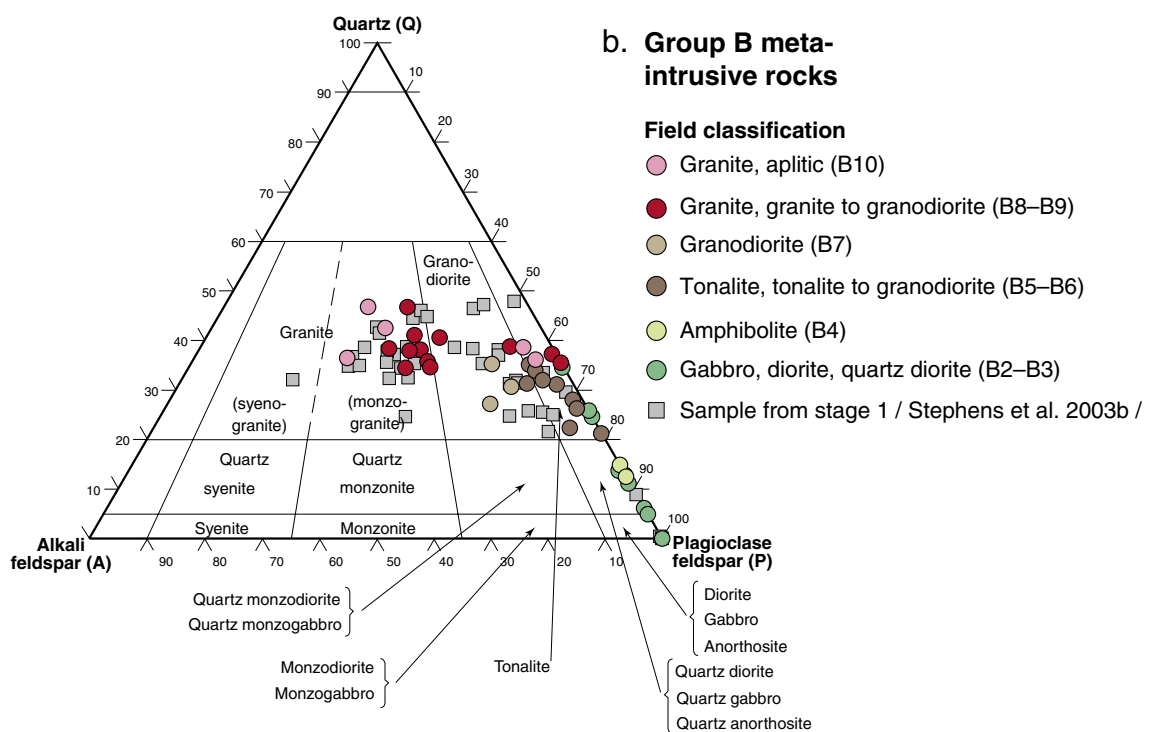
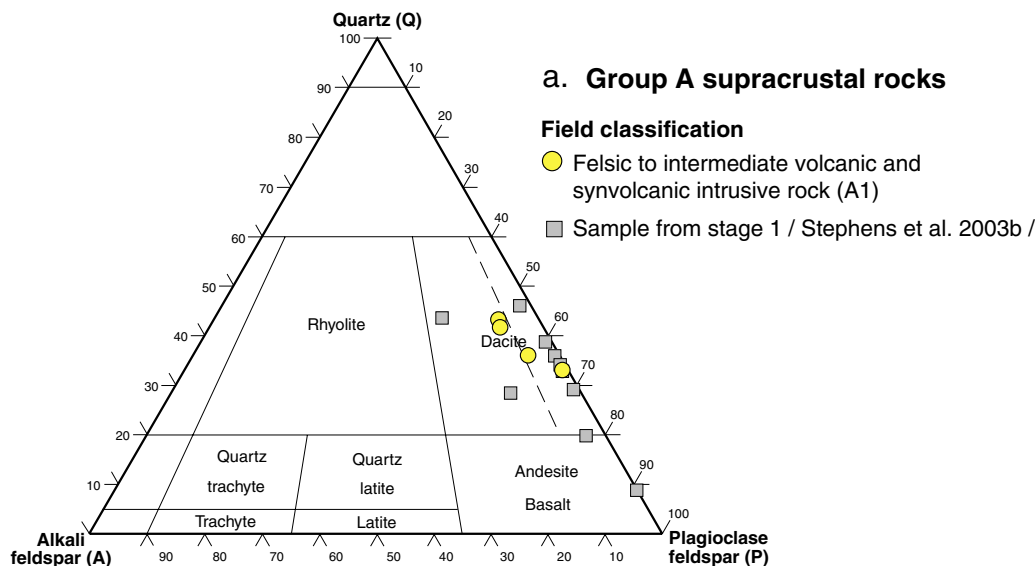


Figure 5-1. Modal compositions of analysed samples from the different rock groups. PFM-numbers from samples analysed during stages 1 and 2 are marked in black and red, respectively.



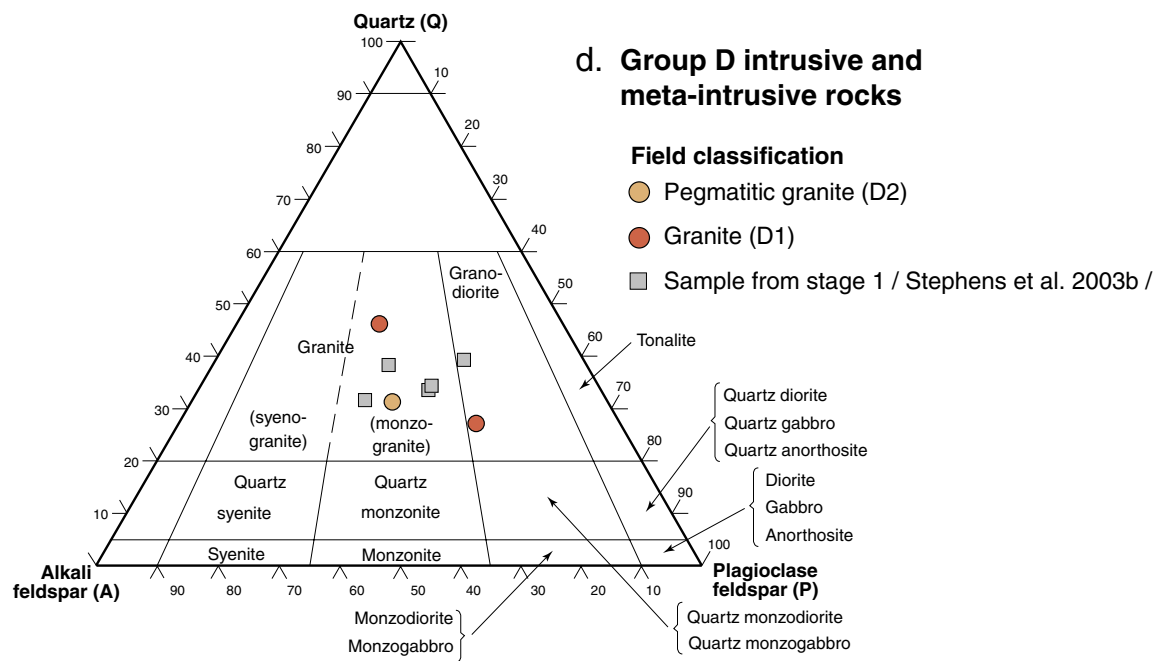
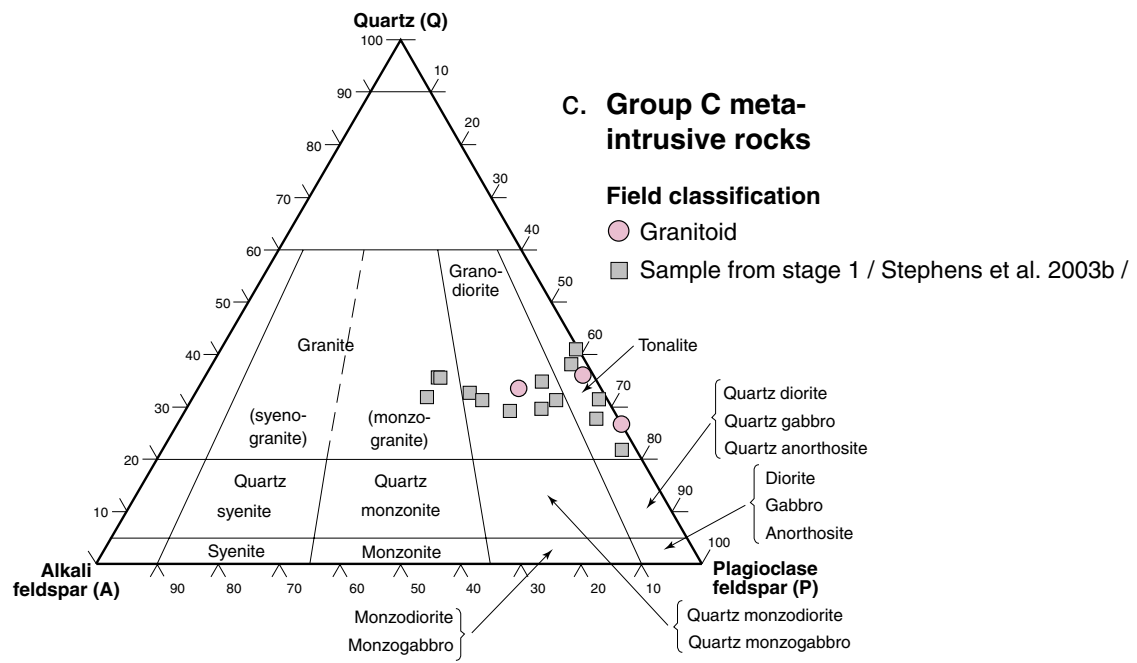


Figure 5-2. QAP($F = 0$) modal classification of analysed samples from the different rock groups based on /Streckeisen, 1976, 1978/.

All the rocks display a ductile deformational fabric that formed under amphibolite-facies metamorphic conditions. This fabric is defined by oriented grains of mica as well as elongate aggregates of recrystallised mica, quartz and feldspar. Intracrystalline strain features are present in quartz with the development of undulose extinction and sub-grains. This deformation is inferred to have occurred after the main phase of deformation and grain growth, during retrogressive metamorphic conditions.

A qualitative estimate of the frequency of microfractures has been carried out in all samples (Table 5-3). A variable frequency of microfractures has been observed. If account is taken of all the observations (stage 1 and stage 2), the frequency of microfractures is generally low

Ultramafic, mafic and intermediate meta-intrusive rocks (Groups B1 to B4)

Modal analyses have been carried out on twelve samples from the rocks in Groups B1 to B4 (Table 5-2). One sample was classified in the field as an ultramafic rock, two samples were classified as metagabbro and seven samples were classified as quartz-bearing metadiorite, metadiorite or metadioritoid (Table 5-2). Two amphibolites, which were mapped as amphibolite and metadacite (Table 5-2), are also included here. In total, 16 modal analyses (17 analyses, if the stage 1 sample PFM001234A is included, see /Stephens et al. 2003b/) from stages 1 and 2 are available for the ultramafic, mafic and intermediate meta-intrusive rocks in Group B.

The metamorphosed ultramafic rock (PFM000555A) is dominated by clinopyroxene and hornblende, and the hornblende grains often contain relicts of pyroxene, i.e. the rock is a pyroxenite. Actinolite and biotite are also present as well as occasional grains of orthopyroxene, plagioclase feldspar and secondary muscovite. Opaque minerals include ilmenite, pyrite, chalcopyrite, magnetite, hematite and titanomagnetite. Calcite also forms a conspicuous secondary mineral, while pyrite and chalcopyrite are sometimes altered to goethite along mineral boundaries. The mineral grains vary in size from 0.05 to 4 mm, i.e. the rock is medium-grained. No mineral fabric orientation is visible in the sample.

Sample PFM001204A is dominated by plagioclase feldspar and hornblende (Figure 5-1) with subordinate ortho- and clinopyroxene, talc, opaque minerals similar to those in the ultramafic rock, and phlogopite. As in the ultramafic rock, hornblende replaces pyroxene. Chlorite formed as a later, secondary mineral. This sample plots in the plagioclase feldspar corner of the QAP(F = 0) diagram (Figure 5-2b) and the rock is tentatively inferred to be a metagabbro. The mineralogy of sample PFM001158A (Figure 5-1), including the anorthite content of the plagioclase feldspar (38 to 46%) resembles that observed in the intermediate rocks (see below). It plots on the boundary line between gabbro/diorite and quartz-bearing diorite on the QAP(F = 0) diagram (Figure 5-2b).

Table 5-3. Compilation of grain size, mineral orientation and frequency of microfractures in samples studied petrographically. The samples analysed during stages 1 and 2 are marked in black and red, respectively. Mineral orientation is based on the assessment carried out in the field and reported in the outcrop database (2003).

Group and PFM-number	Coordinates Northing Easting	Grain size (mm)	Mineral orientation	Microfractures
Group A				
A1. Felsic to intermediate metavolcanic and synvolcanic meta-intrusive rocks. SKB code 103076				
PFM000350A	6696576	1631618	0.1-1	Foliated, lineated
PFM000352A	6696711	1631659	0.01-0.5	Foliated, lineated
PFM000352B	6696711	1631659	0.01-0.5	Banded, foliated, lineated
PFM001156A	6701371	1632016	0.1-2	Banded, lineated
PFM001200A	6694369	1634380	0.01-2	Foliated
PFM001222A	6696262	1632356	0.05-0.8	Banded, foliated
PFM001229A	6701410	1631893	0.1-2	Lineated
PFM001236A	6701409	1632135	0.05-1	Low. Some longer sealed fractures
PFM002163B	6695756	1633125	0.05-0.2	Banded
PFM002163C	6695756	1633125	0.05-0.7	Banded, lineated
PFM001650A	6703456	1630782	0.1-0.5	Foliated
PFM001908A	6704814	1631052	0.05-0.5	Banded, foliated
PFM001956A	6704315	1633529	0.05-1	Foliated
PFM002163A	6695756	1633125	0.01-0.5	High
PFM002179B	6695355	1633432	0.01-0.5	Banded
PFM005217A	6704608	1630901	0.05-2	Foliated, lineated
PFM005236A	6700362	1635703	0.05-1	Banded, foliated
PFM005249A	6704589	1634027	0.05-0.5	Foliated, lineated
A2. Magnetite mineralisation associated with calc-silicate minerals SKB code 109014				
PFM000239A	6697377	1630850	0.1-1	Banded
PFM000336A	6696490	1633408	0.1-1	Banded, foliated
PFM000364A	6702688	1628870	0.1-1	Banded, foliated
PFM000446B	6697966	1630821	0.1-1	
A3. Veined gneiss				
PFM001246A	6701198	1632025	0.05-3	Low

Group and PFM-number	Coordinates	Grain size (mm)	Mineral orientation	Microfractures
	Northing	Easting		
A4. Calc-silicate rock (skarn). SKB code 108019				
PFM000318A	6698945	1630931	0.1-0.3	
A5. Sulphide mineralisation. SKB code 109010				
PFM00454A	6699831	1626493	0.1-1	
Group B. Ultramafic, mafic, intermediate and quartz-rich felsic (granitoid) meta-intrusive rocks				
B1. Meta-ultramafic rock. SKB code 101004				
PFM001205A	6694774	1634487	0.5-5	
PFM000555A	6692340	1633763	0.05-4	Isotropic
B2-B3. Metagabbro, metadiorite, quartz-bearing metadiorite. SKB code 101033				
PFM000858A	6701906	1628654	0.05-3	Isotropic to weakly foliated
PFM000865A	6700353	1629457	0.1-5	Foliated
PFM000782A	6701351	1628857	0.1-3	Foliated
PFM000782B	6701351	1628857	0.02-0.2	Foliated, lineated
PFM000789A	6701885	1628291	0.1-7	Banded, foliated, lineated
PFM000825B	6701460	1628049	0.05-5	Banded, foliated, lineated
PFM000825C	6701460	1628049	0.1-2	Banded, foliated, lineated
PFM000842A	6702060	1628886	0.1-2	Banded, foliated
PFM001156B	6701371	1632016	0.1-1	Foliated, lineated
PFM001158A	6695645	1630099	0.1-3	Foliated, lineated
PFM001204A	6694745	1634443	1.0-3.0	High
PFM001234B	6701393	1632042	0.05-2	Low
PFM001235A	6701402	1632065	0.01-2	Banded
PFM001579A	6700726	1627702	1.0-2.0	Lineated
PFM001906A	6704232	1631955	0.1-3	Lineated
PFM005206A	6702911	1632195	0.1-3	Lineated
PFM005209A	6703186	1631796	0.1-2	Lineated
B4. Amphibolite. SKB code 102017				
PFM001183B	6698019	1632862	0.5-2	Foliated, lineated
PFM000652A	6696674	1628614	0.1-2	Banded
PFM001010A	6696151	1628975	0.1-2	Lineated

Group and PFM-number	Coordinates	Northing	Easting	Grain size (mm)	Mineral orientation	Microfractures
B5-B6. Metatonalite (to metagranodiorite). SKB code 101054						
PFM000207A	6698871	1633643	0.1-5	Foliated	High	
PFM000465A	6699121	1627031	0.05-2	Foliated, lineated	Low	
PFM000729A	6699258	1633742	0.1-2	Foliated	Moderate	
PFM000730A	6699254	1633866	0.05-1.5	Foliated	High	
PFM000794A	6700181	1627136	0.05-5	Lineated	Low	
PFM001162A	6698339	1634013	0.1-2	Foliated, lineated		
PFM001217A	6700952	1629455	0.1-2	Foliated, lineated		
PFM001234A	6701393	1632042	0.1-2	Foliated	Low. Some longer sealed fractures	
PFM001253A	670079	1630251	0.05-1.5	Foliated, lineated	Low	
PFM001510A	6695787	1632130	0.05-2	Foliated, lineated	Low	
PFM001518A	6697065	1630625	0.05-2	Banded, foliated, lineated	Low	
PFM001574A	6700811	1627932	0.05-2	Lineated	Low	
PFM001582A	6701146	1627769	0.05-2	Lineated	High	
PFM002217A	6698336	1634013	0.05-2	Foliated, lineated		
PFM002218A	6697350	1629994	0.05-1	Banded, foliated		
PFM000557A	6692780	1634208	0.05-3	Foliated, lineated	Low	
PFM000621A	6695532	1630884	0.1-3	Banded, foliated, lineated	Moderate	
PFM000778A	6700419	1629690	0.1-3	Foliated, lineated	High	
PFM000827A	6700317	1628455	0.05-3	Foliated, lineated	Low	
PFM000837A	6701852	1628963	0.05-2	Banded, foliated, lineated	Low	
PFM000837D	6701852	1628963	0.1-3	Banded, foliated, lineated	Low	
PFM000844B	6702401	1628795	0.2-0.5	Banded, foliated, lineated	Low	
PFM001157A	6700020	1630033	0.05-1	Foliated, lineated	Low	
PFM001256A	6700043	1630212	0.05-2	Foliated	Moderate	
PFM001573A	6700739	1627891	0.05-2	Lineated	Low	
PFM001874A	6695974	1634993	0.1-5	Foliated	Low	
PFM005172A	6696760	1628033	0.1-3	Lineated	Low	
B7. Metagranodiorite. SKB code 101056						
PFM000692A	6696651	1633697	0.05-2	Lineated, weakly foliated		
PFM001198A	6696474	1634041	0.1-2	Lineated, weakly foliated	Low	

Group and PFM-number	Coordinates Northing	Coordinates Easting	Grain size (mm)	Mineral orientation	Microfractures
PFM001255A	6700016	1630179	0.05-1.5	Foliated, lineated	Low. Some longer sealed fractures
PFM000614A	6694755	1630650	0.05-2	Foliated, lineated	Moderate. Some longer sealed fractures
PFM000650A	6696739	1628728	0.05-5	Foliated, lineated	Moderate
PFM000872A	6699452	1629758	0.01-1	Foliated, lineated	Moderate
PFM001580A	6700671	1627710	0.02-3	Foliated, lineated	Moderate
PFM005282A	6696670	1638116	0.05-2	Foliated, lineated	Low
B8-B9. Metagranite (to metagranodiorite). SKB code 101057	6697201	1634276	0.05-2	Foliated, lineated	Moderate to high. Some longer sealed fractures
PFM000197A	6698045	1631243	0.05-2	Foliated, lineated	Moderate
PFM000278A	6698312	1632148	0.05-2	Foliated	Low
PFM000289A	6699892	1630998	0.05-2	Foliated, lineated	Moderate
PFM000319A	6700201	1631177	0.05-2	Foliated	Low
PFM000320A	6699102	1631413	0.05-2	Foliated	
PFM000658A	6698095	1635210	0.05-5	Foliated, lineated	Moderate
PFM000685A	6701435	1629695	0.05-5	Foliated	
PFM000773B	6699761	1632635	0.05-2	Lineated, weakly foliated	
PFM001159A	6699761	1632635	0.05-2	Lineated, weakly foliated	Moderate
PFM001159B	6699092	1631455	0.05-2	Foliated, lineated	
PFM001164A	6698125	1633127	0.05-3	Lineated, weakly foliated	Moderate
PFM001180A	6698371	1633270	0.05-2	Lineated	Moderate
PFM001182A	6701194	1629974	0.05-3	Foliated	Moderate
PFM001216A	6698802	1635370	0.05-3	Foliated	Moderate
PFM001864A	6699740	1632290	0.05-2	Lineated, weakly foliated	
PFM002207A	6700648	1632494	0.05-1	Banded, foliated, lineated	
PFM002212A	6699962	1630353	0.1-2	Foliated	
PFM002214B	6699158	1629846	0.01-1	Foliated, lineated	Moderate. Some longer sealed fractures
PFM000261A	6697997	1631059	0.01	Foliated	
PFM000276A	6693819	1631058	0.05-3	Lineated	Moderate
PFM000601A	6698346	1634362	0.1-3	Lineated	High
PFM000677B	6700658	1632430	0.1-3	Foliated, lineated	Low
PFM000709E	6700784	1628532	0.01-2	Banded, foliated, lineated	Low
PFM000834A					

Group and PFM-number	Coordinates	Northing	Easting	Grain size (mm)	Mineral orientation	Microfractures
PFM000994A		6696236	1629904	0.05-2	Lineated	Moderate to high
PFM001172A		6699784	1632974	0.05-5	Foliated	Low
PFM001214B		6701054	1630626	0.1-2	Foliated	Low. Several longer sealed fractures
PFM001224B		6701560	1631547	0.1-2	Foliated, lineated	Low
PFM001226A		6700351	1630652	0.05-0.5	Foliated	Low
PFM001229B		6701410	1631893	0.1-2	Foliated, lineated	Moderate
PFM001252A		6700095	1630303	0.05-1	Foliated	Low
PFM001635A		6702146	1629682	0.05-3	Foliated, lineated	Moderate
PFM002128A		6697402	1631521	0.01-0.2	Banded	Low
PFM002149A		6695462	1634077	0.05-8	Foliated, lineated	Moderate
PFM002222A		6694642	1635144	0.1-7	Foliated, lineated	Moderate
PFM005193A		6699251	1634961	0.05-3	Foliated, lineated	High
PFM005197A		6699858	1634100	0.1-4	Banded, foliated	Low. Several longer sealed fractures
PFM005288A		6697002	1638048	0.05-5	Foliated, lineated	High
B10. Metagranite, aplitic. SKB code 101058						
PFM000278B		6698045	1631243	0.05-0.5	Foliated, lineated	Low to moderate
PFM000530A		6700188	1632973	0.05-1	Banded	Low to moderate
PFM000718C		6700543	1632654	0.1-2	Banded, foliated	Low
PFM001106A		6701714	1635350	0.05-1	Banded, lineated	Moderate
PFM001160A		6700636	1632588	0.1-1		Low to moderate
PFM001627A		6700274	1633187	0.05-1.5	Banded, lineated	Moderate to high
PFM001636A		6702627	1629913	0.1-1.5	Lineated	Moderate
PFM005205B		6699875	1633704	0.1-2	Banded, foliated	Low to moderate
Group C. Quartz-rich felsic meta-intrusive rock (metagranitoid), fine- to medium-grained. Occurs as dykes and lenses within rocks belonging to Groups A and B. SKB code 101051						
PFM000466B		6699168	1627093	0.05-2	Lineated	Moderate
PFM000529A		6700104	1632972	0.1-3	Lineated	Moderate
PFM000656B		6698268	1633127	0.1-3	Foliated	
PFM000657B		6699128	1631335	0.1-3	Foliated, lineated	Moderate to high
PFM000670A		6698205	1634016	0.05-3		Moderate to high
PFM000677A		6698346	1634362	0.05-3		

Group and PFM-number	Coordinates Northing	Easting	Grain size (mm)	Mineral orientation	Microfractures
PFM000712A	6700441	1632546	0.1-3		High
PFM001220A	6701521	1631412	0.1-4	Foliated	High. Several longer, sealed fractures
PFM001246B	6701198	1632025	0.1-2		Moderate to high. Some longer, sealed fractures
PFM001522A	6696950	1630118	0.01-2	Foliated, lineated	Some longer, sealed fractures
PFM001535A	6700315	1626591	0.05-1.5	Lineated	Low to moderate
PFM002206A	6699711	1632329	0.05-3	Lineated, weakly foliated	
PFM002213A	6700532	1632663	0.1-3	Lineated	
PFM002214A	6699962	1630353	0.1-2	Foliated	
PFM001102A	6701738	1635649	0.1-2	Lineated	Low
PFM001161A	6700618	1632616	0.1-1	Lineated	Moderate
PFM001176B	6699038	1633245	0.01-1	Foliated	Moderate
PFM001216B	6701194	1629974	0.1-0.5	Foliated	Low
PFM001529A	6700167	1626524	0.02-3	Lineated	Moderate
PFM001539A	6700164	1626885	0.01-1.5	Foliated, lineated	Low
PFM001941A	6700115	1635856	0.01-0.3	Foliated	Low, locally moderate to high
Group D. Granite, pegmatitic granite, pegmatite. Occurs as dykes and minor intrusive bodies within rocks belonging to Groups A and B. Pegmatites display variable time relationships to Group C					
D1. Granite. SKB code 111058					
PFM000530B	6700188	1632973	0.1-3		Moderate to high
PFM002210A	6700555	1632484	0.05-1		
PFM000651A	6696712	1628665	0.05-2	Lineated	High
PFM001176C	6699038	1633245	0.1-3	Foliated	Moderate
PFM005245A	6705094	1633496	0.1-5	Foliated	High
D2. Pegmatitic granite. SKB code 101061					
PFM000198A	6697205	1634253	0.1-5	Isotropic	High
PFM000656A	6698268	1633127	0.1-8	Foliated	
PFM001163A	6696848	1634279	0.05-3		
PFM001191A	6697844	1633977	0.05-10		High
PFM001243B	6701079	1632094	1.0-5.0		High

The two amphibolites (PFM000652A and PFM001010A) are strongly dominated by plagioclase feldspar and hornblende (Figure 5-1). Biotite and quartz are present as subordinate components (Figure 5-1). The plagioclase feldspar displays an oligoclase-andesine composition and both samples plot closely together on the QAP($F = 0$) diagram as quartz diorite (Figure 5-2b). Opaque minerals include pyrite, ilmenite, magnetite, pyrrhotite and traces of chalcopyrite. Zircon, allanite and apatite are accessory components and secondary alteration minerals include epidote, chlorite and prehnite. Plagioclase feldspar is slightly saussuritized and/or sericitized, while pyrite is occasionally altered to goethite along mineral boundaries.

Plagioclase feldspar and quartz grains are usually less than 1 mm, whereas biotite and hornblende grains usually reach 2 mm, i.e. the rocks are fine-grained (Table 5-3). The major minerals are evenly distributed throughout the rock. A ductile deformational fabric is defined particularly by a grain-shape fabric of oriented biotite and hornblende, as well as elongate aggregates of hornblende. Intracrystalline strain features are present in quartz with the development of undulose extinction and sub-grains.

The samples with intermediate composition are dominated by plagioclase feldspar and hornblende with subordinate contents of quartz and biotite (Figure 5-1). In three samples, the plagioclase feldspar composition has been estimated on the basis of its optical properties to be andesitic in composition. The modal analyses show that three of the samples that were classified as intermediate in composition during the field mapping (PFM000842A, PFM001906A and PFM005209A) lie in the tonalite field in the QAP($F = 0$) diagram (Figure 5-2b). The content of quartz was underestimated in the optical assessment that was carried out in connection with the field investigations /Stephens et al. 2003a; Bergman et al. 2004/. The remaining samples are all quartz dioritic in composition (Figure 5-2b). Opaque minerals include pyrite, ilmenite, chalcopyrite and traces of sphalerite. Zircon, titanite and apatite are accessory components and garnet is present in one sample (PFM000789A). Secondary minerals include chlorite, calcite, epidote and prehnite. Plagioclase feldspar is partly saussuritized and/or sericitized, but patches of strong alteration occur. Furthermore, pyrite is sometimes altered to goethite along mineral boundaries.

The mineral grains in the intermediate rocks are variable in grain size from 0.1 up to 3 mm, although 0.1 to 1 mm constitutes the major part, i.e. the rocks are classified as fine-grained to finely medium-grained (Table 5-3). Hornblende crystals are locally up to 5 mm in length. Microstructurally, the rocks show conspicuous, elongate aggregates of recrystallised quartz, plagioclase feldspar, biotite and hornblende. This gives rise to an heterogeneous arrangement of the minerals and an uneven grain size distribution. It also suggests that the original grain size was coarser, probably finely medium-grained to medium-grained.

The intermediate rocks display a ductile deformational grain-shape fabric that is defined by oriented biotite and hornblende grains as well as the elongate aggregates. The mineral fabric splays around the garnet porphyroblasts in sample PFM000789A (Figure 5-3b). These features suggest that deformation occurred under amphibolite-facies metamorphic conditions. Intracrystalline strain features are present in quartz with the development of undulose extinction and sub-grains. This deformation is assumed to have occurred after the main phase of deformation and grain growth, during retrograde metamorphic conditions. A qualitative estimate of the frequency of microfractures has been carried out and a low to moderate frequency of microfractures has been observed (Table 5-3). Two sealed fractures that transect the entire thin section have been observed in different samples. These fractures are filled with epidote and calcite (PFM000825C) and K-feldspar (PFM005206A).

Felsic (quartz-rich) meta-intrusive rocks (Groups B5 to B10)

The majority of samples that have been studied petrographically during the stage 2 investigations come from the felsic, meta-intrusive rocks in Groups B5 to B10, i.e. those samples that have been classified in the field as metamorphosed tonalite, granodiorite and granite. Modal analyses have been carried out on 29 of these samples. In total, 67 modal analyses from stages 1 and 2 (66 analyses, if the stage 1 sample PFM001234A is excluded, see /Stephens et al. 2003b/) are available for the felsic meta-intrusive rocks in Group B.

The quartz content in these rocks varies from 14 to 44% (14 to 45%, if all the samples from stages 1 and 2 are considered). The variation in quartz content in the rocks that show a granitic composition and that dominate in the candidate area is more limited (Figure 5-1) and lies in the interval 32 to 44% (28 to 44%, if all the samples from stages 1 and 2, including PFM001510A and PFM002218A, see /Stephens et al. 2003b/, are considered). There is considerable variation in the contents of K-feldspar, plagioclase feldspar, hornblende and biotite. In particular, hornblende diminishes in importance as the content of quartz increases (Figure 5-1). Furthermore, with some notable exceptions (see below), hornblende is restricted to the rocks with lower contents (< 10%) of K-feldspar (Figure 5-1). The rocks classified as aplitic metagranite (Group B10) show low contents of biotite. All the rocks belonging to Groups B5 to B10 lie in the tonalite, granodiorite and granite fields on the QAP($F = 0$) diagram (Figure 5-2b). In general, this is in good agreement with the preliminary classifications carried out during optical examination in the field (Table 5-2).

The opaque minerals are dominated by pyrite, ilmenite, magnetite and chalcopyrite. Pyrrhotite and sphalerite are also present. Zircon, titanite, allanite and apatite form accessory minerals. Secondary alteration minerals include chlorite, muscovite, epidote, calcite and prehnite. Plagioclase feldspar is to a variable degree affected by saussuritization and/or sericitization. Furthermore, pyrite is occasionally altered to goethite along mineral boundaries. Hematite and martite are also present.

The rocks in Groups B5 to B10 are even-grained. However, they are often characterised by heterogeneous mineral and grain size distributions. Optical examination in the field, in combination with an estimate of the size of the mineral aggregates observed during the microscopic study, suggest that the felsic rocks in Groups B5 to B9 originally had a grain size in the range 1–3 mm to more than 5 mm, i.e. they are finely medium-grained to coarse-grained. A predominance of originally medium-grained rocks is inferred (Table 5-3). Grain size reduction has occurred in connection with the penetrative ductile deformation and metamorphism. The rocks classified as aplitic metagranite (Group B10) are inferred to be fine-grained to finely medium-grained (Table 5-3).

Most of the rocks display a ductile, deformational grain-shape fabric that is defined by oriented biotite and, to some extent, by oriented hornblende, quartz and feldspar grains. The occurrence of elongate aggregates of quartz, feldspar, biotite, hornblende and accessory minerals is also a characteristic microstructural signature (Figure 5-3c). These features suggest that deformation occurred under amphibolite-facies metamorphic conditions. In two samples, tectonic fabrics in two different orientations are present. In sample PFM000621A, a C/S-fabric occurs (C-surface composed of biotite), while, in sample PFM005288A, both fabrics are developed to the same degree and show the same character (grain-shape fabric and elongate aggregates). Intracrystalline strain features are present in quartz with the development of undulose extinction and sub-grains. This deformation is assumed to have occurred after the main phase of deformation and grain growth, during retrograde metamorphic conditions.

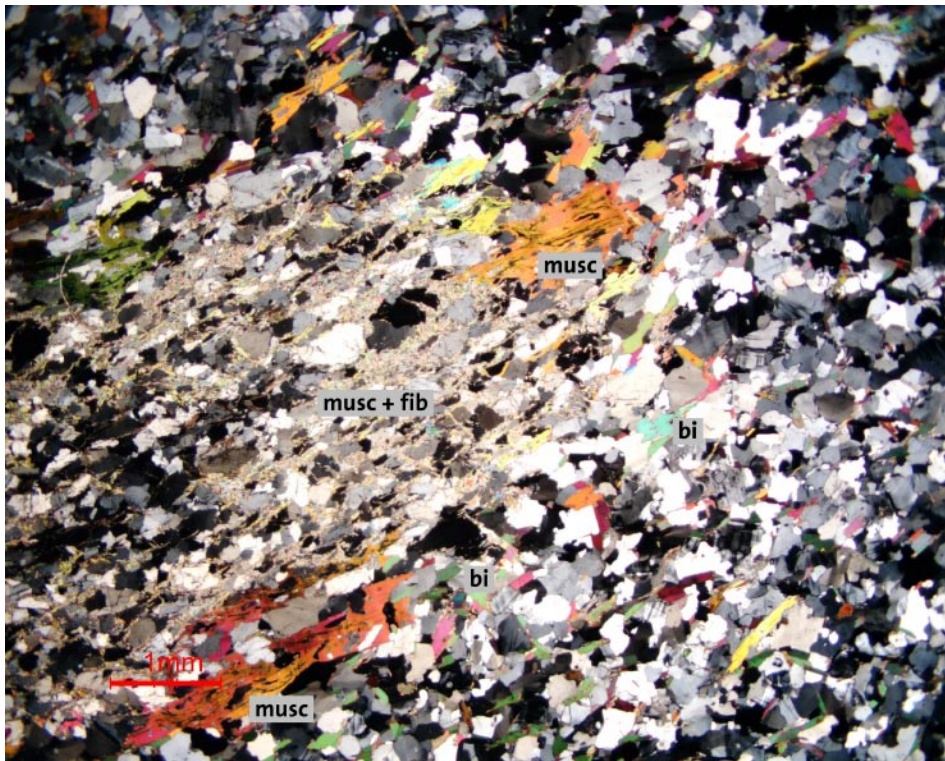


Figure 5-3a. Photomicrograph of ovoid spot (central-left part of picture) that is over 1 cm long in an altered, Group A1 felsic metavolcanic rock (PFM005249A). K-feldspar is absent in the ovoid spot and a mesh of fine-grained muscovite and fibrolite (*musc+fib*) is also prominent. Coarser muscovite (*musc*) and biotite (*bi*) grains are scattered throughout the thin-section.

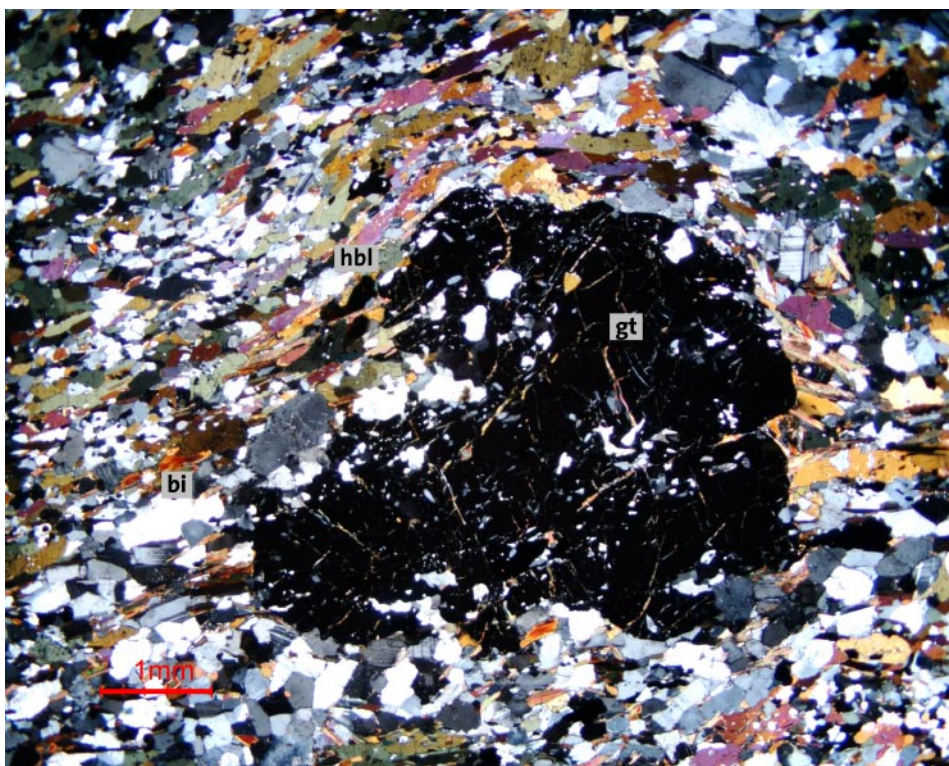


Figure 5-3b. Photomicrograph of garnet porphyroblast (gt) in a Group B metadiorite (PFM000789A). The mineral fabric that is defined predominantly by elongate grains of hornblende (hbl) and biotite (bi) splays around the garnet, which crystallized prior to or during the ductile deformation.

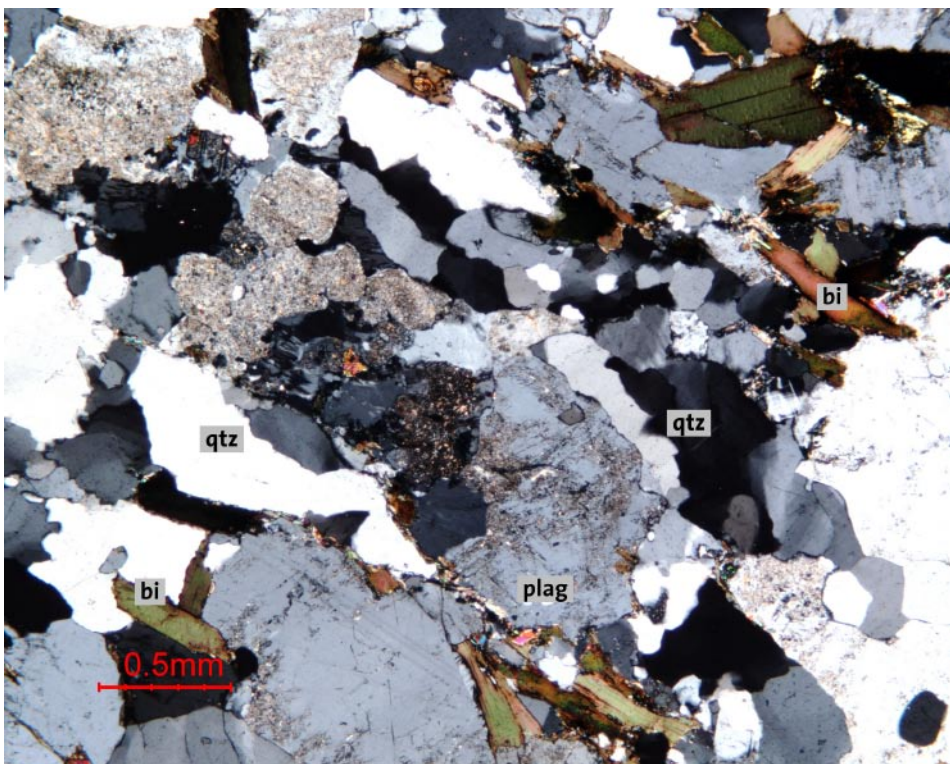


Figure 5-3c. Photomicrograph of Group B metagranite (PFM005193A). Elongate aggregates of quartz (qtz) and saussuritized plagioclase feldspar (plag), as well as elongate grains of biotite (bi), define the mineral fabric that trends diagonally across the figure (upper left to lower right). The microstructure indicates penetrative deformation under amphibolite-facies metamorphic conditions.

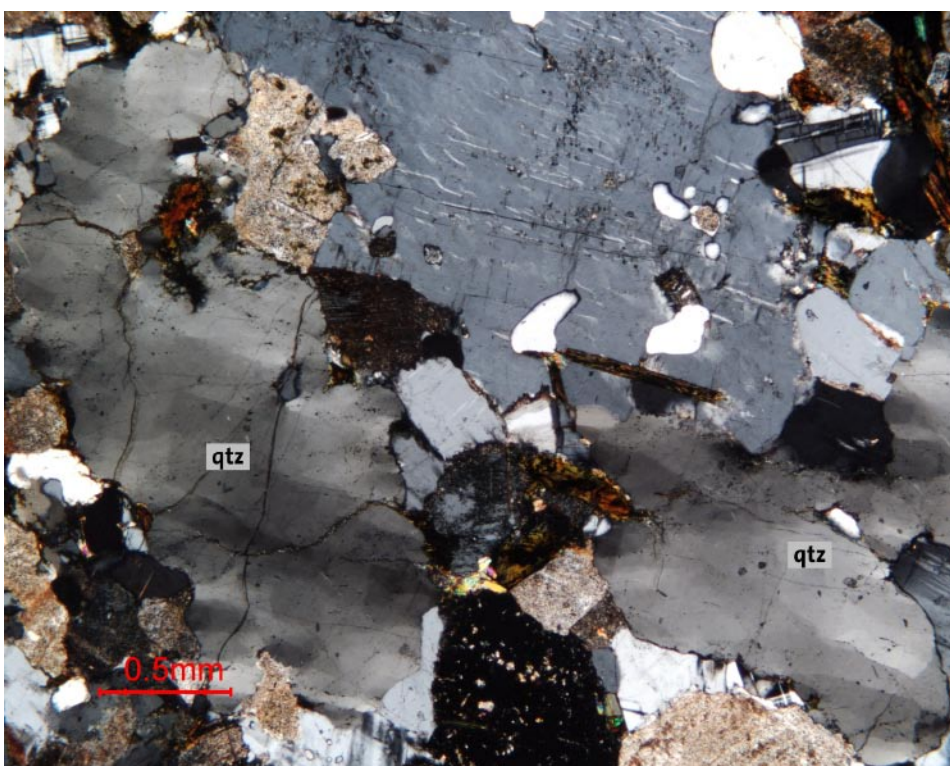


Figure 5-3d. Photomicrograph of Group D granite (PFM001243B) that shows undulose extinction and subgrain development in quartz (qtz).

A qualitative estimate of the frequency of microfractures has been carried out. In general, there is a low to moderate frequency of microfractures in these rocks, with a more consistent low frequency in the metatonalites of Group B5–B6 (Table 5-3). Furthermore, it is common that large crystals of quartz contain more microfractures than that observed in the surrounding groundmass. Some thin sections contain sealed fractures across the entire surface.

Five samples (PFM001627A, PFM001636A, PFM001224B, PFM001229B and PFM005197A), which were classified in the field as metagranite (Groups B9 and B10), are anomalous. Texturally, they resemble the rocks with granitic composition at the site, but they are pale grey or even whitish in appearance and contain little or no K-feldspar yet lack hornblende. They resemble samples PFM000320A, PFM000530A, PFM001864A and PFM002212A in stage 1 that, on the basis of geochemical criteria, were inferred to have been affected by hydrothermal alteration /Stephens et al. 2003b/.

It is suggested that the inferred tonalitic or granodioritic composition of all these rocks (Figure 5-2b) is due to alteration and does not reflect their primary composition. The alteration involved a change in the proportions of alkali elements in the rocks /Stephens et al. 2003b/. Examination of samples PFM001172A, PFM001226A and PFM001256A (see Appendix 1) indicates that this type of alteration occurs close to the contact with dyke-like bodies of amphibolite. It affected both the coarser-grained (B8–B9) and aplitic (B10) granites prior to the ductile deformation that occurred under amphibolite-facies metamorphic conditions.

Fine- to medium-grained, felsic (quartz-rich) meta-intrusive rocks (Group C)

Modal analyses have been carried out on three Group C rocks during the stage 2 work (Table 5-2). These samples were classified in the field (Table 5-2) as metamorphosed dioritoid (PFM001102A), granodiorite (PFM001941A) and granite (PFM001161A). In total, 17 modal analyses from stages 1 and 2 are available for the Group C rocks.

The modal analyses (Figure 5-1) show that the Group C rocks are rich in plagioclase feldspar (c 50%) with variable amounts of quartz (18 to 31%) and biotite (5–18%). Hornblende is only present in the sample (PFM001102A) that contains a markedly lower content of quartz (Figure 5-1). If all samples from both stages 1 and 2 are taken into account, the content of quartz varies from 18 to 35% (Figure 5-1). All rocks lie in the tonalite (PFM001102A and PFM001941A) and granodiorite (PFM001161A) fields on the QAP($F = 0$) diagram and there are some discrepancies with the compositional estimates carried out during outcrop inspection (Table 5-2). Bearing in mind the results from stage 1 /Stephens et al. 2003b/, it is apparent that there is wide variation in the composition of the Group C rocks within the granitoid field on the QAP($F = 0$) diagram, with a strong bias towards granodioritic and tonalitic compositions (Figure 5-2c). Opaque minerals are ilmenite, magnetite, pyrite, chalcopyrite, pyrrhotite and hematite, while zircon, titanite, allanite and apatite occur as accessories. Secondary alteration minerals include chlorite, muscovite, epidote, calcite and prehnite. Plagioclase feldspar is partly saussuritized and/or sericitized, with patches of strong alteration.

The Group C rocks are equigranular but show somewhat variable mineral and grain size distributions, including elongate aggregates of recrystallised quartz, feldspar and hornblende. Mineral grains vary in size from 0.01 to 3 mm (Table 5-3). Optical examination in the field, in combination with an estimate of the size of the mineral aggregates observed during the microscopic examination, suggest that the samples originally had a grain size

in the range < 1–3 mm, i.e. they are fine- to medium-grained. Grain size reduction has occurred in connection with the penetrative ductile deformation and metamorphism but this appears to be of limited extent in the Group C rocks.

The Group C rocks display a ductile deformational grain-shape fabric defined distinctly by oriented biotite and to some extent by oriented hornblende, quartz and plagioclase feldspar grains. Elongate aggregates of recrystallised quartz, biotite and hornblende, somewhat recrystallised plagioclase feldspar as well as accessory minerals are also present. These features suggest that deformation occurred under amphibolite-facies metamorphic conditions. In PFM001102A, there are bands of stronger deformation. Intracrystalline strain features are present in quartz with the development of undulose extinction and sub-grains. This deformation is assumed to have occurred after the main phase of deformation and grain growth, during later retrograde metamorphic conditions.

A qualitative estimate of the frequency of microfractures has been carried out and, in general, there is a low to moderate frequency of microfractures (Table 5-3).

Granite and pegmatitic granite (Groups D1 and D2)

Modal analyses have been carried out on three samples that have been classified as granite (PFM000651A and PFM005245A) and pegmatitic granite (PFM001243B) in the field investigations and that are inferred to belong to the younger suite of Group D rocks (Table 5-2). There is some uncertainty concerning whether sample PFM005245A belongs to Group D or Group B. However, the lower degree of ductile deformation and the absence of amphibolites in the body from which this sample has been taken argue for inclusion of this sample in Group D. In total, eight modal analyses from stages 1 and 2 are available for the rocks in this group.

The contents of quartz and biotite in the three samples range from 25 to 43% and 4–5%, respectively. If all the samples from stages 1 and 2 are considered, the quartz content falls within the same range. The modal analyses indicate that these rocks either fall within the granitic field or lie close to the boundary between the granitic and granodioritic fields on the QAP($F = 0$) diagram (Figure 5-2d), in agreement with the field estimates. Opaque minerals consist of magnetite, ilmenite, hematite and pyrite, while zircon, allanite, apatite and occasionally titanite are present as accessories. Secondary alteration minerals include chlorite, muscovite, epidote, calcite and prehnite. Plagioclase feldspar is saussuritized and/or sericitized. In some magnetite grains, there is alteration to martite. Goethite that grows after pyrite is also present.

Optical examination in the field, in combination with an estimate of the size of mineral aggregates observed during the microscopic examination, suggest that the samples vary considerably in grain size (Table 5-3). A ductile deformational fabric, which is defined by oriented grains of biotite, quartz and, to some extent, feldspar as well as by deformed aggregates of these minerals, is conspicuous in sample PFM000651A. On the thin-section scale, the flattened aggregates appear as bands. Grain size reduction has occurred in connection with the ductile deformation and metamorphism. By contrast, sample PFM005245A is characterised by the virtual absence of ductile deformational features. Intracrystalline strain features are present in quartz in all three samples with the development of undulose extinction and sub-grains (Figure 5-3d). This deformation is assumed to have occurred after the main phase of deformation and grain growth, during later retrograde metamorphic conditions.

A qualitative estimate of the frequency of microfractures has been carried out and, in general, a high frequency of microfractures has been observed (Table 5-3).

5.3 Geochemistry

The raw geochemical data are presented in Appendix 2 and stored at SKB under field note number Forsmark 22. The data are presented here in the form of a series of figures that illustrate the key geochemical characteristics of the metamorphosed igneous rocks from the Forsmark area. In order to complete a synthesis of all the geochemical data, the results of the analyses from the data collected during stage 1 are shown in all these figures. Furthermore, the analyses of other igneous rocks in the Bergslagen area and its surroundings, extracted from the Geological Survey of Sweden's geochemical database, are included in several of them.

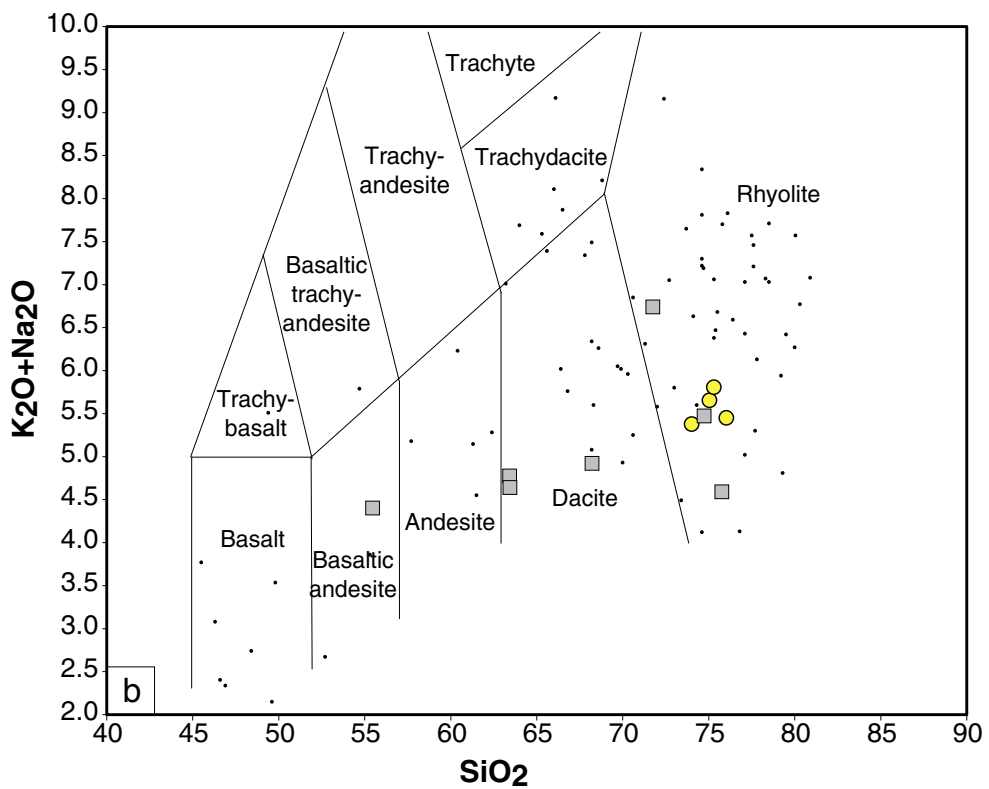
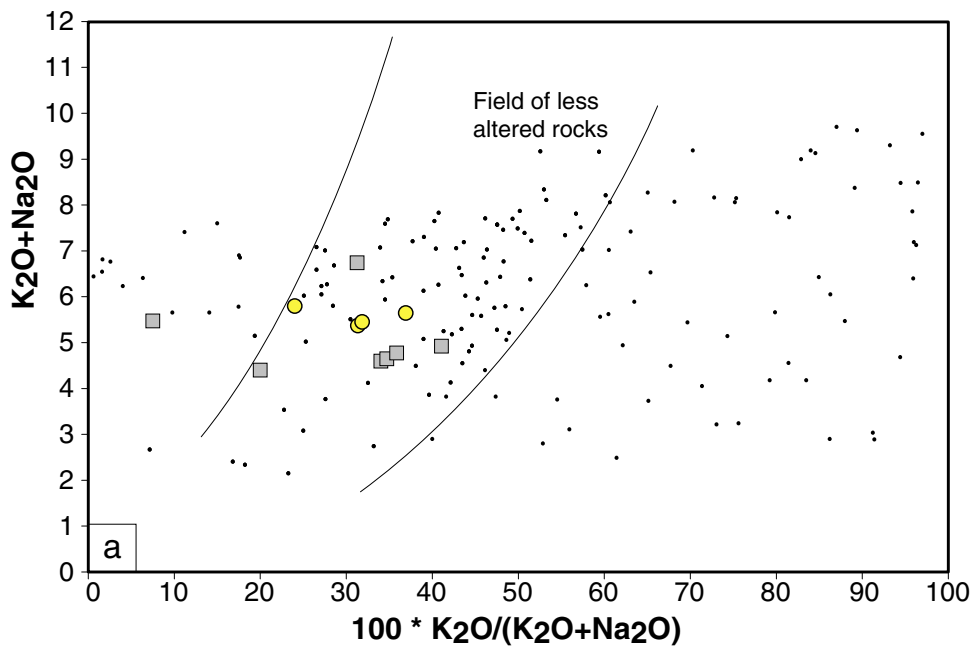
Felsic to intermediate metavolcanic and synvolcanic meta-intrusive rocks (Group A1)

Four samples of metavolcanic and synvolcanic meta-intrusive rocks (Group A1) were analysed geochemically during stage 2 (Table 5-2). A total of 11 geochemical analyses from stages 1 and 2 are available for the rocks in this group (Table 5-2).

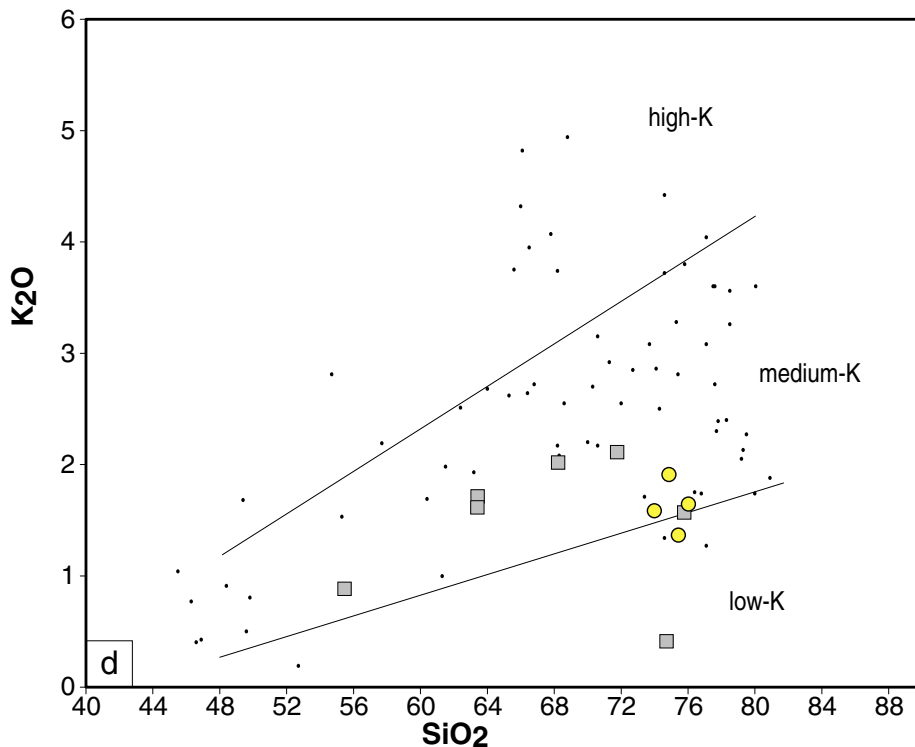
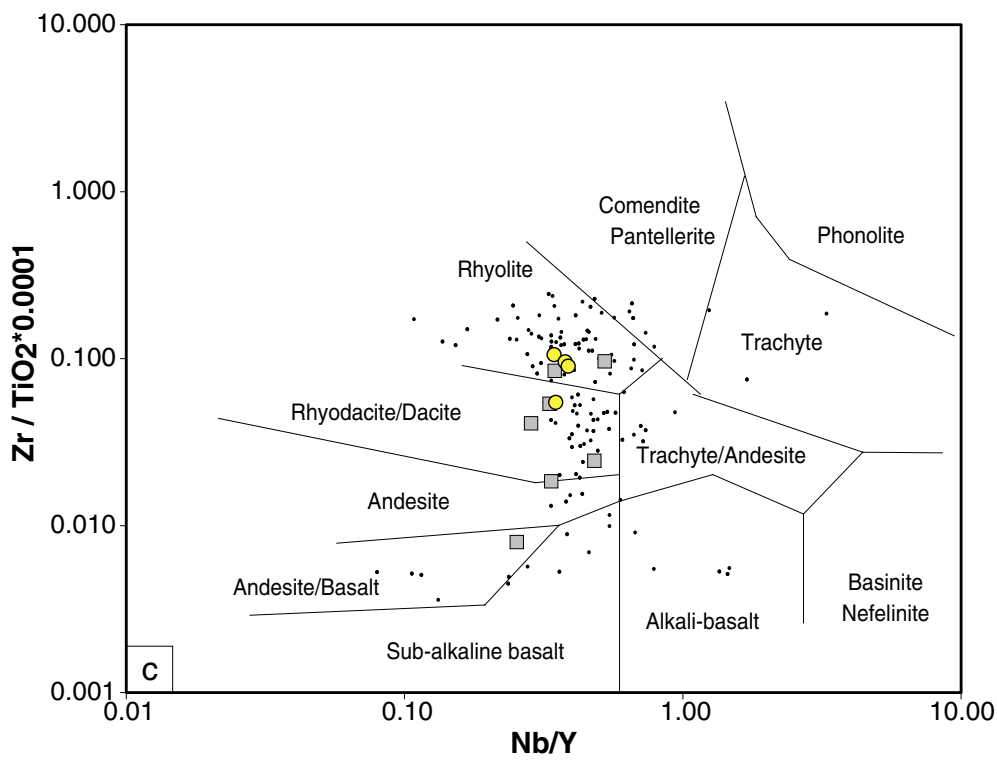
The four samples from stage 2 plot within the field occupied by apparently less altered volcanic rocks (Figure 5-4a) on the igneous spectrum diagram of /Hughes, 1973/. The majority of analysed Svecfennian metavolcanic rocks in the Bergslagen area and surroundings also plot within this part of the diagram. However, many metavolcanic rocks in this geological province also lie within the fields that indicate strong alkali enrichment, both in Na₂O (to the left in Figure 5-4a) and in K₂O (to the right in Figure 5-4a).

On the basis of the patterns in the total alkali–SiO₂ diagram for volcanic rocks /Le Bas et al. 1986/ and the Zr/TiO₂*0.0001 diagram /Winchester and Floyd, 1977/, the analysed metavolcanic rocks can be classified as rhyolites with subordinate dacite (Figures 5-4b and 5-4c). The rocks also show a medium- to low-K composition (Figure 5-4d). There is a poor agreement between the classification of the metavolcanic rocks based on the modal analyses and that based on the geochemical data (Table 5-2). However, bearing in mind the pre-metamorphic alteration that has been inferred to be present in these rocks (see section 5.2 and /Stephens et al. 2003b/), extreme care must be exercised in the use of especially alkali elements and silica to classify them on a geochemical basis, i.e. Figures 5-4b and 5-4d.

The Group A1 rocks display U values in the range 3.2 to 4.6 ppm and Th values in the range 9.5 to 15.3 ppm (Table 5-4). These values fall within the respective ranges for these elements that were defined from the data acquired during stage 1 (1.4 to 6.9 ppm and 4.6 to 16.7 ppm, respectively). The Group A1 rocks are enriched in large ion lithophile (LILE) relative to high field strength (HFSE) elements on the rock/primordial mantle plot (Figures 5-5). Negative anomalies for Nb and Ta and, in part, even Sr, P and Ti are also conspicuous on this plot (Figure 5-5). All samples show an enrichment in light rare earth (LREE) relative to heavy rare earth (HREE) elements with a weak, negative Eu anomaly on the rock/chondrites diagram (Figure 5-6).



- Felsic to intermediate volcanic and synvolcanic intrusive rock (A1)
- Sample from stage 1 / Stephens et al. 2003b /
- Svecofennian volcanic rocks (Bergslagen and surroundings)



Field classification

- Felsic to intermediate volcanic and synvolcanic intrusive rock (A1)
- Sample from stage 1 / Stephens et al. 2003b /
- Svecofennian volcanic rocks (Bergslagen and surroundings)

Figure 5-4. Geochemical characteristics of the Group A1 metavolcanic and synvolcanic meta-intrusive rocks. Alteration diagram (a) after /Hughes, 1973/. Rock classification diagrams (b, c and d) after /Le Bas et al. 1986; Winchester and Floyd, 1977; Peccerillo and Taylor, 1976/, respectively.

Table 5-4. K₂O (%), U (ppm) and Th (ppm) contents of samples in the different rock groups. Analyses of samples from stages 1 and 2 are shown in black and red, respectively.

Group/sample number /data stage	K ₂ O (%)	U (ppm)	Th (ppm)
A1. Felsic to intermediate metavolcanic and synvolcanic meta-intrusive rocks. SKB rock code 103076			
PFM000350A	1.71	2.1	8.4
PFM000352A	2.11	3.2	15.2
PFM000352B	1.62	1.4	5.6
PFM001156A	0.41	2.3	11.4
PFM001200A	2.02	6.9	10.7
PFM001222A	1.57	4.0	16.7
PFM002163B	0.88	2.2	4.6
PFM001908A	1.73	4.2	15.3
PFM001956A	1.39	4.6	12.6
PFM005217A	2.08	3.2	9.5
PFM005236A	1.68	3.2	9.6
B1. Meta-ultramafic rock. Code 101004			
PFM001205A	0.08	< 0.1	0.3
B2–B3. Metagabbro, metadiorite, quartz-bearing metadiorite. Code 101033			
PFM002216A	0.71	0.8	1.6
PFM002216B	1.33	0.6	1.1
PFM002220A	0.64	0.5	2.1
PFM000555A	0.25	0.3	0.5
PFM000782A	0.71	0.6	1.7
PFM000842A	1.61	2.7	6.6
PFM001906A	1.83	2.5	5.0
PFM005206A	1.66	1.9	5.5
PFM005209A	1.27	2.0	5.2
B4. Amphibolite. Code 102017			
PFM001183B	0.76	2.3	2.8
PFM002209A	1.43	2.8	1.0
PFM002215A	0.61	0.9	1.6
PFM002218B	1.41	0.9	2.6
PFM002219B	0.91	1.4	1.8
PFM002239A	2.57	1.0	0.6
PFM002240A	1.81	0.9	1.5
PFM002241A	0.82	2.3	1.4
PFM002242A	1.51	1.4	3.0
PFM002243A	1.70	0.7	1.4
PFM002244A	1.61	2.8	5.6
PFM002245A	1.12	1.4	2.7
PFM002246A	0.88	0.9	2.1
PFM000652A	1.36	1.6	3.8
PFM001010A	1.46	1.1	2.3
B5–B6. Metatonalite (to metagranodiorite). Code 101054			
PFM000729A	2.57	3.0	19.8
PFM001162A	2.13	2.8	7.8
PFM001217A	1.02	3.8	7.1
PFM002217A.	2.19	3.0	6.5
PFM002218A	1.40	4.2	6.3
PFM000557A	2.19	1.4	7.8
PFM000621A	1.93	8.0	7.8
PFM000778A	1.61	2.3	5.1
PFM000837A	1.86	4.6	10.2
PFM005172A	1.74	2.0	5.6

Group/sample number /data stage	K₂O (%)	U (ppm)	Th (ppm)
B7. Metagranodiorite. Code 101056			
PFM000692A	2.13	4.2	11.6
PFM000614A	2.38	1.3	8.5
PFM000650A	2.13	3.4	7.6
PFM005282A	2.58	4.1	11.1
B8–B9. Metagranite (to metagranodiorite). Code 101057			
PFM000197A	4.18	3.9	19.5
PFM000289A	3.06	3.9	15.3
PFM000319A	3.24	2.2	16.1
PFM000320A	2.31	5.4	15.9
PFM000658A	3.74	3.5	15.9
PFM001159B	3.58	8.4	14.7
PFM001180A	3.20	2.0	16.2
PFM001182A	3.33	3.0	23.8
PFM001864A	1.56	5.9	12.9
PFM002207A	2.98	3.7	19.3
PFM002212A	0.74	4.8	13.5
PFM000601A	3.73	3.0	14.2
PFM000994A	4.08	3.2	14.7
PFM001224C	0.73	4.9	16.0
PFM001229C	0.91	4.6	14.1
PFM001119A	3.67	2.4	16.6
PFM001635A	3.74	5.3	15.2
PFM002149A	3.61	3.1	12.5
PFM002221A	3.87	3.2	12.7
PFM005193A	3.51	4.2	14.0
PFM005197A	0.69	4.4	15.6
PFM005288A	4.07	2.3	16.2
B10. Metagranite, aplitic. Code 101058			
PFM000530A	2.02	3.1	15.9
PFM000278B	6.47	9.1	27.1
PFM001106A	4.67	5.6	18.5
PFM001627A	0.73	3.1	16.9
PFM001636A	1.68	5.3	16.8
PFM005205B	4.06	2.4	18.0
C. Quartz-rich felsic meta-intrusive rock (metagranitoid), fine- to medium-grained. Code 101051			
PFM000529A	1.55	3.3	19.9
PFM002206A	2.43	3.0	21.5
PFM002213A	1.42	3.6	9.5
PFM002214A	3.83	10.4	19.2
PFM001102A	2.25	2.1	5.6
PFM001941A	1.51	4.8	18.0
D1. Granite, fine- to medium-grained, in part leucocratic. Code 111058			
PFM000530B	4.41	14.5	13.6
PFM002210A	4.84	11.0	29.0
PFM000651A	4.63	2.4	15.3
PFM005245A	3.08	6.2	16.2
D2. Pegmatitic granite. Code 101061			
PFM000198A	4.87	2.4	28.6
PFM001191A	9.63	3.1	21.3

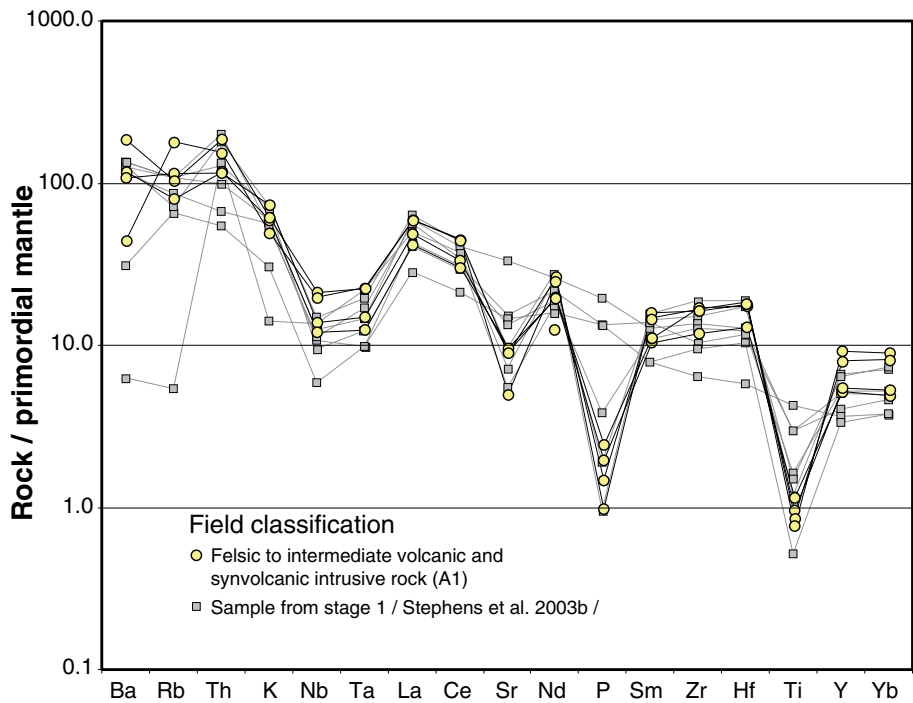


Figure 5-5. Rock/primordial mantle diagram showing the relationships between large ion lithophile (LILE, e.g. Ba, Rb) and high field strength (HFSE, e.g. Zr; Ti and Y) elements for the Group A1 metavolcanic and synvolcanic meta-intrusive rocks. Primordial mantle values after /McDonough et al. 1992/.

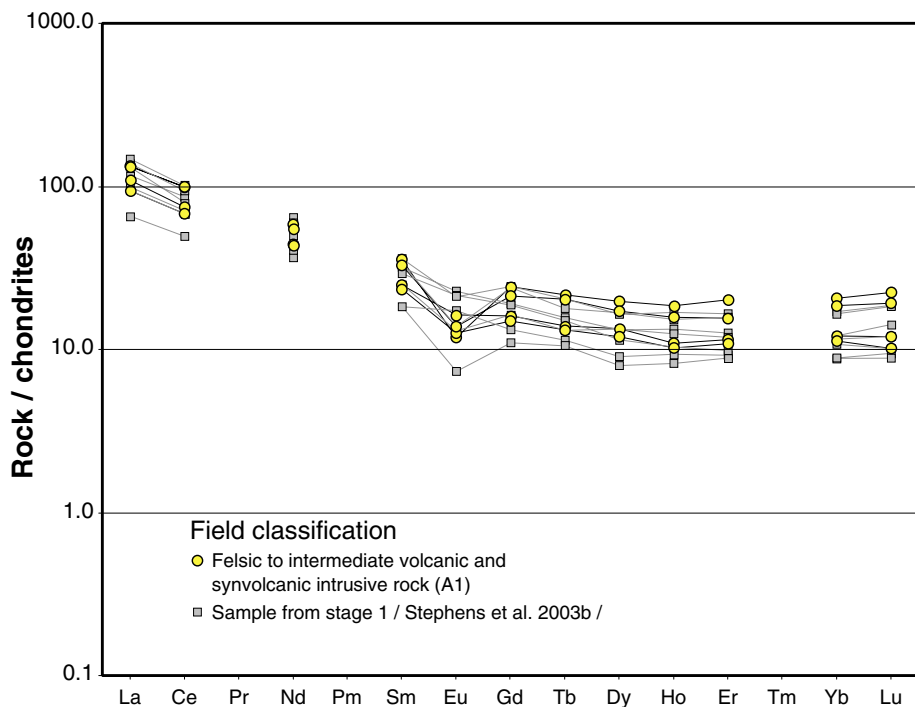


Figure 5-6. Rock/chondrites diagram showing the relationships between light rare earth (LREE, e.g. La, Ce) and heavy rare earth (HREE, e.g. Yb, Lu) elements for the Group A1 metavolcanic and synvolcanic meta-intrusive rocks. Chondrite values after /Boynton, 1984/.

Ultramafic, mafic, intermediate and felsic (quartz-rich) meta-intrusive rocks (Group B)

32 samples of Group B rocks have been analysed geochemically during stage 2 (Table 5-2). These include one sample classified in the field as an ultramafic rock (B1), five samples classified as intermediate in composition (B3), two amphibolites (B4) and 24 felsic meta-intrusive rocks (B5 to B10). A total of 67 geochemical analyses from stages 1 and 2 are available for the rocks in this group (Table 5-2).

Virtually all the samples define a trend that lies in the granite-granodiorite-tonalite-diorite-gabbro spectrum on the total alkali–SiO₂ classification diagram (Figure 5-7a) for intrusive rocks /Middlemost, 1994/. This trend is similar to that obtained for the early-tectonic intrusive rocks in the Bergslagen area and surroundings (Figure 5-7a). However, some of the samples with granitic composition contain lower total alkali element contents than that predicted by the trend. The two amphibolites show a transitional gabbroic to dioritic composition (Figure 5-7a).

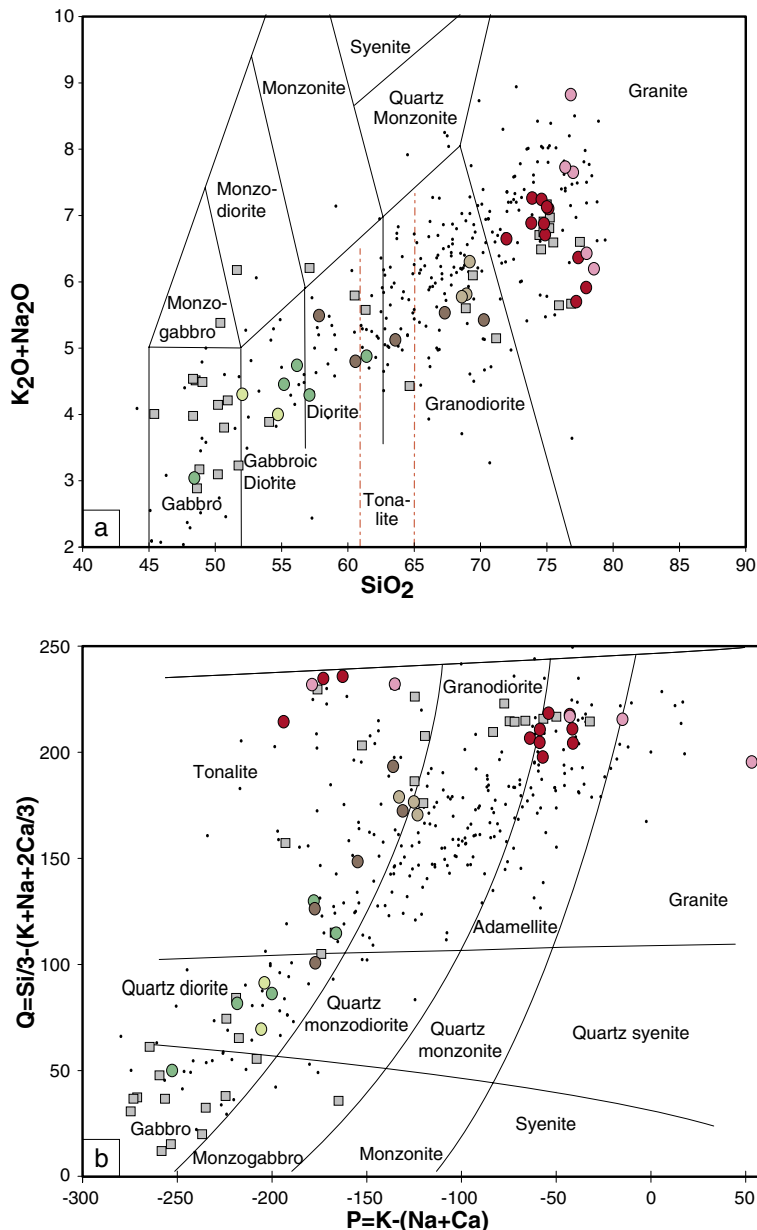
With a few exceptions, there is a good agreement between the classification based on the modal analyses and the classification obtained with the help of the total alkali–SiO₂ diagram (Table 5-2). However, it is apparent that several samples, which are considered to be granitic in composition on the basis of the field studies and their position on the total alkali–SiO₂ plot, lie in the tonalite field on the QP classification diagram (Figure 5-7b) for intrusive rocks /Debon and LeFort, 1983/.

These samples correspond to the five granites discussed in section 5.2 (PFM001627A, PFM001636A, PFM001224B, PFM001229B and PFM005197A) that have undergone an early-stage, hydrothermal alteration and have subsequently been affected by deformation and metamorphism. This feature was also observed for four samples (PFM000320A, PFM000530A, PFM001864A and PFM002212A) in the rocks analysed during stage 1 /Stephens et al. 2003b/. All these samples show high contents of Na₂O (4.09 to 5.68%) and low contents of K₂O (0.69 to 2.31%). They also show reduced contents of Ba, Rb and Sr relative to the unaltered granites. Furthermore, several of these samples occur in the banded, highly strained rocks that occur along the coast, both to the north-east and to the north-west of the candidate area. It is suggested that the alteration has affected the proportions of alkalis in these rocks and, thereby, affected their position on the QP plot /Stephens et al. 2003b/.

The Group B rocks display a calc-alkaline igneous trend (Figure 5-8a) and are peraluminous (to metaluminous) in composition (Figure 5-8b). The trends on these two diagrams are also identical to those observed for the early-tectonic intrusive rocks in the Bergslagen area and its surroundings. The felsic rocks (B5 to B10) display U values in the range 1.3 to 9.1 ppm, and Th values in the range 5.1 to 27.1 ppm (Table 5-4). The ranges in values for these two elements are somewhat broader than those noted during stage 1 (Table 5-4). Nevertheless, these values are normal for felsic igneous rocks.

All the Group B rocks are enriched in LILE relative to HFSE on the rock/primordial mantle plot (Figures 5-9a, 5-9b and 5-9c). All rocks (B2–B10) show negative anomalies for Nb and Ta. In addition, the felsic rocks (B5–B10) show negative anomalies for P and Ti and the granitic rocks (B8–B10) show a negative anomaly for Sr (Figure 5-9b and 5-9c). In all the Group B rocks, the LREE are enriched relative to HREE on the rock/chondrites plot (Figures 5-10a, 5-10b and 5-10c) and the granitic rocks show a distinctive negative Eu anomaly (Figure 5-10c) that is related to the fractional crystallisation of feldspar. These features strongly resemble the patterns observed for the Group A1 metavolcanic and synvolcanic meta-intrusive rocks.

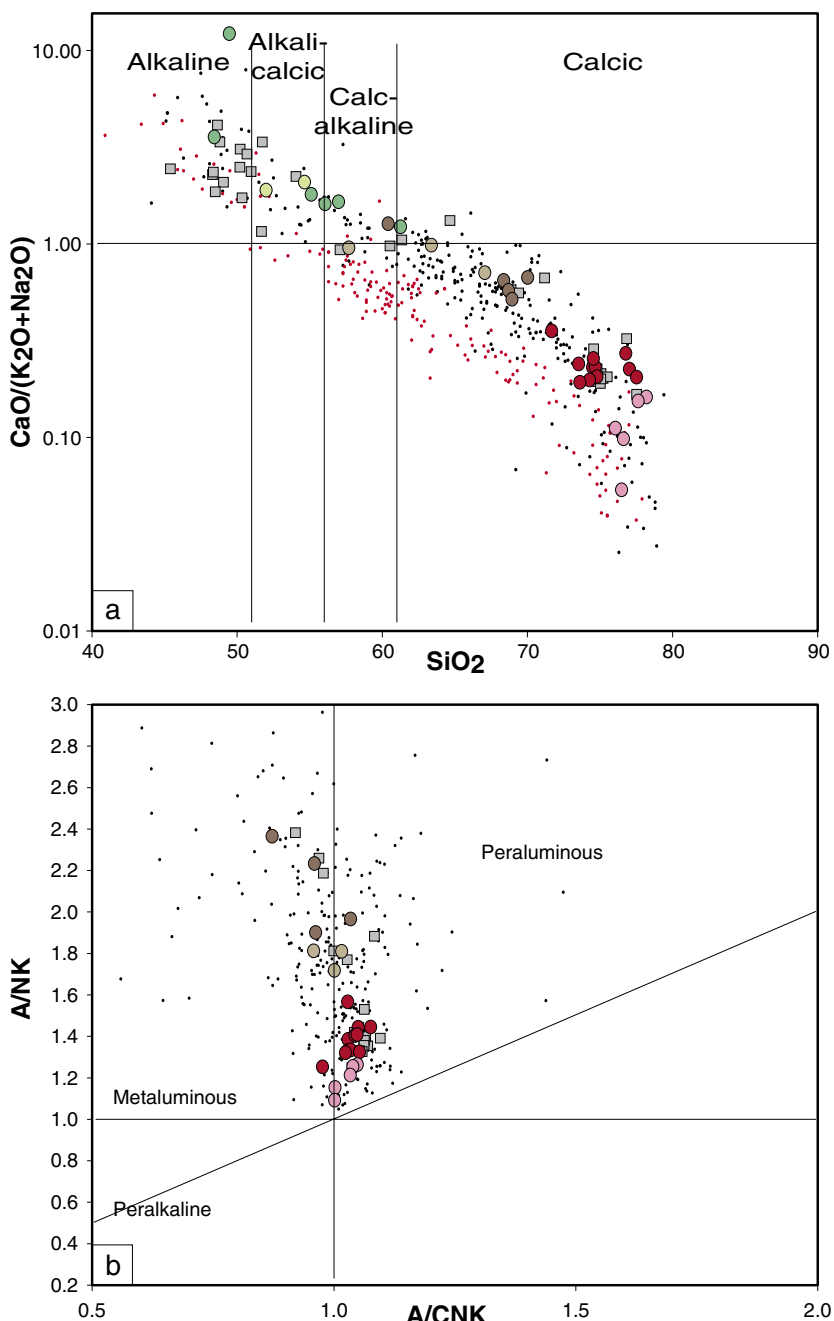
The negative anomalies for both Nb and Ta, as well as the position of the Group B felsic rocks on a Rb/Y+Nb diagram (Figure 5-11), suggest the influence of one or more source regions for both the Group A1 and Group B rocks that were affected, at some stage in their history, by subduction-related processes.



Field classification

- Granite, aplitic (B10)
- Granite, granite to granodiorite (B8–B9)
- Granodiorite (B7)
- Tonalite, tonalite to granodiorite (B5–B6)
- Amphibolite (B4)
- Gabbro, diorite, quartz diorite (B2–B3)
- Sample from stage 1 / Stephens et al. 2003b / Calc-alkaline intrusive rocks (Bergslagen and surroundings)

Figure 5-7. Classification of the meta-intrusive rocks in Group B based on geochemical analyses. Diagram (a) after /Middlemost, 1994/ and diagram (b) after /Debon and Le Fort, 1983/.



Field classification

- Granite, aplitic (B10)
- Granite, granite to granodiorite (B8–B9)
- Granodiorite (B7)
- Tonalite, tonalite to granodiorite (B5–B6)
- Amphibolite (B4)
- Gabbro, diorite, quartz diorite (B2–B3)
- Sample from stage 1 / Stephens et al. 2003b /
- Alkali-calcic intrusive rocks
(Bergslagen and surroundings)
- Calc-alkaline intrusive rocks
(Bergslagen and surroundings)

Figure 5-8. Geochemical trends of the meta-intrusive rocks in Group B. Diagram (a) after /Peacock, 1931/ and diagram (b) after /Maniar and Piccoli, 1989/.

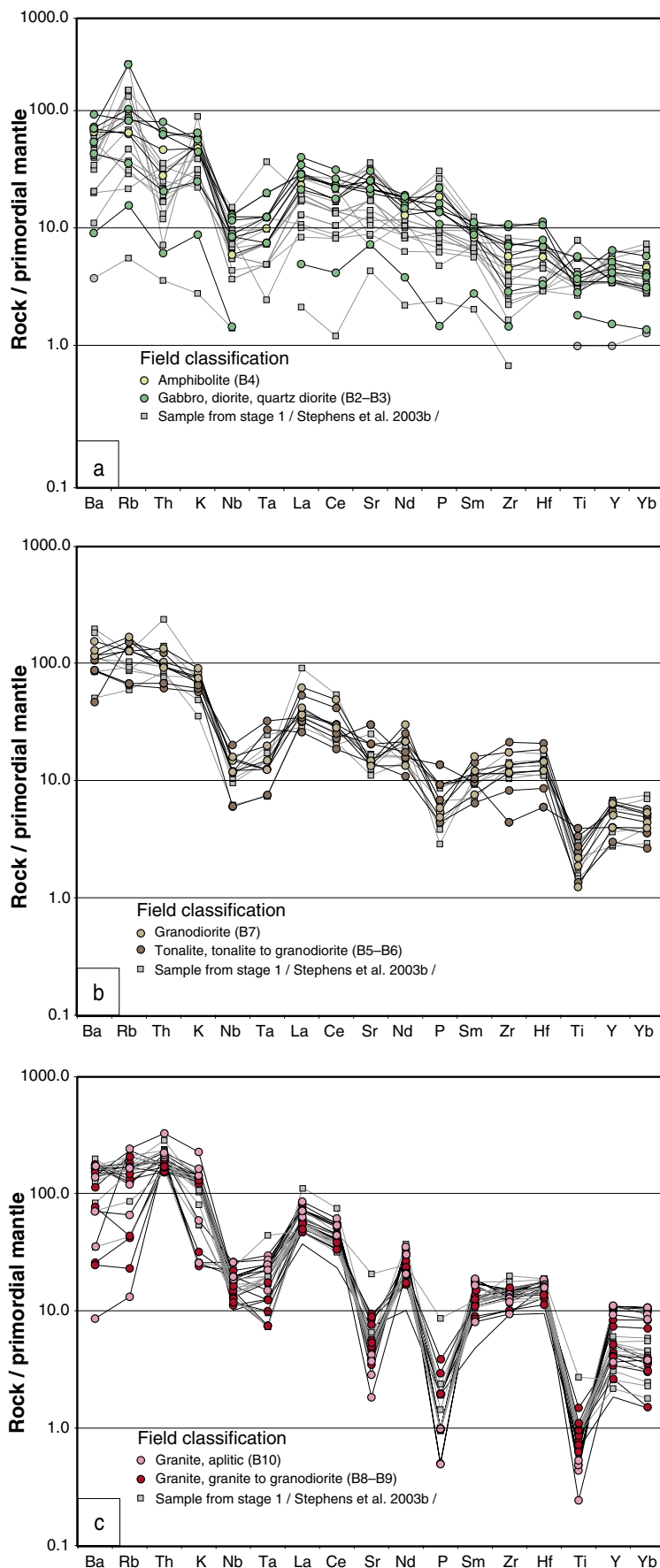


Figure 5-9. Rock/primordial mantle diagram showing the relationships between large ion lithophile (LILE, e.g. Ba, Rb) and high field strength (HFSE, e.g. Zr, Ti and Y) elements for the Group B meta-intrusive rocks. Primordial mantle values after /McDonough et al. 1992/.

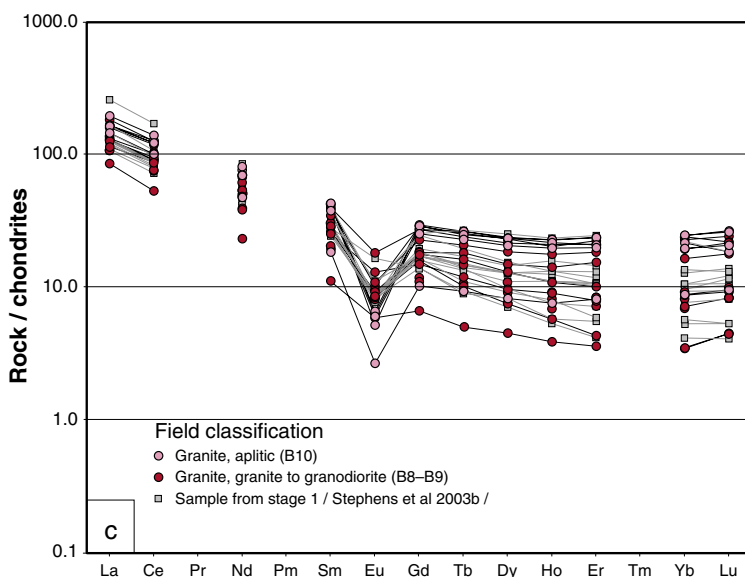
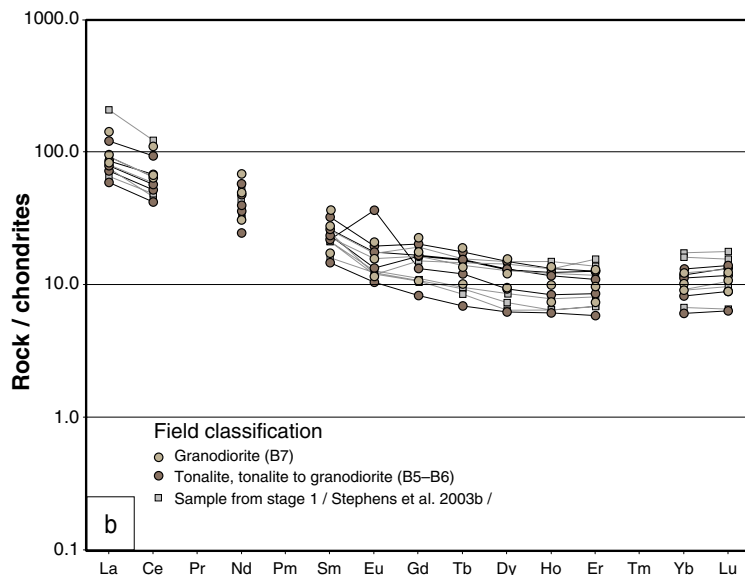
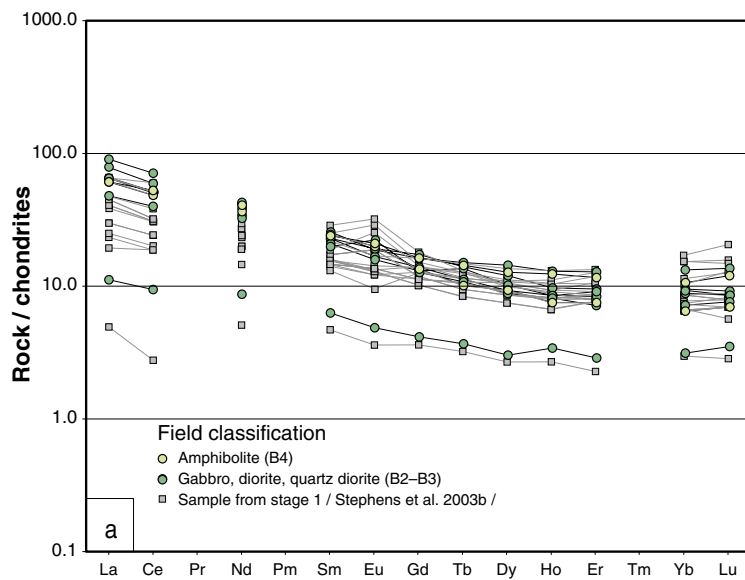


Figure 5-10. Rock/chondrites diagram showing the relationships between light rare earth (LREE, e.g. La, Ce) and heavy rare earth (HREE, e.g. Yb, Lu) elements for the Group B meta-intrusive rocks. Chondrite values after /Boynton, 1984/.

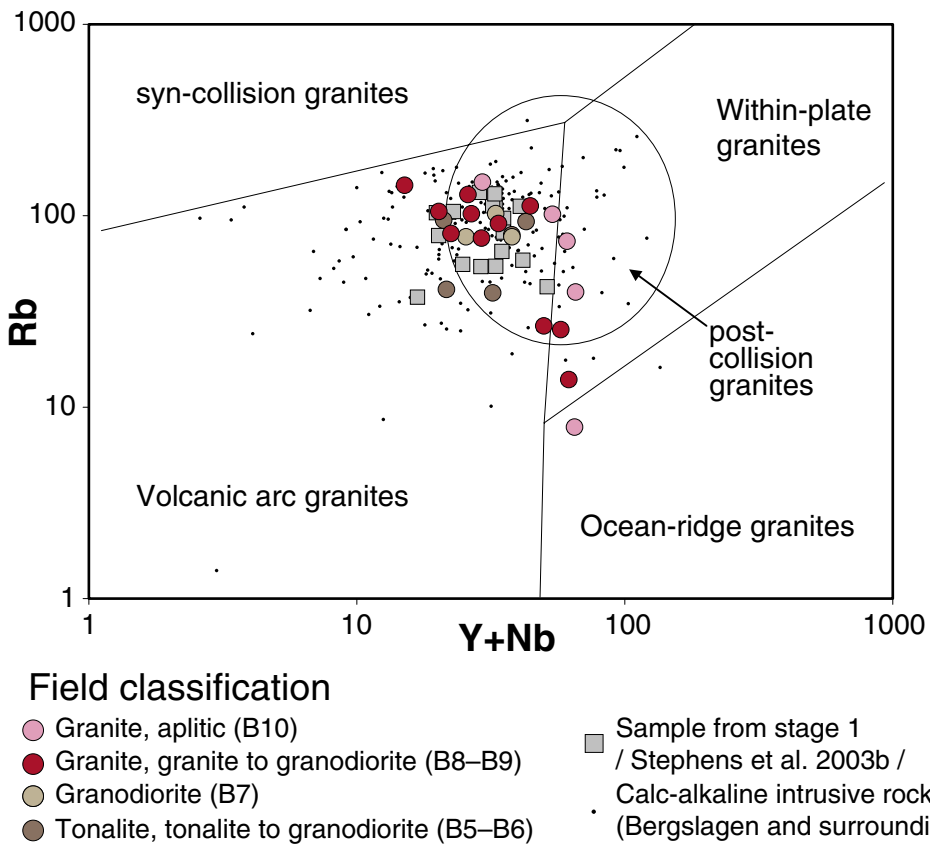


Figure 5-11. Tectonic affinity diagram after /Pearce, 1996/ for the Group B felsic meta-intrusive rocks.

Fine- to medium-grained, felsic (quartz-rich) meta-intrusive rocks (Group C)

Two samples of Group C rocks have been analysed geochemically during stage 2 (Table 5-2). These samples were classified in the field (Table 5-2) as metamorphosed dioritoid (PFM001102A) and granodiorite (PFM001941A). A total of six geochemical analyses from stages 1 and 2 are available for the rocks in Group C (Table 5-2).

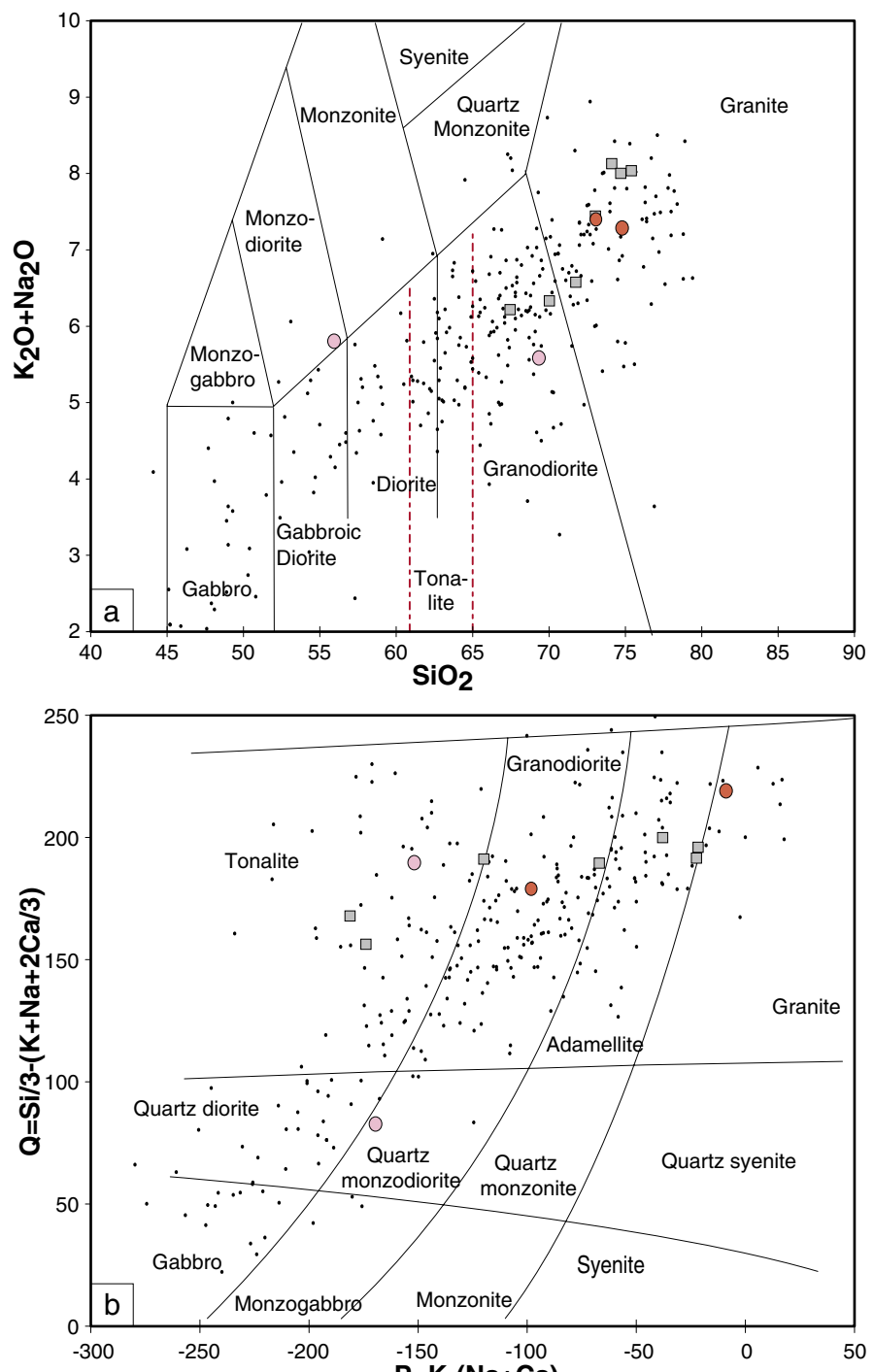
Sample PFM001941A shows either a granodioritic or tonalitic composition on the two geochemical classification diagrams, while sample PFM001102A is weakly monzodioritic (Figures 5-12a and 5-12b). The geochemical classification of PFM001102A differs somewhat from the classification based on the modal analysis (Table 5-2).

Sample PFM001941A lies along the same calc-alkaline trend that is defined by the early-tectonic intrusive rocks in the Bergslagen area and its surroundings (Figure 5-13a). However, sample PFM001102A lies off this trend (Figure 5-13a). As for Group B, the two samples lie on either side of the line that separates peraluminous and metaluminous rocks (Figure 5-13b). They also contain similar contents of U and Th as the metatonalites in Group B (Table 5-4) and show similar LILE/HFSE (Figure 5-14a) and LREE/HREE (Figure 5-15a) trends and anomalies as the felsic to intermediate rocks in Group B. Furthermore, they plot in the same field as the felsic Group B rocks on the Rb/Y+Nb diagram (Figure 5-16). In summary, they are geochemically very similar to the felsic to intermediate rocks in Group B.

Granite (Group D1)

Two samples of granite (Group D1) have been analysed geochemically during stage 2 (Table 5-2). In total, six geochemical analyses from stages 1 and 2 are available for the rocks in Group D (Table 5-2).

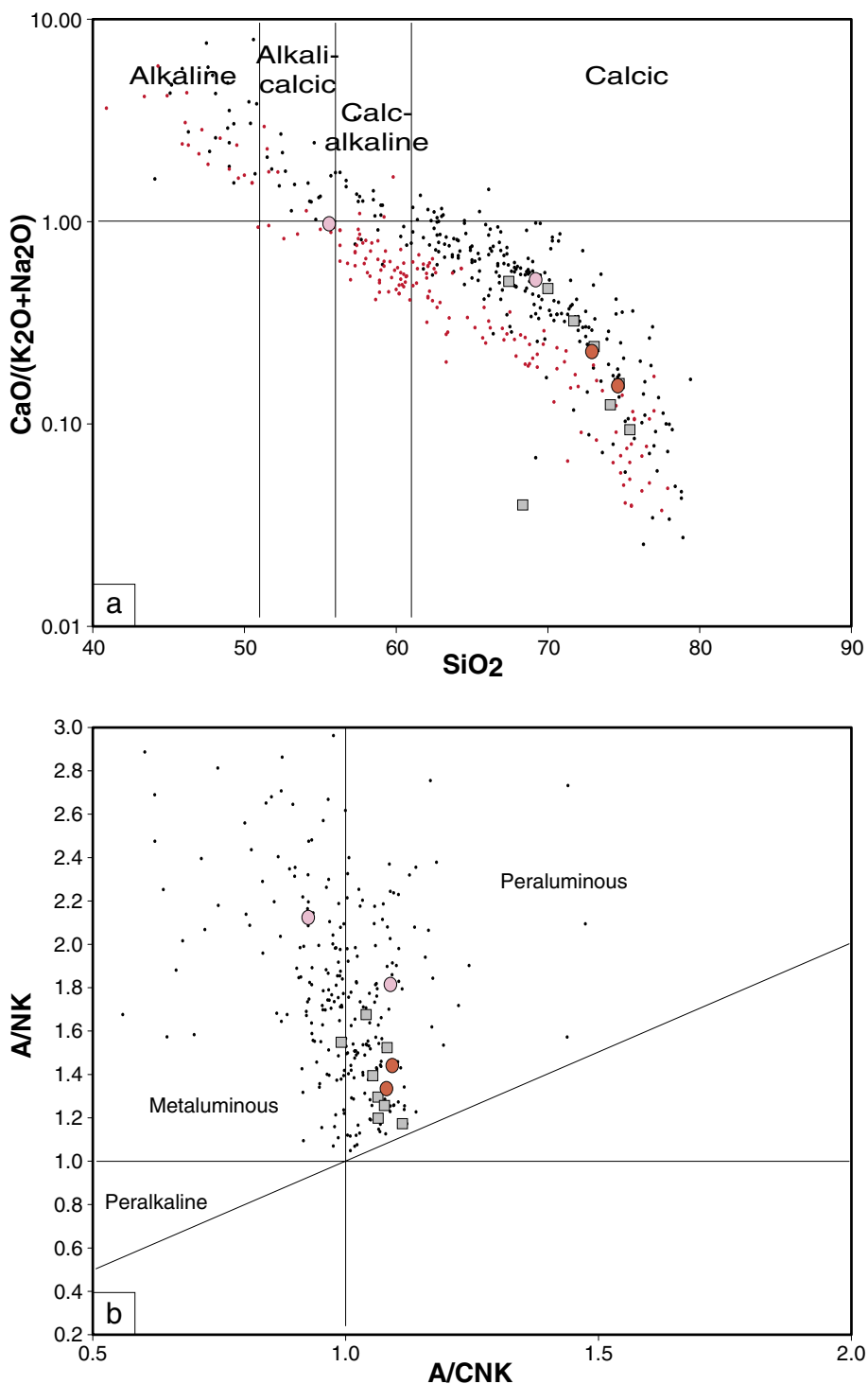
The samples analysed during stage 2 display a granitic composition on both the total alkali–SiO₂ (Figure 5-12a) and QP (Figure 5-12b) diagrams, in agreement with the modal analyses. U and Th contents are similar to those observed in the Group B metagranites and lie in the lower part of the respective ranges for the Group D rocks inferred from the stage 1 data (Table 5-4). The samples lie along the calc-alkaline trend established for the early-tectonic intrusive rocks in the Bergslagen area and its surroundings (Figures 5-13a). They are also peraluminous in composition (Figure 5-13b). The Group D samples show similar LILE/HFSE (Figure 5-14b) and LREE/HREE (Figure 5-15b) trends and anomalies as the other felsic rocks in the area. They also plot in the same field as the felsic rocks in Groups B and C rocks on the Rb/Y+Nb diagram (Figure 5-16). Bearing in mind the continental crustal origin of the Group D rocks, these similarities raise the question of inheritance of geochemical signatures from older crustal material.



Field classification

- Granite (D1)
- Granitoid (C)
- Sample from stage 1 / Stephens et al. 2003b / Calc-alkaline intrusive rocks (Bergslagen and surroundings)

Figure 5-12. Classification of the meta-intrusive rocks in Groups C and D based on geochemical analyses. Diagram (a) after /Middlemost, 1994/ and diagram (b) after /Debon and Le Fort, 1983/.



Field classification

- Granite (D1)
- Granitoid (C)
- Sample from stage 1 / Stephens et al. 2003b /
- Alkali-calcic intrusive rocks (Bergslagen and surroundings)
- Calc-alkaline intrusive rocks (Bergslagen and surroundings)

Figure 5-13. Geochemical trends of the meta-intrusive rocks in Groups C and D. Diagram (a) after /Peacock, 1931/ and diagram (b) after /Maniar and Piccoli, 1989/.

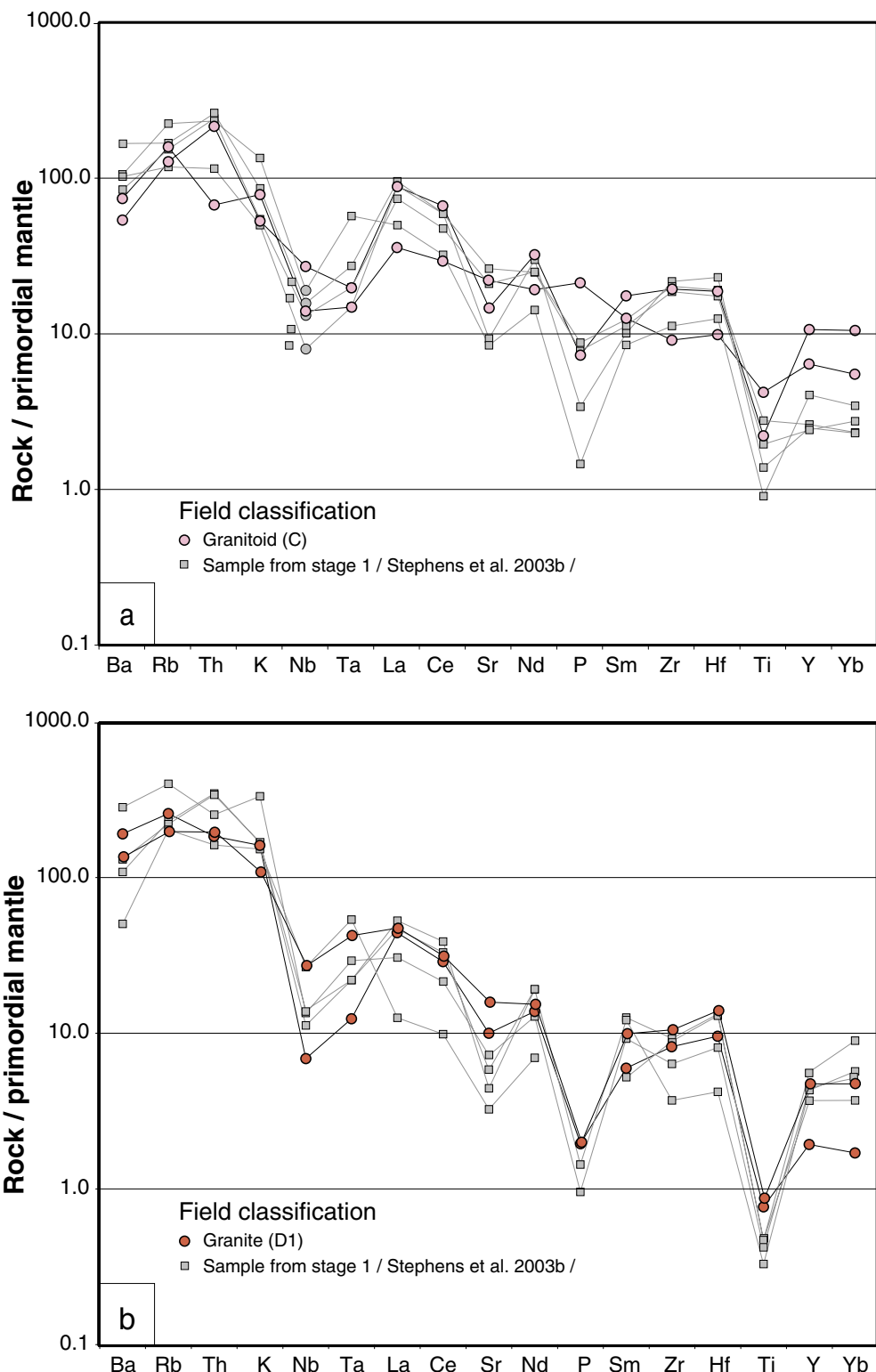


Figure 5-14. Rock/primordial mantle diagram showing the relationships between large ion lithophile (LILE, e.g. Ba, Rb) and high field strength (HFSE, e.g. Zr, Ti and Y) elements for the meta-intrusive rocks in Groups C (a) and D (b). Primordial mantle values after /McDonough et al. 1992/.

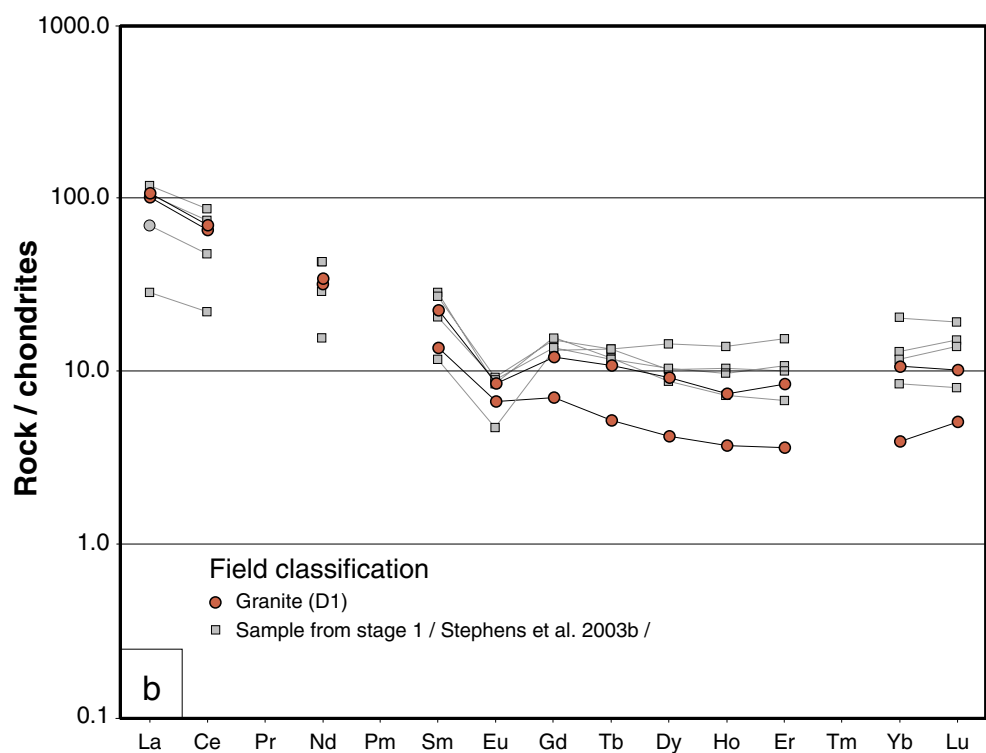
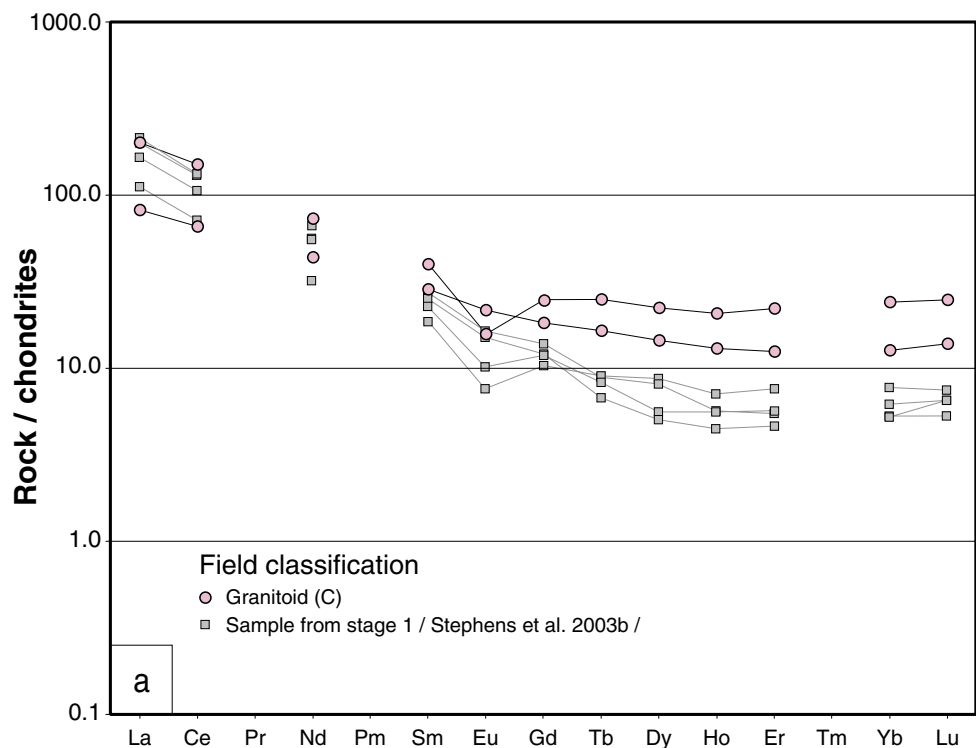


Figure 5-15. Rock/chondrites diagram showing the relationships between light rare earth (LREE, e.g. La, Ce) and heavy rare earth (HREE, e.g. Yb, Lu) elements for the meta-intrusive rocks in Groups C (a) and D (b). Chondrite values after /Boynton, 1984/.

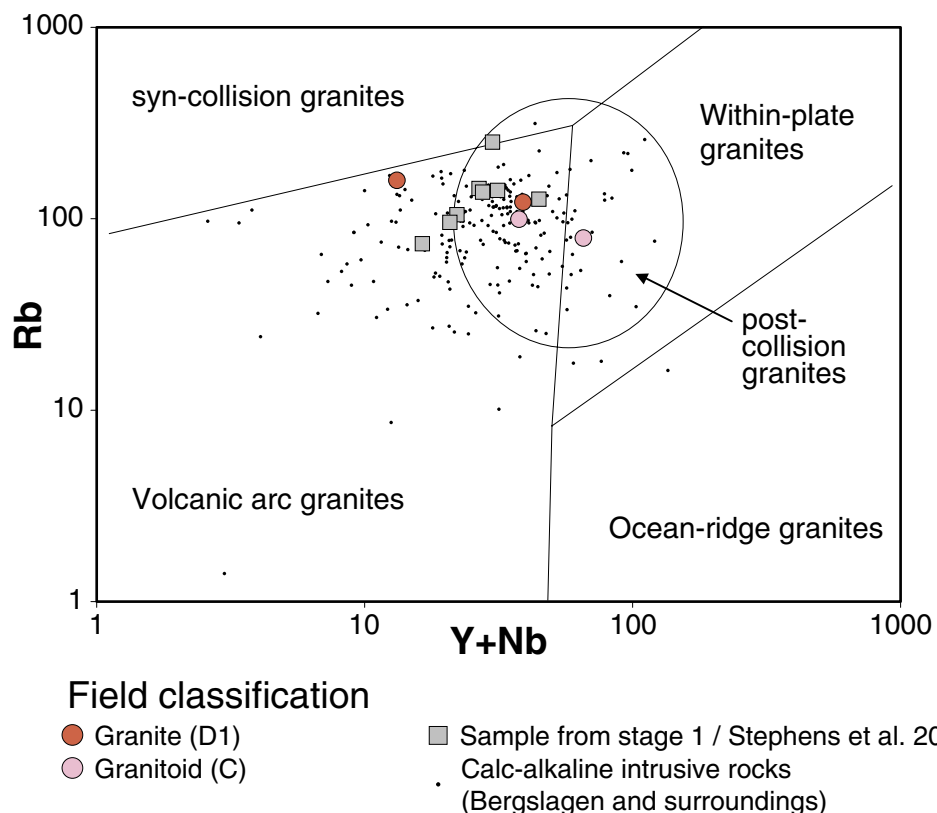


Figure 5-16. Tectonic affinity diagram after /Pearce, 1996/ for the meta-intrusive rocks in Groups C and D.

6 Conclusions

Since the analyses presented here have confirmed the results from stage 1, the conclusions are based on a synthesis of the results from the analyses carried out during both stage 1 and stage 2:

1. All the felsic rocks at the surface, both volcanic and intrusive, are rich in quartz. The modal analyses indicate that the quartz content in all samples (106) over the whole site fall in the range 14 to 45%. The Group B rocks with a predominantly granitic composition (39 samples), which dominate inside the candidate area, yield modal quartz values in the range 28 to 44%. The granitoids within Groups C (17 samples) and D (8 samples), which occur as subordinate rocks inside the candidate area, show modal quartz values in the ranges 18 to 35% and 25 to 43%, respectively.
2. The fine-grained, volcanic and synvolcanic intrusive rocks (Group A1), which are the oldest rocks in the area, show a medium-K, dacitic or andesitic mineralogical composition. Dacites are dominant. However, whole-rock geochemical analyses indicate a more variable, rhyolitic to andesitic composition. An early-stage (pre-deformation/pre-peak metamorphism) alteration has affected the rocks. This alteration gives rise to difficulties to assess the primary composition of the rocks. All these rocks were affected by ductile deformation under amphibolite-facies metamorphic conditions. The frequency of microfractures is predominantly low.
3. There are two separate phases of later, calc-alkaline, peraluminous (to metaluminous) intrusive activity. The older, calc-alkaline intrusive rocks (Group B) form major plutons. These rocks are predominantly medium-grained and show a broad range in composition. Pyroxenite, gabbro-diorite, quartz diorite, tonalite, granodiorite and biotite-bearing granite are present. The biotite-bearing granite, which dominates inside the candidate area, is spatially associated with amphibolite in a bimodal rock association. Ductile deformation under amphibolite-facies metamorphic conditions affected the plutonic rocks prior to intrusion of the rocks in the younger calc-alkaline suite. The frequency of microfractures is low to moderate and more consistently low in the rocks with tonalitic composition.
4. The younger, calc-alkaline intrusive rocks (Groups C and D) occur as minor intrusions and form subordinate rock components inside the candidate area. The Group C rocks are fine- to medium-grained and are predominantly granodioritic and tonalitic in composition. They are also affected by ductile deformation under amphibolite-facies metamorphic conditions and show a low to moderate frequency of microfractures. The youngest rocks in the area consist of minor intrusions of fine- to medium-grained granite that commonly show low contents of biotite (Group D1). Coarser pegmatitic granite (Group D2) and different generations of pegmatite (Group D3) are also conspicuous. The pegmatites display a variable time relationship with respect to the Group C calc-alkaline rocks as well as to the ductile deformation and metamorphism in the various host rocks. The rocks in Group D are only affected, in part, by ductile deformation and metamorphism. However, the frequency of microfractures is generally high.
5. With the exception of some of the Group D rocks, all rocks in the area show low contents of U and Th.

6. All rocks, both volcanic and intrusive, are enriched in LILE relative to HFSE and in LREE relative to HREE. Furthermore, all rocks display distinctive depletions in the elements Nb and Ta relative to primordial mantle values. In addition, depletions in P and Ti are conspicuous in the felsic intrusive rocks and in most of the volcanic /synvolcanic intrusive rocks. Depletions in Sr and Eu are also present in the granitic rocks and in most of the volcanic/synvolcanic rocks. The negative Eu anomaly is related to the fractional crystallisation of feldspar.
7. The trace element compositions of the felsic rocks indicate the influence of one or more source regions for these rocks that were affected, at some stage in their history, by subduction-related processes.
8. Early-stage alteration (pre-deformation/pre-peak metamorphism) has been recognised in both the Group A1 volcanic and synvolcanic intrusive rocks, and in some of the Group B granitic rocks. Locally, the volcanic and synvolcanic intrusive rocks show enrichment in muscovite and a reduction in the content of K-feldspar. The altered granites are pale grey to whitish in appearance and show mineralogical and anomalous geochemical trends that move the rocks into the granodiorite and even tonalite fields on various classification diagrams. The character of the geochemical trend and the absence of hornblende differ from that observed in the true granodiorites and tonalites. Relative to the unaltered granites, this alteration modified the contents of the alkali elements Na (relative increase) and K (relative decrease). It also affected the contents of Ba, Rb and Sr (relative decrease). In the field, this type of alteration has been noted in Group B granite close to the contact with dyke-like bodies of amphibolite.
9. Most samples display evidence for later (post-deformation/post-peak metamorphism) secondary alteration processes under lower temperature conditions. Plagioclase feldspar is commonly affected by saussuritization and/or sericitization. Epidote is also a common secondary mineral. Other secondary minerals include chlorite (after biotite), goethite (after pyrite), prehnite and calcite.

7 References

- Bergman T, Andersson J, Hermansson T, Petersson J, Zetterström Evins L, Nordman C, Albrecht L, Stephens M B, 2004.** Forsmark site investigation. Bedrock mapping. Stage 2 (2003) – Bedrock data from outcrops and the basal parts of trenches and shallow boreholes through the Quaternary cover. SKB P-04-91, Svensk Kärnbränslehantering AB.
- Boynton W V, 1984.** Cosmochemistry of rare earth elements: meteorite studies. In Henderson P (editor), Rare earth element geochemistry, Elsevier, Amsterdam.
- Debon F, Le Fort P, 1983.** A chemical-mineralogical classification of common plutonic rocks and associations. Transactions of the Royal Society of Edinburgh, Earth Sciences 73.
- Hughes C J, 1973.** Spilites, keratophyres and the igneous spectrum. Geological Magazine 109.
- Le Bas M J, Streckeisen A, 1991.** The IUGS systematics of igneous rocks. Journal of the Geological Society, London, 148.
- Le Bas M J, Le Maitre R W, Woolley A R, 1986.** A chemical classification of volcanic rocks based on the total alkali–silica diagram. Journal of Petrology 27.
- Le Maitre R W (editor), 2002.** A classification of igneous rocks and glossary of terms: Recommendations of the International Union of Geological Sciences, Subcommision on the Systematics of Igneous Rocks, 2nd edition, Blackwell, Oxford.
- Lundström I, 1995.** Beskrivning till berggrundskartorna Filipstad SO och NO. SGU Af 177, 185, Sveriges geologiska undersökning.
- Maniar P D, Piccoli P M, 1989.** Tectonic discrimination of granitoids. Geological Society of America Bulletin 101.
- McDonough W F, Sun S S, Ringwood A E, Jagoutz E, Hofmann A W, 1992.** Potassium, rubidium, and cesium in the Earth and Moon and the evolution of the mantle of the Earth. Geochimica et Cosmochimica Acta 56.
- Middlemost E A K, 1994.** Naming materials in the magma/igneous rock system. Earth-Science Reviews 37.
- Peacock M A, 1931.** Classification of igneous rock series. Journal of Geology 39.
- Pearce J A, 1996.** Source and settings of granitic rocks. Episodes 19.
- Peccerillo A, Taylor S R, 1976.** Geochemistry of Eocene Calc-Alkaline Volcanic Rocks from the Kastamonu Area, Northern Turkey. Contributions to Mineralogy and Petrology 58.
- Stephens M B, Bergman T, Andersson A, Hermansson T, Wahlgren C-H, Albrecht A, Mikko H, 2003a.** Forsmark – Bedrock mapping: Stage 1 (2002) – Outcrop data including fracture data. SKB P-03-09, Svensk Kärnbränslehantering AB.

Stephens M B, Lundqvist S, Ekström M, Bergman T, Andersson J, 2003b. Forsmark site investigation. Bedrock mapping. Rock types, their petrographic and geochemical characteristics, and a structural analysis of the bedrock based on Stage 1 (2002) surface data. SKB P-03-75, Svensk Kärnbränslehantering AB.

Streckeisen A, 1976. To each plutonic rock its proper name. *Earth Science Reviews*, 12.

Streckeisen A, 1978. IUGS Subcommission on the Systematics of Igneous Rocks. Classification and nomenclature of volcanic rock, lamprophyres, carbonatites and melilitic rocks. Recommendations and suggestions. *Neues Jahrbuch für Mineralogie*, 134.

Winchester J A, Floyd P A, 1977. Geochemical discrimination of different magma series and their differentiation products using immobile elements. *Chemical Geology*, 20.

Appendix 1

Modal analyses and description of thin sections

Comment: In the cases where a modal analysis has been carried out, the rock name listed in the table is based on the result of the modal analysis. In the cases where no modal analysis is available, the classification carried out in the field and recorded in the outcrop database has been maintained, except for those cases where the microscopic examination is judged to provide a more correct classification.

Mikroskoperingssdata:

PFM000261A

6699158**1629846**

Strykning:

Slipets strykning:

Mikroskopierat av: SL

Slipets stupning:

Antal punkter:

0

Slippta inverterad?

Bergart: **Granit**

Kornstorlek i grundmassa från

Kornstorlek hos strokorn från

0.01 till

till

1 mm

mm

Strökkornshalt:

%

Relativ rörelse i strykningsriktningen:

Relativ rörelse i stupningsriktningen:

Mineral

Halt

Sek?

Bildat av

Kommentar

Allanit

Prehnit

Zirkon

Apatit

Opakmineral, ospec.

Kaicit

Epidot

Titanit

Klörít

Mustkovit

Biotit

Plagioklas

Alkalifältspat

Kvarts

Allmän kommentar

Karakter är en metamorf djupbergart. Deformerad och mylonitisk. Domineras av kvarts, fältspat och glimmer. Troligtvis granitisk, åtminstone granodioritisk. Ojämnkornigheten definieras av ådring och utdragna aggregat. Ursprunglig kornstorlek fint medelkornig, ev. medelkornig. Rekristalliserad kvarts och fältspater i utdragna aggregat.

Parallelorientering utgörs av mineralorientering (biotit, muskovit, kvarts, fältspat), utdragna aggregat (biotit, kvarts, fältspat, epidot) samt resulterande mineralfördelning i struk/band.

Överpräglad av senare, plastisk deformation (deformerad kvarts, påverkade komfogar i kvarts, kloritomvandling av biotit).

Halten av mikrospickor bedöms vara medel, samt genomgående spicka. Tunna glimmer- och Fe-hydroxidomvandlingar i fogar och spickor.

Mikroskoperingssdata:

		PFM000276A			
6697997	1631059	Slipets strykning:	Slipets stupning:	Slippta inverterad?	<input type="checkbox"/>
Mikroskopierat av:	SL	2003-09-24	Antal punkter:	0	
Bergart:	Granit	Kornstorlek i grundmassa från Kornstorlek hos strökkorn från Strökkornshalt:	till till %	0,01 mm mm	
Relativ rörelse i strykningsriktningen:		Relativ rörelse i stupningsriktningen:			

Textur	Jämnkönig
Struktur	Mylonitisk

Mineral	Halt	Sek.?	Bildat av	Kommentar
Opakmineral, ospec.	<input checked="" type="checkbox"/>			
Epidot	<input type="checkbox"/>			
Klorit	<input type="checkbox"/>			
Plagioklas	<input type="checkbox"/>			
Alkalifältspat	<input type="checkbox"/>			
Kvarts	<input type="checkbox"/>			

Allmän kommentar

Bedömd som granitisk till sammansättningen.

Heterogen, bandad, mylonitisk. Omväxlande kvarts-fältspatrika band upp till 0,1 mm och epidotrika band upp till 0,001 mm. Omväxlande mycket finkornig grundmassa och aggregat som är intrent mycket finkorniga. Omväxlande massformigt uppträdande av dessa aggregat/bitar och utvärslade sådana. Omväxlande rakt utdragna massor och vekkade/böljande massor.

Mikroskoperingssdata:

PFM000555A

6692340**1633763**

Mikroskopierat av: ME, SL

Ultramafit

Relativ rörelse i strykningsriktningen:

Mineral	Halt	Sek?	Bildat av	Kommentar
Klinopyroxen	60	<input type="checkbox"/>		Omvandlad till amphibol, stora korn med relikter av pyroxen. Opakinnneslutningar.
Hornblände	23	<input type="checkbox"/>		
Aktinolit-tremolit	8	<input type="checkbox"/>		Finkornig aktinolit.
Biotit	4,6	<input type="checkbox"/>		Ej kloritiseras.
Opakmineral, ospec.	1,4	<input type="checkbox"/>		Ilmenit, pyrit, koppariks, Fe-hydroxider, magnetit, hämatit, titanomagnetit.
Ortopyroxen	1,2	<input type="checkbox"/>		
Plagioklas	0,8	<input type="checkbox"/>		Vissa är starkt omvandlade till sericit, karbonat. Det går inte att bedöma An-halt.
Kalcit	0,6	<input type="checkbox"/>		
Muskovit	0,4	<input type="checkbox"/>		

Textur	Ojämnkornig
---------------	--------------------

Relativ rörelse i stupningsriktningen:

Mineral	Halt	Sek?	Bildat av	Kommentar
Klinopyroxen	60	<input type="checkbox"/>		Omvandlad till amphibol, stora korn med relikter av pyroxen. Opakinnneslutningar.
Hornblände	23	<input type="checkbox"/>		
Aktinolit-tremolit	8	<input type="checkbox"/>		Finkornig aktinolit.
Biotit	4,6	<input type="checkbox"/>		Ej kloritiseras.
Opakmineral, ospec.	1,4	<input type="checkbox"/>		Ilmenit, pyrit, koppariks, Fe-hydroxider, magnetit, hämatit, titanomagnetit.
Ortopyroxen	1,2	<input type="checkbox"/>		
Plagioklas	0,8	<input type="checkbox"/>		Vissa är starkt omvandlade till sericit, karbonat. Det går inte att bedöma An-halt.
Kalcit	0,6	<input type="checkbox"/>		
Muskovit	0,4	<input type="checkbox"/>		

Allmän kommentar

Kornstorleken domineras av 0,05-3 mm, enstaka korn upp till 4 mm. Pyrit och koppariks är delvis omvandlade till Fe-hydroxider längs kanterna. Tunna slier av pyrit och Fe-hydroxider. Magnetit med symplektittextur.

Mikroskopningsdata:

6692780

PFM000557A

1634208

Slipets strykning:

Mikroskopierat av: ME, SL

2003-10-13

Antal punkter:

500

Slipets stupning:

Bergart: **Granodiorit**Slipyta inverterad?

Kornstorlek i grundmassa från

Kornstorlek hos strökkorn från

Strökkornshalt: %

0,05 till

%

till

3 mm

mm

Relativ rörelse i stupningsriktningen:

Relativ rörelse i stupningsriktningen:

Mineral

Plagioklas

Halt

Sek.?

Bildat av

Kommentar

Kvarts

44,4

Sericitserad/saussuritserad. Fläckkvist medel och hög.

Biotit

23

Kloritterad. Strimmor här och var.

Homblände

14,8

Kloritterad. Strimmor här och var.

Alkalifältspat

9,4

Kloritterad. Strimmor här och var.

Titaniit

5,8

Kloritterad. Strimmor här och var.

Epidot

1

Kloritterad. Strimmor här och var.

Apatit

0,6

Kloritterad. Strimmor här och var.

Opakmineral, ospec.

0,4

Kloritterad. Strimmor här och var.

Zirkon

0,4

Kloritterad. Strimmor här och var.

Allanit

0,2

Kloritterad. Strimmor här och var.

Prehnit

Biotit

Allmän kommentar

Karakter av en metamorf djupbergart. Tydligt deformerad, heterogen mineralfördelning, rekristalliserad kvarts och fältspater i utdragna aggregat. Biotit uppträder som ett nätvärk, men avbryts av kvarts-fältspat-aggregaten - biotiten ofta utdragen i tunna sträck i kanterna på dessa. Dominerande kornstorlek 0,1-1 mm i kvarts-fältspatmassan, plagioklasporfyroklastar upp till 3 mm, hornblände upp till vanligen 1-2 mm, men även upp till 3 mm. Ursprunglig kornstorlek ev. medelkornig. Nära gräns mot tonalit.

Parallelorientering utgörs av mineralorientering (biotit, till viss del plagioklas, kalifältspat, hornblände, kvarts), utdragna aggregat (kvarts, plagioklas, kalifältspat, biotit, hornblände) och sträck deformation (tunna plan på ca 0,3-2 mm avstånd).

Överpräglad av senare, plastisk deformation (deformered kvarts, påverkade komfogar i kvarts, kloritomvandling av biotit).
Halten av mikrosprickor bedöms vara låg.

Textur

Ojämkornig

Struktur

Mikroskoperingssdata:

PFM000601A

6693819**1631058**

Mikroskopierat av: ME, SL

Textur

Ojämnkornig

Bergart:	Granit
Slipets strykning:	Slipets stupning:
2003-10-25	Antal punkter: 500
Kornstorlek i grundmassa från Kornstorlek hos strokorn från Strökkornshalt:	0,05 till till %

Struktur

Relativ rörelse i strykningsriktningen:

Relativ rörelse i stupningsriktningen:

Mineral	Halt	Sek?	Bildat av	Kommentar
Plagioklas	38,6	<input type="checkbox"/>		Sericitiserad/saussuritiseras. Fläckvis hög.
Kvars	31,8	<input type="checkbox"/>		
Alkalifältspat	20,6	<input type="checkbox"/>		
Biotit	8,2	<input type="checkbox"/>		Kloritiserad.
Epidot	0,6	<input type="checkbox"/>		
Titanit	0,2	<input type="checkbox"/>		
Allanit		<input type="checkbox"/>		
Prehnit		<input type="checkbox"/>		
Zirkon		<input type="checkbox"/>		
Apakit		<input type="checkbox"/>		
Opakmineral, ospec.		<input type="checkbox"/>		Magnetit, ilmenit, hämatit, pyrit. Finkornig ilmenit på biotitens spaltytor.
Klorit		<input checked="" type="checkbox"/>	Biotit	

Allmän kommentar

Karakter är en metamorf djupbergart. Tydligt och heterogen defomerad, heterogen mineral- och kornstorleksfördelning, utdragna aggregat. Rekristalliserad kvarts och kalifältspater, kornstorleksförminskad. Heterogen nema med mycket porfyroklaster kvär - ingen entydig kornstorleksfördelning. Porfyrokaster i både grovkorniga strängar och i finkornigare massa. Biotit uppträder både som större kom (aggregat upp till 2 mm) och jämt utströdda, små kom (0,1-0,5 mm). Eristaka magnetitkorn är martitiserade. Dominerande kornstorlek 0,05-0,5 mm i grundmassan, större kom upp till 3 mm. Ursprunglig kornstorlek fint medelkornig, ev. medelkornig. Bergarten mitt på gräns mellan granit och granodiorit.

Parallelorientering utgörs av mineralorientering (biotit, till viss del kvarts, plagioklas, kalifältspat) och utdragna aggregat (kvarts, plagioklas, kalifältspat, biotit).

Överpräglad av senare, plastisk deformation (defomerad kvarts, påverkade komfogar i kvarts, kloritomvandling av biotit). Kornfogarna i kvarts varierar mellan ojämna, smärt pusslade och smalt flikiga.

Halten av mikrosprickor bedöms vara medel.

Mikroskoperingssdata:

PFM000614A

6694755**1630650**

Mikroskopierat av: ME, SL

Bergart: **Granodiorit**

Relativ rörelse i strykningstryckningen:

Textur	Ojämkornig		
Slipets strykning:	Slipets stupning:	Slipyta inverterad?	<input type="checkbox"/>
2003-10-10	Antal punkter:	500	
Kornstorlek i grundmassa från Kornstorlek hos strökkorn från Strökkornshalt:	0,05 till till %	2 mm mm	
Relativ rörelse i stupningsriktningen:			

Mineral	Halt	Sek.?	Bildat av	Kommentar
Plagioklas	46,8	<input type="checkbox"/>		
Kvarts	31,2	<input type="checkbox"/>		Sericitiserad/saussuritiseras. Hög runt sprickstråk.
Alkalifältspat	11	<input type="checkbox"/>		
Biotit	8,8	<input type="checkbox"/>		Kloritiserad.
Hornblände	1,2	<input type="checkbox"/>		
Epidot	0,6	<input type="checkbox"/>		
Zirkon	0,2	<input type="checkbox"/>		
Opakmineral, ospec.	0,2	<input type="checkbox"/>		Pyrit, ilmenit, magnetit. Pyrit omvandlad längs kanterna till Fe-hydroxider. Sprickor fyllda med sericit.
Prehnit		<input type="checkbox"/>		
Apatit		<input type="checkbox"/>		
Klorit		<input checked="" type="checkbox"/>	Biotit	

Allmän kommentar

Karakter är en metamorf djupbergart. Tydligt deformeras, heterogen mineralfördelning, rekristalliserad kvarts och fältspater i utdragna aggregat. Kvarts-fältspataffaggregat är stora. Kvartssträngar mer än 5 mm långa. Ursprunglig kornstorlek ev. grovkornig eller fint medelkornig med grövre korn.

Parallelorientering utgörs av mineralorientering (biotit, hornblände, kvarts) och utdragna aggregat (kvarts, plagioklas, kalfältspat, biotit, hornblände).

Överpräglad av senare, plastisk deformation (deformeras kvarts, påverkade kornfogar i kvarts, klonformvandling av biotit). Komfogarna smärt pusslade.

Halten av mikrosprickor bedöms vara medel. Dessutom genomgående sprickstråk.

Mikroskoperingssdata:**669532****PFM000621A****1630884****Mikroskopoperat av:**

ME, SL

Bergart:**Tonalit**

Slipets strykning:	Slipets stupning:	Slippta inverterad?
2003-10-10	Antal punkter:	500
Kornstorlek i grundmassa från Kornstorlek hos strokorn från Strökkornshalt:	0,1 till till %	3 mm mm
Relativ rörelse i strykningsriktningen:		Relativ rörelse i stupningsriktningen:

Textur	Ojämnkornig
--------	-------------

Relativ rörelse i strykningsriktningen:

Mineral	Halt	Sek?	Bildat av	Kommentar
Plagioklas	56,2	<input type="checkbox"/>		Sericitiserad/saussuritiseras.
Kvars	31	<input type="checkbox"/>		
Biotit	7,2	<input type="checkbox"/>		Kloritiserad.
Alkalifältspat	5	<input type="checkbox"/>		
Muskovit	0,4	<input type="checkbox"/>		
Opakmineral, ospec.	0,2	<input type="checkbox"/>		Magnetit, pyrit, kopparkis.
Zirkon		<input type="checkbox"/>		
Apatit		<input type="checkbox"/>		
Kalcit		<input type="checkbox"/>		
Titanit		<input type="checkbox"/>		
Epidot		<input type="checkbox"/>		
Klorit		<input checked="" type="checkbox"/>	Biotit	

Allmän kommentar

Karakter är en metamorf djupbergart. Tydligt deformerad, heterogen mineralfördelning, rekristalliserad kvarts och fältspater i utdragna aggregat. Kvartssträngar upp till 1 cm långa. Ursprunglig kornstorlek medelkornig ev. med grövre korn.

Parallelorientering utgörs av mineralorientering (biotit, kvarts) och utdragna aggregat (kvarts, plagioklas, kalifältspat, biotit). Tendens till S2 - biotit markerar planenytorna.

Överpräglad av senare, plastisk deformation (deformera kvarts, påverkade komfogar i kvarts, kloritomvandling av biotit). Komfogarna smärt pusslade.

Halten av mikrosprickor bedöms vara medel.

Mikroskopningsdata:**6696739** **1628728**

Mikroskopierat av: ME, SL

Bergart: Granodiorit

Relativ rörelse i strykningstryckningen:

PFM000650A

Slipets strykning:

2003-10-10

Antal punkter:

500

Slipets stupning:

0,05 till

5mm

till

mm

Kornstorlek i grundmassa från
Kornstorlek hos strökkorn från

%

Strökkornshalt:

Relativ rörelse i stupningsriktningen:

Relativ rörelse i stupningsriktningen:

Textur**Ojämkornig****Struktur****Kommentar**

Sericitiserad/saussuritiseras.

Mineral	Halt	Sek.?	Bildat av	Kommentar
Plagioklas	51,4	<input type="checkbox"/>		
Kvarts	25	<input type="checkbox"/>		
Alkalifältspat	14,8	<input type="checkbox"/>		
Biotit	7,6	<input type="checkbox"/>		Kloritiseras.
Opakmineral, ospec.	0,8	<input type="checkbox"/>		Magnetit, hämatit, finkornig ilmenit och pyrit. En del magnetitkorn är martitiserasade.
Prehnit	0,2	<input type="checkbox"/>		
Epidot	0,2	<input type="checkbox"/>		
Allanit		<input type="checkbox"/>		
Zirkon		<input type="checkbox"/>		
Apatit		<input type="checkbox"/>		
Kalcit		<input type="checkbox"/>		
Klorit		<input checked="" type="checkbox"/>	Biotit	

Allmän kommentar

Karakter av en metamorf djupbergart. Heterogen mineralfördelning, rekristalliserad kvarts och fältspater i utdragna aggregat. Dominerande kornstorlek 0,1-2 mm, en del upp till 3 mm, enstaka kom upp till 5 mm. Ursprunglig kornstorlek medelkornig.

Parallelorientering utgörs av mineralorientering (biotit, kvarts) och utdragna aggregat (kvarts, plagioklas, kalifältspat, biotit). Biotit ofta utdragen till tunna sträck längs kvartssträngar.

Överpräglad av senare, plastisk deformation (deformera kvarts, påverkade komfogar i kvarts, kloritomvandling av biotit). Komfogarna smärt pusslade och fliktiga.

Halten av mikroprickor bedöms vara medel.

Mikroskoperingssdata:

PFM000651A

6696712**1628665**

Mikroskopoperat av: ME, SL

Textur

Ojämnkornig

Slipets strykning:

2003-10-25

Antal punkter:

500

Slippta inverterad?

Kornstorlek i grundmassa från

Kornstorlek hos strokorn från

Strökkornshalt:

%

0,05 till

till

0,05 till

Relativ rörelse i strykningsriktningen:

Mineral

Halt

Sek?

Bildat av

Kommentar

Kvars	42,8	<input type="checkbox"/>		
Alkalifältspat	28,4	<input type="checkbox"/>		
Plagioklas	22	<input type="checkbox"/>		Sericitiserad/saussuritiseras. Varierar mellan dessa.
Biotit	4	<input type="checkbox"/>		Kloritiserad.
Klorit	1,2	<input checked="" type="checkbox"/>		Biotit
Epidot	0,8	<input type="checkbox"/>		
Prehnit	0,6	<input type="checkbox"/>		
Opakmineral, ospec.	0,2	<input type="checkbox"/>		Magnetit (en del kom är martitiserade), ilmenit, hämatit, pyrit.
Allanit		<input type="checkbox"/>	<input type="checkbox"/>	
Zirkon		<input type="checkbox"/>	<input type="checkbox"/>	
Apatit		<input type="checkbox"/>	<input type="checkbox"/>	
Kalcit		<input type="checkbox"/>	<input type="checkbox"/>	
Muskovit		<input type="checkbox"/>	<input type="checkbox"/>	

Allmän kommentar

Karakter är en metamorf djupbergart, tydligt deformerad. Heterogen mineral- och kornstorleksfördelning. Aggregat så utdragna att de på slippna nästan bildar band. Bergarten som helhet dock ej bandad. Rekristalliserad kvarts och fältspater, kornstorleksförändringar. Kornstorlek 0,05-2 mm, men kom i kvartssträngar upp till 5 mm, kvartssträngar >10 mm långa. Ursprunglig kornstorlek medelkornig.

Parallelorientering utgörs av mineralorientering (biotit, kvarts, till viss del plagioklas, kalfältspat) och utdragna aggregat (kvarts, plagioklas, kalfältspat, biotit, till viss del opak).

Överpräglad av senare, plastisk deformation (deformera kvarts, påverkade kornfogar i kvarts, kloritomvandling av biotit). Komfogarna i kvarts smatt pusslade.

Halten av mikrospickor bedöms vara hög.

Mikroskoperingssdata:

PFM000652A

669674 **1628614**

Mikroskopierat av: ME, SL

Bergart: Andesit

Relativ rörelse i strykningssriktningen:

Slipets strykning:	Slipets stupning:	Slippta inverterad?
2003-10-13	Antal punkter:	500
Kornstorlek i grundmassa från Kornstorlek hos strökkorn från	0,1 till	2 mm
Strökkornshalt:	till	mm
Relativ rörelse i stupningsriktningen:		

Textur	Jämnkönig
---------------	-----------

Mineral	Halt	Sek.?	Bildat av	Kommentar
Plagioklas	47,8	<input type="checkbox"/>		Sericitiserad/saussuritiseras.
Hornblände	31,8	<input type="checkbox"/>		
Biotit	11,6	<input type="checkbox"/>		En strimma klorit.
Kvarts	8,2	<input type="checkbox"/>		
Prehnit	0,2	<input type="checkbox"/>		
Apatit	0,2	<input type="checkbox"/>		
Opakmineral, ospec.	0,2	<input type="checkbox"/>		Euhedral pyrit, lite magnetit och spår av koppariks.
Allanit		<input type="checkbox"/>		
Zirkon		<input type="checkbox"/>		
Titanit		<input type="checkbox"/>		
Klorit		<input checked="" type="checkbox"/>	Biotit	

Allmän kommentar

Karakter av en normal amphibolit. Homogen mineralfördelning. Parallelorientering utgörs av mineralorientering (biotit, hornblände, till viss del kvarts, plagioklas) och utdragna aggregat (hornblände). Dominerande komstorie 0,1-0,5 mm i kvarts och plagioklas, hornblände och biotit upp till 1 mm, även upp till 2 mm. Ursprunglig komstorie ej synlig. Ungerårig Ah-halt i plagioklas = 27.

Överpräglad av senare, plastisk deformation - synlig i den lilla kvarts som finns (deformered kvarts, påverkade komfogari i kvarts) och i enstaka strimma kloritomvandling av biotit.

Mikrospinckor ej upptäckande i slipet.

Mikroskoperingssdata:
6698346 **1634362**
Mikroskopierat av: ME, SL

Bergart:	Granit	Kornstötek i grundmassa från Kornstötek hos strökörn från Strökörnshalt:	0,1 till % %	0,1 till % mm mm
Relativ förläse i strykningsriktningen:		Relativ förläse i stupningsriktningen:		

Relativ förläse i strykningsriktningen:

Mineral	Halt	Sek.?	Bildat av	Kommentar
Plagioklas	36,8	<input type="checkbox"/>		Sericitiserad/saussuritiserad
Kvarts	35,8	<input type="checkbox"/>		
Alkalifältspat	22	<input type="checkbox"/>		Kloritonvandlad.
Biotit	5,2	<input type="checkbox"/>		Liten mängd. Pyrit, kopparlös, Fe-hydroxid runt pyrit, ilmenit
Opakmineral, ospec.	0,2	<input type="checkbox"/>		
Allanit		<input type="checkbox"/>		
Prehnit		<input type="checkbox"/>		
Zirkon		<input type="checkbox"/>		
Apatit		<input type="checkbox"/>		
Titanit		<input type="checkbox"/>		
Epidot		<input type="checkbox"/>		
Klorit		<input checked="" type="checkbox"/>	Biotit	

Allmän kommentar

Karakter är en metamorf djupbergart med heterogen mineralfördelning, där kvarts och fältspater är kornstöleksförmingskade och rekristalliserade. Nuvarande kornstölek domineras av 0,1-1 mm, där kvarts och fältspater vanligen når upp till 2 mm, medan kvartskorn i enstaka fall når 3 mm. Ursprunglig kornstölekskade säkert medekornig, eventuellt grovkornig.

Parallelstruktur utgörs av mineralorientering (biotit, till viss del kvarts) och utdragna aggregat (kvarts, fältspater och biotit).

Överpräglad av senare, plastisk deformation (deformera kvarts, påverkade kornfogar, kloritomvandling av biotit). Kornfogar domineras av ojämna, men även rundade och smärtlikniga.

Hälften av mikrosprickor bedöms vara hög. Sprickor och kornfogar upptäcks nägot slags omvandling.

Mikroskopieringsdata:

6700419 16299690

卷之三

Mikroskopierat av: ME, SL

Bergart: Tonalit

Relativ rörelse i strykningssiktningen:

PFM000778A

100

۲۰

2003-0

mstorlek i

Textur	Ojämnkornig
Struktur	

Relativ rörelse i stupningsriktningen:

Mineral	Halt	Sek?	Bildat av	Kommentar
Plagioklas	48,8	<input type="checkbox"/>		
Kvarts	19,4	<input type="checkbox"/>		
Hornblände	14,6	<input type="checkbox"/>		
Biotit	13,2	<input type="checkbox"/>		Kloritomvandlad.
Epidot	1,6	<input type="checkbox"/>		
Alkalifältspat	1,2	<input type="checkbox"/>		
Opakmineral, ospec.	0,6	<input type="checkbox"/>		Magnetit, pyrit, spår av kopparkis.
Titanit	0,4	<input type="checkbox"/>		
Zirkon	0,2	<input type="checkbox"/>		
Prehnit		<input type="checkbox"/>		
Apatit		<input type="checkbox"/>		
Kalcit		<input type="checkbox"/>		
Klorit		<input checked="" type="checkbox"/>		

Allmän kommantar

Karakter År en metamorf djupbergart. Uppvisar utdragna aggregat av kvarts, fältspat, biotit och hornblände. Kvarts och fältspater är konstortleksförminskade och rekristalliserade. Nuvarande komstortlek domineras av 0,1-1 mm, hornblände är upp till 3 mm långa. Ursprunglig komstortlek säkerligen medelkompig.

Parallel struktur utgörs av mineralorientering (biotit, hornblände, kvarts, viss del plagioklas) och utdragna aggregat (kvarts, fältspater, biotit och hornblände).

Överträffad av senare plastisk deformation (deformered kvarts närvärkade komfonar kloritomvandling av biotit)

United by mutual recognition bodies were based on the basis of common law principles.

Mikroskoperingsdata:

PFM000782A

6701351**1628857**

Slipets strykning:

Mikroskopierat av: ME, SL

2003-08-06

Antal punkter:

500

Slipyta inverterad?

Bergart: **Kv.diorit**

Kornstörlek i grundmassa från

0,1 till

3 mm

Strökkornshalt:

till

mm

%

Relativ rörelse i strykningsriktningen:

Relativ rörelse i stupningsriktningen:

Textur	Ojämnnkornig
--------	--------------

Mineral	Halt	Sek.?	Bildat av	Kommentar
Plagioklas	60	<input type="checkbox"/>		Sericitiserad/saussuritisera, fläckvis mycket hög.
Hornblände	25,8	<input type="checkbox"/>		
Biotit	7,6	<input type="checkbox"/>		Kloritomvandlad, mycket prehnit i.
Kvarts	3,8	<input type="checkbox"/>		
Opakmineral, ospec.	1,2	<input type="checkbox"/>		Ilmenit, magnetit, pyrit, spår av kopparkis.
Prehnit	0,8	<input type="checkbox"/>		
Epidot	0,4	<input type="checkbox"/>		
Zirkon		<input type="checkbox"/>		
Apatit		<input type="checkbox"/>		
Kalcit		<input type="checkbox"/>		
Titanit		<input type="checkbox"/>		
Klorit		<input checked="" type="checkbox"/>		
Alkalifältspat			<input type="checkbox"/>	I spricka.

Allmän kommentar

Karakter av en metamorf diupbergart, där plagioklas och hornblände är kornstorleksförminskade och rekristalliserade. Nuvarande kornstorlek domineras av 0,1-1 mm, hornblände är upp till 3 mm långa. Ursprunglig kornstorlek säkert medelkornig, eventuellt grovkornig (stora aggregat).

Parallelstruktur utgörs av mineralorientering (biotit, hornblände) och utdragna aggregat (plagioklas, biotit och hornblände).

Överpräglad av senare, plastisk deformation (deformera kvarts, påverkade kornfogar, klorit(+ prehnit)-omvandling av biotit). Kvartsobservationerna bygger på få, små korn. Halten av mikrosprickor bedöms vara låg, men flera genomgående, lätta sprickor förekommer. Runt dessa är sericitomvandlingen hög. Kornfogar uppvisar ingen synlig omvandling.

Mikroskoperingssdata:

PFM000782B

6701351 1628857

Mikroskopierat av: SL

Textur

Jämnkönig

Slipets strykning:

2003-09-01

Slipets stupning:

Antal punkter:

0

Slipyta inverterad?

Bergart: **Dioritoid**

Kornstorlek i grundmassa från

Kornstorlek hos strökkorn från

Strökkornshalt: %

0,02 till

till

0,2 mm

mm

Struktur

Relativ rörelse i strykningssättningen:

Relativ rörelse i stupningsriktningen:

Mineral	Halt	Sek.?	Bildat av	Kommentar
Hornblände	<input type="checkbox"/>			
Zirkon	<input type="checkbox"/>			
Apatit	<input type="checkbox"/>			
Opakmineral, ospec.	<input type="checkbox"/>			
Biotit	<input type="checkbox"/>			
Plagioklas	<input type="checkbox"/>			Sericitiserad/saussuritiseras, runt sprickor mycket.
Kvarts	<input type="checkbox"/>			

Allmän kommentar

Ca 60 % plagioklas, ca 40 % hornblände. Metamorf bergart, där plagioklas och hornblände är kornstorleksförminskade och rekristalliserade. Biotit- och kvartshalt <1 %.
Ursprunglig kornstorlek säkert upp till 0,5 mm, med en del korn upp till 1 mm.

Parallelstruktur utgörs av mineralorientering (hornblände, till viss del plagioklas) och utdragna aggregat (hornblände).

Halten av mikrosprickor bedöms vara låg, men några genomsående, läktta sprickor förekommer.

Mikroskoperingssdata:

PFM000789A

6701885**1628291**

Mikroskopierat av: SL

Slypta inverterad?

Slipets strykning:

2003-09-01

Textur

Ojämnkornig

Kornstorlek i grundmassa från

Komstörlek hos strokorn från

Strökkornshalt:

%

7 mm

mm

0

Antal punkter:

0

Slipets stupning:

0

Slypta inverterad?

Textur

Ojämnkornig

Kornstorlek i grundmassa från

Komstörlek hos strokorn från

Strökkornshalt:

%

7 mm

mm

0

Antal punkter:

0

Slipets stupning:

0

Slypta inverterad?

Textur

Ojämnkornig

Bergart: **Diorit**

Relativ rörelse i strykningsriktningen:

Relativ rörelse i stupningsriktningen:

Mineral	Halt	Sek?	Bildat av	Kommentar
Granat	<input type="checkbox"/>	<input type="checkbox"/>	<input type="checkbox"/>	
Prehnit	<input type="checkbox"/>	<input type="checkbox"/>	<input type="checkbox"/>	
Zirkon	<input type="checkbox"/>	<input type="checkbox"/>	<input type="checkbox"/>	
Apatit	<input type="checkbox"/>	<input type="checkbox"/>	<input type="checkbox"/>	
Opakmineral, ospec.	<input type="checkbox"/>	<input type="checkbox"/>	<input type="checkbox"/>	Stora korn i grundmassa, små och många korn i stora hornbländekorn.
Hornblände	<input type="checkbox"/>	<input checked="" type="checkbox"/>	<input type="checkbox"/>	
Klorit	<input type="checkbox"/>	<input type="checkbox"/>	<input type="checkbox"/>	Biotitt
Biotit	<input type="checkbox"/>	<input type="checkbox"/>	<input type="checkbox"/>	Kloritomvandlad.
Plagioklas	<input type="checkbox"/>	<input type="checkbox"/>	<input type="checkbox"/>	Sericitiserad/saussuritiseras.
Kvarts	<input type="checkbox"/>	<input type="checkbox"/>	<input type="checkbox"/>	

Allmän kommentar

Karakter är en metamorf, basisk djupbergart, med heterogen mineralfördelning. Plagioklas, hornblände och kvarts är ca medel- till grovkornig. Nuvarande kornstorlek är ca medel- till grovkornig. Plagioklas upp till 2 mm, hornblände upp till 7 mm.

Parallelstruktur utgörs av mineralorientering (biotit, hornblände och opakmineral) och utdragna aggregat (plagioklas, biotit och hornblände). Foliation (sensu lato) svänger runt granaten men häller mycket sprickor och är uppåten i kanterna av kvarts och plagioklas.

Överpräglad av senare, plastisk deformation (deformera kvarts, påverkade komfogar, kloritomvandling). Kvartsobservationerna bygger på få, små korn.

Halten av mikrosprickor är svårbedömd, på grund av väldigt utvecklad spaltning i större korn, men är ändå bedömd till medel.

Mikroskoperingssdata:

PFM000825B

6701460 1628049

Mikroskopierat av: ME, SL

Bergart: **Kvartsdiorit**

Relativ rörelse i strykningsriktningen:

Mineral	Halt	Sek.?	Bildat av	Kommentar
Plagioklas	55,4	<input type="checkbox"/>		
Homblände	28	<input type="checkbox"/>		
Kvars	7	<input type="checkbox"/>		
Biotit	6,4	<input type="checkbox"/>		Kloriterad.
Epidot	1,6	<input type="checkbox"/>		
Titanit	1,2	<input type="checkbox"/>		
Zirkon	0,2	<input type="checkbox"/>		
Alkalifältspat	0,2	<input type="checkbox"/>		
Prehnit		<input type="checkbox"/>		
Apatit		<input type="checkbox"/>		
Opakmineral, ospec.		<input type="checkbox"/>		
Kalcit		<input type="checkbox"/>		
Klorit		<input checked="" type="checkbox"/>	Biotit	

Relativ rörelse i stupningsriktningen:

Textur	Ojämkornig
Slipets strykning:	Slipets stupning:
Antal punkter:	Slippta inverterad? <input type="checkbox"/>
Kornstorlek i grundmassa från Kornstorlek hos strökkorn från Strökkornshalt:	0,05 till till mm %
Struktur	

Allmän kommentar

Karakter är en deformerad, metamorf basisk eller intermedieär bergart. Heterogen mineral- och kornstorkefsfördelning.
Rekristalliserad plagioklas.

Dominerande kornstorlek 0,05-1 mm, hornblände upp till 5 mm långa. Ursprunglig kornstorlek fintkornig till fint medelkornig.
Parallelorientering utgörs av mineralorientering (biotit, hornblände, till viss del plagioklas och titanit) och utdragna aggregat (biotit, hornblände, plagioklas, kvarts och epidot).

Överpräglad av senare, plastisk deformation (deformera kvarts, påverkade komfogar i kvarts (fä kvartskorn), kloritomvandling av biotit).
Halten av mikrosprickor bedöms vara låg.

Mikroskoperingssdata:**6701460****PFM000825C****1628049**

Strykning:

Textur

Ojämnkornig

Mikroskopierat av: SL

Strykning:

Slipets

styrkningsriktningen:

Slipets styrkning:

0

Antal punkter:

0

Bergart:	Kvartsdiorit	Kornstorlek i grundmassa från Kornstorlek hos strokorn från Strökkornshalt:	0,1 till % %	2 mm mm
----------	--------------	---	--------------------	------------

Bergart: **Kvartsdiorit**

Relativ rörelse i strykningsriktningen:

Relativ rörelse i stupningsriktningen:

Mineral	Halt	Sek?	Bildat av	Kommentar
Prehnit	<input type="checkbox"/>			
Apatit	<input type="checkbox"/>			
Opakmineral, ospec.	<input type="checkbox"/>			
Hornblände	<input type="checkbox"/>			
Kalcit	<input type="checkbox"/>			
Titanit	<input type="checkbox"/>			
Epidot	<input type="checkbox"/>			
Klorit	<input type="checkbox"/>			
Biotit	<input checked="" type="checkbox"/>		Biotit	Kloritiseras. Biotiten innehåller mycket prehnit.
Plagioklas	<input type="checkbox"/>			Sericitiseras/saussuritiseras. Fläckvis medel.
Alkalifältspat	<input type="checkbox"/>			I ett fåtal, läktta mikrosprickor.
Kvarts	<input type="checkbox"/>			

Allmän kommentar

Karakter är en deformert, metamorf djupbergart. Dominerad av plagioklas och hornblände, även biotit. Fältbedömningen motsvarar sammansättningen. Heterogen mineralfördelning, rekristalliserad kvarts, plagioklas och hornblände, aggregat sà utdragna att de nästan bildar band. Dominerande kornstorlek för felsiska mineral 0,1-0,5 mm, ibland upp till 1 mm, dominerande kornstorlek för mafiska mineral 0,1-2 mm. Ursprunglig kornstorlek fint medelkornig.

Parallelorientering utgörs av mineralorientering (biotit, hornblände, till viss del plagioklas) och utdragna aggregat (biotit, hornblände, plagioklas, kvarts) samt resulterande mineralfördelning i sträck/band.

Överpräglad av senare, plastisk deformation (deformered kvarts, påverkade kornfogar i kvarts, kloritomvandling av biotit, tillväxt av prehnit).

Halten av mikrosprickor bedöms vara obefintlig till låg. 1 genomgående läkt spricka med epidot och kalcit.

Mikroskoperingssdata:**6700317****1628455**

Slipets strykning:

A

□

Mikroskopierat av: ME, SL

B

□

Bergart: Tonalit

C

□

Kornstorlek i grundmassa från

2003-11-12

D

□

Kornstorlek hos strökkorn från

0,05 till

E

□

Strökkornshalt: %

3 mm

F

□

mm

G

□

Relativ rörelse i strykningsriktningen:

H

□

Relativ rörelse i stupningsriktningen:

I

□

PFM000827A

Textur	Ojämkornig
--------	------------

Mineral	Halt	Sek.?	Bildat av	Kommentar.
Plagioklas	45	□		
Kvarts	26,2	□		Sericitiserad/saussuritiseras. Fläckkvis medel.
Biotit	11,2	□		Ej kloritiseras.
Hornblände	10	□		
Alkalifältspat	4,4	□		
Epidot	1,8	□		
Titanit	1	□		
Apatit	0,2	□		
Opakmineral, ospec.	0,2	□		Pyrit, Fe-hydroxider, kopparkis, zinkblände.
Allanit		□		
Prehnit		□		
Zirkon		□		

Allmän kommentar

Karakter är en deformeraad, metamorf djupbergart. Heterogen mineral- och kornstorleksfördelning. Rekristalliserad kvarts och fältspat, komstoneksförmingskod. Dominerande kornstorlek 0,05-0,5 mm i nermaid grundmassa, även vanligt med korn upp till 2-3 mm. Ursprunglig kornstorlek medellkornig. Pyrit omvandlad till Fe-hydroxider längs kanterna, en del korn helt omvandlade.

Parallelorientering utgörs av mineralorientering (biotit, hornblände, till viss del plagioklas, kvarts) och utdragna aggregat (biotit, hornblände, plagioklas, kvarts).

Överpräglad av senare, plastisk deformation (deformeraad kvarts, påverkade komfogar i kvarts). Kornfogarna i kvarts är smärt pusslade och tillsatta.

Halten av mikrosprickor bedöms vara låg.

Mikroskoperingssdata:

PFM000837A

6701852 1628963

Mikroskopierat av: ME, SL

Bergart: **Tonalit**

Relativ rörelse i strykningstryckningen:

Slipets strykning:	Slipets stupning:	Slippta inverterad?
2003-08-07	Antal punkter:	500
Kornstorlek i grundmassa från	0,05 till	2 mm
Kornstorlek hos strökkorn från	till	mm
Strökkornshalt:	%	

Relativ rörelse i strykningstryckningen:

Mineral	Halt	Sek.?	Bildat av	Kommentar
Plagioklas	53,4	<input type="checkbox"/>		Sericitiserad/saussuritiserasd
Kvarts	25	<input type="checkbox"/>		
Biotit	15,4	<input type="checkbox"/>		Kloritomvandlad.
Alkalifältspat	2,6	<input type="checkbox"/>		
Epidot	1,6	<input type="checkbox"/>		
Opakmineral, ospec.	1,2	<input type="checkbox"/>		Magnetit, lite pyrit.
Prehnit	0,4	<input type="checkbox"/>		
Titanit	0,4	<input type="checkbox"/>		
Allanit		<input type="checkbox"/>		
Zirkon		<input type="checkbox"/>		
Apatit		<input type="checkbox"/>		
Hornblände		<input type="checkbox"/>		
Klorit		<input checked="" type="checkbox"/>	Biotit	

Allmän kommentar

Karakter är en metamorf djupbergart, där kvarts och fältspater är kornstorleksförminskade och rekristalliserade. Nuvarande kornstorlek domineras av 0,05-0,3 mm, där kvarts och plagioklas vanligen når upp till 1 mm medan plagioklasen i enstaka fall nära 2 mm. Ursprunglig kornstorlek svår att avgöra, eventuellt fint medelkornig med större plagioklastkristaller. Bergarten kan ses som ojämnkornig om de få större kornen beaktas, men är i stort sett jämnkornig.

Parallelstruktur utgörs av mineralorientering (biotit, till viss del kvarts) och utdragna aggregat (kvarts, fältspater och biotit). Biotit uppträder som ett pressat nätför.

Överpräglad av senare, plastisk deformation (deformera kvarts, påverkade kornfogar, kloritomvandling av biotit). Raka kornfogar domineras. Även rundade, ojämna och smärt flikiga.

Halten av mikrosprickor bedöms vara låg.

Textur	Ojämnkornig
Jämnkornig	

Struktur

Relativ rörelse i stupningsriktningen:	
--	--

Mikroskoperingssdata:

PFM000837D

6701852**1628963**

Mikroskopierat av: SL

Bergart: Tonalit	Kornstorlek i grundmassa från Kornstorlek hos strokorn från Strökkornshalt:	Slipets strykning: Kornstorlek i grundmassa från Kornstorlek hos strokorn från Strökkornshalt:	Slipets stupning: 0,1 till till %	Antal punkter: 0	Slippta inverterad? <input type="checkbox"/>
Relativ rörelse i strykningsriktningen:					Textur Ojämnkornig

Relativ rörelse i stupningsriktningen:

Relativ rörelse i stupningsriktningen:

Mineral	Halt	Sek?	Bildat av	Kommentar
Prehnit	<input type="checkbox"/>			
Zirkon	<input type="checkbox"/>			
Apatit	<input type="checkbox"/>			
Opakmineral, ospec.	<input type="checkbox"/>			
Hornblände	<input type="checkbox"/>			
Titanit	<input type="checkbox"/>			
Epidot	<input type="checkbox"/>			
Klorit	<input checked="" type="checkbox"/>		Biotit	Kloritomvandlad.
Biotit	<input type="checkbox"/>			
Plagioklas	<input type="checkbox"/>			Sericitiserad/saussuritiserasd.
Kvars	<input type="checkbox"/>			

Allmän kommentar

Slipet visar kontakt mellan två bergarter; tonalit (beskriven ovan) och amfibolit. Bergarten är i fått bedömd som en tonalit-granodiorit, men eftersom kalifältspat saknas är sammansättningen tonalitisk.

Tonalit: Karaktär av en metamorf djupbergart med heterogen mineralfördelning, där kvarts och plagioklas är kornstorleksförminskade och rekristalliserade. Ursprunglig kornstorlek eventuellt medelkornig. Nuvarande kornstorlek domineras av 0,1-1 mm, kvarts och plagioklas upp till 3 mm. Hornblände > biotit.

Parallelstruktur utgörs av mineralorientering (biotit, hornblände, till viss del kvarts) och utdragna aggregat (kvarts, plagioklas, hornblände och biotit).

Amfibolit: Karaktär av en metamorf, basisk bergart, med homogen mineralfördelning. Bergarten är jämnkornig och plagioklas och hornblände är inte lika uppenbart komstoneksförminskade och rekristalliserade. Plagioklasen är nättigt sericitomvandlad. Ursprunglig kornstorlek säkert finkornig. Nuvarande kornstorlek är 0,1-0,5 mm. Hornblände > biotit.

Parallelstruktur utgörs av mineralorientering (biotit, hornblände, till viss del kvarts) och utdragna aggregat av kvarts och fältspat.

Båda: Överpräglad av senare, plastisk deformation (deformered kvarts, påverkade kornfogar, kloritomvandling). Kvartskornen i amfiboliten uppvisar samma grad av deformation.

Halten av mikrosprickor bedöms vara låg. I större korn finns sprickor, men få sådana korn. Omvandlingar i sprickor i kvarts.

Mikroskoperingssdata:

PFM000842A

6702060 1628886

Mikroskopierat av: ME, SL

Bergart: **Tonalit**

Relativ rörelse i strykningstryckningen:

Textur	Ojämkornig		
Slipets strykning:	Slipets stupning:	Slippta inverterad?	<input type="checkbox"/>
2003-08-08	Antal punkter:	500	
Kornstorlek i grundmassa från Kornstorlek hos strökkorn från Strökkornshalt:	0,1 till till %	2 mm mm	
Relativ rörelse i stupningsriktningen:			

Mineral	Halt	Sek.?	Bildat av	Kommentar
Plagioklas	46,6	<input type="checkbox"/>		
Kvarts	24,6	<input type="checkbox"/>		
Biotit	15	<input type="checkbox"/>		Kloritomvandlad.
Hornblände	10,6	<input type="checkbox"/>		
Epidot	1,8	<input type="checkbox"/>		
Titanit	1	<input type="checkbox"/>		
Prehnit	0,2	<input type="checkbox"/>	Biotit	
Klorit	0,2	<input checked="" type="checkbox"/>		
Zirkon		<input type="checkbox"/>		
Apatit		<input type="checkbox"/>		
Opakmineral, ospec.		<input type="checkbox"/>		Magnetit, pyrit

Allmän kommentar

Karakter är en metamorf djupbergart med heterogen mineralfördelning (fläckvis), där kvarts och plagioklas är komstorteksförminskade och rekristalliserade. Nuvarande kornstorlek domineras av 0,1-1 mm, medan hornblände är upp till 2 mm långa. Ursprunglig kornstorlek eventuellt fint medelkornig med större fältspatskorn.

Parallelstruktur utgörs av mineralorientering (biotit, hornblände och kvarts) och utdragna aggregat (kvarts, plagioklas, hornblände och biotit).

Överpräglad av senare, plastisk deformation (deformera kvarts, påverkade komfogar, kloritomvandling av biotit).

Halten av mikrosprickor bedöms vara låg.

Mikroskoperingssdata:

PFM000872A

669452 1629758

Mikroskopierat av: SL

Bergart: **Granitoid**

Relativ rörelse i strykningssrökningen:

Textur				Slippta inverterad? <input type="checkbox"/>
Textur	Ojämkkornig			
Slipets strykning:	Slipets stupning:	Slippta inverterad?		
2003-09-24	Antal punkter:	0		
Kornstorlek i grundmassa från	0,01 till	1 mm		
Kornstorlek hos strökkorn från	till	mm		
Strökkornshalt:	%			
Relativ rörelse i stupningsriktningen:	Relativ rörelse i stupningsriktningen:			
Mineral	Halt	Sek.?	Bildat av	Kommentar
Zirkon	<input type="checkbox"/>			
Opakmineral, ospec.	<input type="checkbox"/>			
Epidot	<input type="checkbox"/>			Biotit
Klorit	<input checked="" type="checkbox"/>			
Plagioklas	<input type="checkbox"/>			
Alkalifältspat	<input type="checkbox"/>			
Kvarts	<input type="checkbox"/>			

Allmän kommentar

Bedömd som granitisk till sammansättningen.

Mylonitiseras sträkväs. Parallelstruktur utgörs av så utdragna aggregat (kvarts, fältspat, klorit, epidot) att det i princip är en kompositionell bandning, samt av mineralorientering (klorit, kvarts, till viss del fältspat).

Flera lätta sprickor, 2 generationer, fyllda med nemald kvarts, fältspat, epidot, klorit och ev. är de stora kristalleerna i sprickorna skapolit. Halten av mikrosprickor bedöms vara medel.

Mikroskoperingssdata:

PFM001010A

6696151 **1628975**

Mikroskopierat av: ME, SL

Bergart: Amfibolit

Relativ rörelse i strykningssriktningen:

Slipets strykning:	Slipets stupning:	Slippta inverterad?
2003-10-13	Antal punkter:	500
Kornstorlek i grundmassa från	0,1 till	2 mm
Kornstorlek hos strökkorn från	till	mm
Strökkornshalt:	%	

Relativ rörelse i strykningssriktningen:

Mineral	Halt	Sek.?	Bildat av	Kommentar
Plagioklas	42,8	<input type="checkbox"/>		Sericitiserad/saussuritiseras.
Hornblände	40,6	<input type="checkbox"/>		
Biotit	9	<input type="checkbox"/>	Ej kloritiseras.	
Kvarts	6,4	<input type="checkbox"/>	Subkombsbildning lokalt medel.	
Apatit	0,6	<input type="checkbox"/>		
Opakmineral, ospec.	0,6	<input type="checkbox"/>	Pyrit, ilmenit, spår av koppariks, magnetiks.	
Allanit		<input type="checkbox"/>		Pyrit delvis omvandlad till Fe-hydroxider längs kanterna.
Prehnit		<input type="checkbox"/>		
Zirkon		<input type="checkbox"/>		
Kalcit		<input type="checkbox"/>		
Titanit		<input type="checkbox"/>		
Epidot		<input type="checkbox"/>		
Klorit		<input type="checkbox"/>	Spår	

Allmän kommentar

Karakter är en normal amfibolit/gabbro. Homogen mineralfördelning. Dominerande kornstorlek 0,1-1 mm, hornblände upp till 2 mm långa. Ursprunglig kornstorlek ev. fint medelkornig. Ungerärt An-halt i plagioklas = 46. QAP-bestämning kvartsdiorit, fältitnamn behållit ovan.

Parallelorientering utgörs av mineralorientering (biotit, hornblände, till viss del kvarts, en del plagioklas) och utdragna aggregat (hornblände).

Överpräglad av senare, plastisk deformation - synlig i den lilla kvarts som finns (deformera kvarts, påverkade komfogar i kvarts).

Mikrospinckor ej uppträdande i slipet.

Textur	Jämkkörning
--------	-------------

Struktur

Relativ rörelse i stupningsriktningen:

Mikroskopieringsdata:

PFM001102A

6701738

1635649

Strykning:

Slipets strykning:

2003-10-24

Antal punkter:

500

Slippta inverterad?

Mikroskopierat av: ME, SL

Bergart: **Tonalit**

Kornstorlek i grundmassa från

Komstörlek hos strokorn från

Strökkornshalt:

0,1 till

till

2 mm

mm

%

Relativ rörelse i strykningsriktningen:

Biotit

Hornblände

Epidot

Opakmineral, ospec.

Allanit

Zirkon

Apatit

Titanit

Klorit

Alkalifältspat

Biotit

Allmän kommentar

Karakter är en metamorf djupbergart. Penetrativt deformeras, men något ojämnt upptaggen - tendens till stråk med högre deformation. Tämligen homogen mineral- och kornstorleksfördelning. Något utdragna aggregat. Rekristalliserad kvarts och en del plagioklas, komstörlek förminskad. Ursprunglig komstörlek inte så mycket grövre än nuvarande, ev. fint medelkompig, men svårt att avgöra p.g.a. där med glimmerfattigare grundmassa. Formen på öarna markeras av utdragna glimmer runt om. Detta kan vara en relikt textur och spår av en tidigare komstörlek eller bara ett resultat av större biotitaggregat som dragits ut.

Parallelorientering utgörs av mineralorientering (biotit, kvarts, till stor del hornblände, till viss del plagioklas) och utdragna aggregat (kvarts, biotit, plagioklas, hornblände).

Överpräglad av senare, plastisk deformaton (deformerad kvarts, paverkade komfogar i kvarts, klonitomvändning av biotit). Komfogarna i kvarts mer komplexa ju större kvartskornen är.

Halten av mikrosprickor bedöms vara låg, men ett sprickparti på några mm parallellt med strukturen förekommer.

Textur	
Jämkomig	

Struktur	

Relativ rörelse i strykningsriktningen:

Mineral	Halt	Sek?	Bildat av	Kommentar
Plagioklas	51,6	<input type="checkbox"/>	Senicitiserad/saussuritiserad. Fläckvis hög.	
Kvars	18,2	<input type="checkbox"/>		
Biotit	17,6	<input type="checkbox"/>	Kloritiserad.	
Hornblände	11,6	<input type="checkbox"/>		
Epidot	0,8	<input type="checkbox"/>		
Opakmineral, ospec.	0,2	<input type="checkbox"/>	Finkornig ilmenit, pyrit, koppariks, magnetiks.	
Allanit		<input type="checkbox"/>		
Zirkon		<input type="checkbox"/>		
Apatit		<input type="checkbox"/>		
Titanit		<input type="checkbox"/>		
Klorit		<input checked="" type="checkbox"/>	Biotit	
Alkalifältspat		<input type="checkbox"/>		

Mikroskopningsdata:

PFM001106A

6701714 1635350

Mikroskopierat av: ME, SL

Bergart: **Granit**

Relativ rörelse i strykningstryckningen:

Slipets strykning:	Slipets stupning:	Slippta inverterad?
2003-10-24	Antal punkter:	500
Kornstorlek i grundmassa från Kornstorlek hos strökkorn från Strökkornshalt:	0,05 till till %	4 mm mm mm
Relativ rörelse i stupningsriktningen:	Relativ rörelse i stupningsriktningen:	

Mineral	Halt	Sek.?	Bildat av	Kommentar
Alkalifältspat	35,6	<input type="checkbox"/>		
Kvarts	35,2	<input type="checkbox"/>		
Plagioklas	26	<input type="checkbox"/>		Sericitiserad/saussuritiseras.
Biotit	2	<input type="checkbox"/>		Kloriterad. De flesta kom ser allmänt nedbrutna ut.
Opakmineral, ospec.	0,8	<input type="checkbox"/>		Magnetit, lite ilmenit, hämatit, pyrit.
Allanit	0,2	<input type="checkbox"/>		
Epidot	0,2	<input type="checkbox"/>		
Prehnit		<input type="checkbox"/>		
Zirkon		<input type="checkbox"/>		
Apatit		<input type="checkbox"/>		
Titanit		<input checked="" type="checkbox"/>	Biotit	
Klorit				

Allmän kommentar

Karakter är en deformeraad, metamorf djupbergart. Homogen fördelning av kvarts och fältspater, heterogen fördelning av biotit, tämligen homogen kornstorleksfördelning. Utdragna aggregat, glimmer i glesa strukturen. Rekristalliserad kvarts och fältspater, mycket glimmerfattig, kornstorleksförmindrad. Kvarts konvex in i fältspater. Dominerande kornstorlek 0,05-1 mm, en del korn upp till 2 mm, ett korn upp till 4 mm. Ursprunglig kornstorlek svar att bedöma. Om glimmerfördelningen markerar storleken på primära korn så var bergarten ev. medelkornig, men svårt att avgöra p.g.a. den låga glimmenhalten. Även om den primärt var finare, ev. fint medelkornig, ger nuvarande kornstorlek och textur ändå bilden av en kraftigt omkristalliserad bergart.

Parallelorientering utgörs av mineralorientering (biotit, till viss del kvarts och fältspater) och utdragna aggregat (kvarts och fältspater).

Överpräglad av senare, plastisk deformation (deformeraad kvarts, påverkade komfogar i kvarts, kloritomvandling av biotit). Mycket glimmeromvandling i komfogar.

Halten av mikrospickor bedöms vara medel.

Mikroskopningsdata:

6700020

1630033

Mikroskopierat av: SL

Slipets strykning:

2003-03-01

Textur

Ojämkornig

Bergart: **Tonalit**

Relativ rörelse i strykningsriktningen:

Kornstorlek i grundmassa från

Kornstorlek hos strökkorn från

Strökkornshalt: %

Antal punkter: 500

Slipets stupning: 0,05 till

1 mm till mm

Slipyta inverterad?

Struktur

Relativ rörelse i stupningsriktningen:

Mineral

Halt

Sek.?

Bildat av

Kommentar

Plagioklas	44,8	<input type="checkbox"/>		Sericitiserad/saussuritiserad, fläckvis mycket hög.
Hornblände	18,4	<input type="checkbox"/>		
Kvars	13,6	<input type="checkbox"/>		
Klorit	9,4	<input checked="" type="checkbox"/>	Biotit	
Epidot	7,2	<input type="checkbox"/>		
Alkalifältspat	2,8	<input type="checkbox"/>		
Titanit	2	<input type="checkbox"/>		
Prehnit	0,6	<input type="checkbox"/>		
Biotit	0,4	<input type="checkbox"/>		Kloritomvandlad.
Allanit	0,2	<input type="checkbox"/>		
Apatit	0,2	<input type="checkbox"/>		
Kalcit	0,2	<input type="checkbox"/>		
Muskovit	0,2	<input type="checkbox"/>		
Zirkon		<input type="checkbox"/>		
Opakmineral, ospec.		<input type="checkbox"/>		

Allmän kommentar

Karakter: Metamorf, deformerad djupbergart. Bi/klorit går runt de ursprungliga koren (nu aggregat). Kvarts och plagioklas kornförmäntska och rekristallisera, kvarts utvärldas till strängar/ädror där den förekommer både som jämkornigt kornförmänt med tämligen lugna fogar samt även starkt undulos kvarts med flätiga fogar och subkombusbildning. Dominerande kornstorlek 0,05-0,5 mm, även upp till 1 mm, hornblände vanligen upp till 1 mm. Ursprunglig komstörlek ca medelkornig.

Parallelstruktur utgörs av mineralorientering (biotit/klorit, hornblände, epidot) och kompositionell variation/ädror och utdragna aggregat (kvarts, fältspat).

Överpräglad av senare plastisk deformation (deformerad kvarts, påverkade kornfogar, kloritomvandling av biotit).
Halten av mikrosprickor bedöms vara låg.

Mikroskoperingssdata:

PFM001158A

6699645**163099**

Mikroskopat av: SL

2003-02-13

Slipets strykning:

500

Slipets stupning:

 Slippta inverterad?Kornstorlek
hos strökom
från
Strökomshalt:

%

Antal punkter:

0,1 till
till
mmKornstorlek i grundmassa från
%3 mm
mm

Relativ rörelse i stupningsriktningen:

Relativ rörelse i stupningsriktningen:

Relativ rörelse i strykningens riktningen:

		Textur
		Ojämnnkönig

Mineral	Halt	Sek.?	Bildat av	Kommentar
Plagioklas	43,8	<input type="checkbox"/>		Sericitiserad/saussuritiseras.
Hornblände	43	<input type="checkbox"/>		
Biotit	4,6	<input type="checkbox"/>		Kloritomvandlad.
Opakmineral, ospec.	3,6	<input type="checkbox"/>		
Kvarts	2,2	<input type="checkbox"/>		
Apatit	1,6	<input type="checkbox"/>	Biotit	
Klorit	1	<input checked="" type="checkbox"/>	Biotit	
Prehnit	0,2	<input type="checkbox"/>		
Zirkon		<input type="checkbox"/>		
Kalcit		<input type="checkbox"/>		
Epidot		<input type="checkbox"/>		
Muskovit		<input type="checkbox"/>		Små korn i plagioklas.

Allmän kommentar

Karakter: Metamorf, deformerad djupbergart. Heterogen mineral- och kornstorleksfördelning; stora, glesa aggregat. Kvarts, plagioklas och hornblände omkristalliserad. Dominerande kornstorlek för kvarts och plagioklas 0,5-1 mm, även från 0,1 mm, hornblände och plagioklasaggregaten upp till 2-3 mm. Ursprunglig kornstorlek grövre, uppmäts av hornbländedekommens storlek och plagioklasaggregaten. An-halt ca 38-46 % (andesin).

Parallelstruktur utgörs av mineralorientering (biotit), utdragna aggregat (hornblände). Kvarts och plagioklas massformigt uppträdande.

Överpräglad av senare, plastisk deformation (deformera kvarts, påverkade kornfogar, kloritomvandling av biotit). Kornfogar och intern deformation i kvarts är bedömda på få, små korn.

Hälften av mikrosprickor bedöms vara generellt låg, men fläckvis medel. Hornblände svårbedömd då den innehåller så mycket spaltning, men ren sprickor är dock noterade.

Mikroskopningsdata:

6700636 **1632568**

Mikroskopierat av: JA, SL

Bergart: **Granit**

PFM001160A

Slipets strykning:	Slipets stupning:	Slipyta inverterad?
2002-07-13	Antal punkter:	1000
Kornstorlek i grundmassa från Kornstorlek hos strökkorn från Strötkornshalt:	0,1 till till %	1 mm mm %

Relativ rörelse i strykningssirrkänningen:

Relativ rörelse i stupningsriktningen:

Mineral	Halt	Sek.?	Bildat av	Kommentar
Kvarts	44,4	<input type="checkbox"/>		
Alkalifältspat	27,7	<input type="checkbox"/>		
Plagioklas	25,4	<input type="checkbox"/>		Sericitiserad/saussuritiseras.
Epidot	0,7	<input type="checkbox"/>		
Zirkon	0,6	<input type="checkbox"/>		Kloritomvandlad.
Biotitt	0,6	<input type="checkbox"/>		Nedbruten till klorit.
Opakmineral, ospec.	0,3	<input type="checkbox"/>		
Hornblände	0,1	<input type="checkbox"/>		Både från biotit och hornblände.
Titanit	0,1	<input type="checkbox"/>		
Klorit	0,1	<input checked="" type="checkbox"/>		
Allanit		<input type="checkbox"/>		

Allmän kommentar

Karakter: Metamorf bergart. Homogen mineralfördelning av felsiska mineral. Rekristalliserad kvarts och fältspat. Dominerande kornstorlek 0,1-0,5 mm, även upp till 1 mm. Mycket låg halt av mafiska mineral, och de som finns ser både nedbrutna och omvandlade ut (ofta associerade med opakmineral och Fe-hydroxider). Kvartskontakter mot plagioklas och kalifältspat konvexa (m.a.o. runda kvartskorn). Om den glesa fördeleningen av mafiska mineral markerar storleken på primära kom sà var bergratten ev. medelkornig, men svårt att avgöra p.g.a. den låga halten. Även om den primärt var finare, ev. fint medelkornig, ger nuvarande kornstorlek i princip omöjlig att avgöra.

Parallelstruktur knapp detekterbar i slip, men uppträder i stoff som glesa, tunna strimmar av mörka mineral samt avlånga färgskifflningar.

Överpräglad av senare plastisk deformation (deformera kvarts, påverkade kornfogar, kloritomvandling av biotit).

Halten av mikrosprickor bedöms vara varierande; låg, men fläckvis medel. Komfogar och sprickor till viss del med opakmineral och Fe-hydroxider, vilket gör att bergratten ser mer sprickrik ut.

Mikroskoperingssdata:**6700618****PFM001161A****1632616**

Strykning:

Slipets strykning:

Mikroskopoperat av: SL

Slipets stupning:

2003-02-12

Antal punkter:

500

Slippta inverterad?

Bergart: **Granodiorit**

Komstorlek i grundmassa från

Komstorlek hos strokorn från

Strötkornshalt:

%

Relativ rörelse i stupningsriktningen:

Relativ rörelse i strykningsriktningen:

Mineral	Halt	Sek?	Bildat av	Kommentar
Plagioklas	48,4	<input type="checkbox"/>		Sericitiserad/saussuritiserasd. Lokalt medel.
Kvars	30	<input type="checkbox"/>		
Alkalifältspat	13,2	<input type="checkbox"/>		
Biotit	4,6	<input type="checkbox"/>		Kloritomvandlad. Lokalt mätligt.
Epidot	2,4	<input type="checkbox"/>		
Allanit	0,4	<input type="checkbox"/>		
Titanit	0,4	<input type="checkbox"/>		
Prehnit	0,2	<input type="checkbox"/>		
Hornblände	0,2	<input type="checkbox"/>	Biotit	
Klorit	0,2	<input checked="" type="checkbox"/>		
Zirkon		<input type="checkbox"/>		
Apatit		<input type="checkbox"/>		
Opakmineral, ospec.		<input type="checkbox"/>		
Kalcit		<input type="checkbox"/>		

Allmän kommentar

Karakter: Metamorf bergart. Heterogen mineralfördelning i större aggregat. Kvarts och fältspat komförminskad och rekristalliserasd. Ursprungligen ca fint medelkornig.

Slipet är taget vinkelrätt mot lineationen, varför kornen i slip uppträder massformigt.

Överpräglad av senare plastisk deformation (deformeras kvarts, påverkade komfogar, kloritomvandling av biotit).

Halten av mikrosprickor bedöms vara medel. Komfogar och sprickor till viss del med Fe-hydroxider.

Mikroskopningsdata:

PFM001172A

6698784 **1632974**
Mikroskopierat av: SL

Bergart: **Tonalit**

Slipets strykning:

2003-09-02

Textur

Ojämkornig

Slipets stupning:

0

Slipyta inverterad?

Antal punkter:

0

Struktur

Kornstorlek i grundmassa från
Kornstorlek hos strökkorn från
Strökkornshalt: %0,05 till
till5 mm
mm

Relativ rörelse i strykningens riktning:

Relativ rörelse i stupningsriktningen:

Mineral	Halt	Sek.?	Bildat av	Kommentar
Prehnit	<input type="checkbox"/>			I granit.
Zirkon	<input type="checkbox"/>			
Apatit	<input type="checkbox"/>			I amfibolit
Opakmineral, ospec.	<input type="checkbox"/>			
Hornblände	<input type="checkbox"/>			
Titanit	<input type="checkbox"/>			
Epidot	<input type="checkbox"/>			
Biotit	<input type="checkbox"/>			
Plagioklas	<input type="checkbox"/>			Sericitiserad/saussuritiseras.
Kvarts	<input type="checkbox"/>			

Allmän kommentar

Slipet visar kontakt mellan två bergarter; tonalit och amfibolit. Huvudbergarten är i sin helhet i fält bedömd som en granit, men eftersom kalifältspat saknas i slipet är sammansättningen tonalitisk.

Tonalit: Karaktär av en deformerad, metamorf djupbergart med heterogen mineralfördelning, där kvarts och plagioklas är kornstorleksförminskade och rekristallisrade.

Kornstorlek 0,05-5 mm. Ursprunglig kornstorlek eventuellt medekornig.

Parallelstruktur utgörs av mineralorientering (biotit, plagioklas, kvarts) och utdragna aggregat (kvarts, plagioklas och biotit).

Överpräglad av senare, plastisk deformation (deformera kvarts, påverkade komfogar). Komfogarna är raka-rundade i små korn och flikiga-pusslade i stora.

Halten av mikrospår bedöms vara medel, flera sprickor ser ut att vara orsakade av tillverkning. Mycket omvandlingar i komfogarna.

Amfibolit: Karaktär av en, relativt granitoiden yngre, metamof, basisisk bergart; biotit är välkristalliserad och ej helt parallelorienterad, hornblände något parallellorienterad. Ej utdragna aggregat. Plagioklasen är mättigt sericitomvandlad. Kornstorlek 0,1-1 mm. Ursprunglig kornstorlek säkert finkornig.

Parallelstruktur utgörs av mineralorientering (till viss del i biotit, möjliga hornblände).

Överpräglad av senare, plastisk deformation (deformera kvarts, påverkade komfogar). Kvartskornen i amfiboliten uppvisar samma grad av deformation som i tonaliten.
Halten av mikrospår bedöms vara låg.

Mikroskoperingssdata:**6694745****PFM001204A****1634443**

Strykning:

Slipets strykning:

ME, SL

2003-08-11

Antal punkter:

Slipets stupning:

500

Textur

Ojämnkornig

Mikroskopierat av: ME, SL

Bergart: **Gabbro**

Struktur

Kornstorlek i grundmassa från

Kornstorlek hos strokorn från

Strökkornshalt:

Relativ rörelse i strykningens riktning:

%
%

Relativ rörelse i stupningsriktningen:

Mineral	Halt	Sek?	Bildat av	Kommentar
Plagioklas	50,8	<input type="checkbox"/>		Sericitiserad/saussuritiseraserad
Amfibol	42,8	<input checked="" type="checkbox"/>	Pyroxen	
Ortopyroxen	3,2	<input type="checkbox"/>		
Talk	1,6	<input type="checkbox"/>		I sprickor.
Okänt mineral	0,8	<input type="checkbox"/>		Omvandlingsmineral. I sprickor.
Klinopyroxen	0,6	<input type="checkbox"/>		
Opakmineral, ospes.	0,2	<input type="checkbox"/>		Kopparkis, ilmenit, pyrit och magnetit.
Klorit		<input type="checkbox"/>		
Flogopit		<input type="checkbox"/>		

Allmän kommentar

Heterogen. Karaktär av en metamorf djupbergart med heterogen mineralfördelning.

Halten av mikrosprickor är svårbedömd, på grund av mineralkornens grad av nedbrytning av kom i väl utvecklad spatltring, men är ändå bedömd till hög.

Mikroskopieringsdata:

PFM001214B

6701054 1630656

Slipets strykning:

B

Mikroskopierat av: SL

Slipets stupning:

2003-09-02

Antal punkter:

0

Textur

Ojäminkornig

Bergart: **Granit**

Kornstorlek i grundmassa från

Kornstorlek hos störkorn från

Strökkornshalt:

%

Relativ rörelse i strykningsriktningen:
Relativ rörelse i stupningsriktningen:

Mineral	Halt	Sek.?	Bildat av	Kommentar
Okänt mineral	<input type="checkbox"/>	<input type="checkbox"/>		I sprickagång. I nedbrutna korn.
Allanit	<input type="checkbox"/>	<input type="checkbox"/>		
Zirkon	<input type="checkbox"/>	<input type="checkbox"/>		
Opakmineral, ospec.	<input type="checkbox"/>	<input type="checkbox"/>		
Titanit	<input type="checkbox"/>	<input type="checkbox"/>		
Epidot	<input type="checkbox"/>	<input checked="" type="checkbox"/>	Okänt mineral	
Klorit	<input type="checkbox"/>	<input type="checkbox"/>		
Plagioklas	<input type="checkbox"/>	<input type="checkbox"/>		Sericitiserad/saussunitiserad.
Alkalifältspat	<input type="checkbox"/>	<input type="checkbox"/>		
Kvarts	<input type="checkbox"/>	<input type="checkbox"/>		

Allmän kommentar

Karakter av en metamorf djupbergart med heterogen mineralfördelning, där kvarts och fältspater är kornstorleksförminskade och rekristalliserade. Dominerande kornstorlek 0,1-1 mm, kvarts och fältspat upp till 2 mm. Ursprunglig kornstorlek eventuellt medelkornig. Nedbrutna mineral innehåller klorit, epidot, okänt mineral och opakmineral, där halten av opakmineral varierar mellan 10 och 90 %.

Parallelstruktur utgörs av mineralorientering (till viss del kvarts och klorit/nedbrutet mineral) och utdragna aggregat (kvarts och fältspat).

Överpräglad av senare, plastisk deformation (deformered kvarts, påverkade kornfogar, kloritomvandling/nedbrytning).

Halten av mikrosprickor bedöms vara låg. Mycket omvandlingar i kornfogar.

Bergarten genomsätts av oregelbundet uppträdande ådro/sprickfyllnader/band. Innehållet är mycket omvandlat och utgörs av plagioklaslister (ca 0,1 mm), opakmineral och järnpigmentering. Kanske kalfältspat i.

Mikroskoperingssdata:**6701194****1629974**

PFM001216B

Mikroskopierat av: SL

Mikroskopierat av: SL

Slipets strykning:

2003-09-04

Slipets stupning:

0

Antal punkter:

0

Slippta inverterad?

Textur
Jämnkornig

Struktur

Relativ rörelse i strykningsriktningen:

Relativ rörelse i stupningsriktningen:

Mineral	Halt	Sek.?	Bildat av	Kommentar
Allanit	<input type="checkbox"/>	<input type="checkbox"/>	<input type="checkbox"/>	
Prehnit	<input type="checkbox"/>	<input type="checkbox"/>	<input type="checkbox"/>	
Zirkon	<input type="checkbox"/>	<input type="checkbox"/>	<input type="checkbox"/>	
Apatit	<input type="checkbox"/>	<input type="checkbox"/>	<input type="checkbox"/>	
Opakmineral, ospec.	<input type="checkbox"/>	<input type="checkbox"/>	<input type="checkbox"/>	
Titanit	<input type="checkbox"/>	<input type="checkbox"/>	<input type="checkbox"/>	
Epidot	<input type="checkbox"/>	<input type="checkbox"/>	<input checked="" type="checkbox"/>	
Klorit	<input type="checkbox"/>	<input type="checkbox"/>	<input type="checkbox"/>	Kloritomyndlad, fläckvis medel.
Biotit	<input type="checkbox"/>	<input type="checkbox"/>	<input type="checkbox"/>	Sericitiserad/saussuritiseras.
Plagioklas	<input type="checkbox"/>	<input type="checkbox"/>	<input type="checkbox"/>	
Alkalifältspat	<input type="checkbox"/>	<input type="checkbox"/>	<input type="checkbox"/>	
Kvarts	<input type="checkbox"/>	<input type="checkbox"/>	<input type="checkbox"/>	

Allmän kommentar

Karakter av en deformerad, metamorf djupbergart, där kvarts, stälvis kalfältspat och i enstaka fall plagioklas uppvissar tecken på att vara komstorleksförminskade och rekristalliserade. Även om aggregaten är utdragna är bergarten tämligen homogen. Ursprunglig komstorlek eventuellt upp till 1 mm, d.v.s. finkornig. Mängden kalfältspat klassar den i spannet tonalit-granodiorit.

Parallelstruktur utgörs av mineralorientering (biotit, till viss del kvarts och fältspater) och utdragna aggregat (kvarts och fältspater).

Överpråglad av senare, plastisk deformation (deformera kvarts, påverkade komfogar, kloritomvandling).

Halten av mikrosprickor bedöms vara låg. Omvandlingar i sprickor.

Mikroskopatingsdata:

PFM001224B

6701560 **1631547**
Mikroskopierat av: ME, SL

Bergart: Tonalit

Relativ rörelse i strykningstryckningen:

Slipets strykning:	Slipets stupning:	Slippta inverterad?
2003-08-07	Antal punkter:	500
Kornstorlek i grundmassa från Kornstorlek hos strökkorn från Strökkornshalt:	0,1 till till %	2 mm mm
Relativ rörelse i stupningsriktningen:		

Textur

Ojämkornig

Mineral	Halt	Sek.?	Bildat av	Kommentar
Plagioklas	59,2	<input type="checkbox"/>		
Kvarts	35,2	<input type="checkbox"/>		Accessorisk förekomst av aventurin.
Biotit	4,8	<input type="checkbox"/>		Kloritomvandlad.
Alkalifältspat	0,8	<input type="checkbox"/>		Lite rester i plagioklas.
Muskovit		<input type="checkbox"/>		Enstaka kom i biotit.
Zirkon		<input type="checkbox"/>		
Opakmineral, ospec.		<input type="checkbox"/>		Ilmenit, magnetit i biotit.
Titanit		<input type="checkbox"/>		
Epidot		<input type="checkbox"/>		
Klorit		<input checked="" type="checkbox"/>	Biotit	

Allmän kommentar

Karakter är en metamorf djupbergart med heterogen mineralfördelning, där kvarts och fältspater är kornstorleksförminskade och rekristalliserade. Biotit uppträder i glesa band. Nuvarande kornstorlek domineras av 0,1-0,5 mm, där kvarts och plagioklas i ådror och partier uppvisar 0,5-2 mm. Ursprunglig kornstorlek eventuellt medelkornig.

Parallelstruktur utgörs av mineralorientering (biotit, till viss del kvarts), fördelning av biotit och utdragna aggregat (kvarts, fältspater).

Överpräglad av senare, plastisk deformation (deformera kvarts, påverkade komfogar, kloritomvandling av biotit). Komfogar varierande, men ojämna, fluktiga, pusslade komfogar domineras.

Halten av mikrosprickor bedöms vara låg. Genomgående är det omväxlingar i komfogar och sprickor.

Mikroskopieringsdata:

PFM001226A

6700351

1630652

Slipets strykning:

2003-09-04

Slipets strykning:

2003-09-04

Textur

Ojämnkornig

Mikroskopierat av: Sl.

Bergart: **Tonalit**

Kornstorlek i grundmassa från

Kornstorlek hos stötkorn från

Strökkornshalt:

Relativ rörelse i strykningssirklinningen:

%

Relativ rörelse i stupningsriktningen:

mm

mm

Antal punkter:

0

Slippta inverterad?

Kornstorlek

Slipets stupning:

0

0.05 till

0.5 mm

till

0.5 mm

till

0.5 mm

%

Struktur

Mineral	Halt	Sek.?	Bildat av	Kommentar
Allanit	<input type="checkbox"/>			
Prehnit	<input type="checkbox"/>		<input type="checkbox"/>	
Zirkon	<input type="checkbox"/>		<input type="checkbox"/>	
Opakmineral, ospec.	<input type="checkbox"/>		<input type="checkbox"/>	
Hornblände	<input type="checkbox"/>		<input type="checkbox"/>	Åts upp av biotit (i tonaliten).
Titanit	<input type="checkbox"/>		<input type="checkbox"/>	
Epidot	<input type="checkbox"/>		<input type="checkbox"/>	
Klorit	<input type="checkbox"/>		<input checked="" type="checkbox"/>	
Biotit	<input type="checkbox"/>		<input type="checkbox"/>	Biotit
Plagioklas	<input type="checkbox"/>		<input type="checkbox"/>	Kloritomvandlad, enstaka strimma.
Alkalifältspat	<input type="checkbox"/>		<input type="checkbox"/>	Sericitiserad/saussuritiseraserad.
Kvarts	<input type="checkbox"/>		<input type="checkbox"/>	Små rester mellan korn, knappt något alls.

Allmän kommentar

Slipet visar kontakt mellan två bergarter; tonalit och amfibolit (endast ett fåtal mm i slipets kant). Huvudbergarten är i sin helhet i fåt bedömd som en granit, men eftersom kalifältspat finns i mycket små mängder i slipet är sammansättningen tonalitisk.

Tonalit: Karaktär av en metamorf djupbergart med heterogen mineralfördelning, där kvarts och sannolikt plagioklas är mycket kornstorleksförminskade och rekristalliseraade. Ursprunglig kornstorlek säkert medelkornig.

Parallelstruktur utgörs av mineralorientering (biotit) och utdragna aggregat (kvarts, plagioklas och biotit).

Överpräglad av senare, plastisk deformation (deformered kvarts, påverkade komfogar).

Halten av mikrospickor bedöms vara låg. Genomgående är det omvälvningar i komfogarna.

Amfibolit: Finkornig (0.1-1.5 mm), domineras av plagioklas och hornblände, även accessorisika mängder av epidot, titanit, kalcit, apatit samt kalifältspat som sprickflyttad.

Homogen mineralfördelning, jämnkornig.

Parallelstruktur utgörs av mineralorientering (hornblände). Mellan tonalit och amfibolit finns en omvändlingszon (av amfibolit) med nedbruten hornblände och mycket kalcit och epidot.

Mikroskoperingssdata:

PFM001229B

6701410 1631833

Mikroskopierat av: ME, SL

Bergart: **Tonalit**

Relativ rörelse i strykningstryckningen:

Textur	Ojämkornig
Slipets strykning:	Slipets stupning:
2003-08-07	Antal punkter:
Kornstorlek i grundmassa från	0,1 till
Kornstorlek hos strökkorn från	2 mm
Strökkornshalt:	till
%	mm
Relativ rörelse i stupningsriktningen:	Relativ rörelse i stupningsriktningen:

Mineral	Halt	Sek.?	Bildat av	Kommentar
Plagioklas	63,8	<input type="checkbox"/>		
Kvarts	34,4	<input type="checkbox"/>		
Biotit	0,8	<input type="checkbox"/>		Kloritomvandlad.
Titanit	0,6	<input type="checkbox"/>		
Okänt mineral	0,2	<input type="checkbox"/>		Isotropi
Alkalifältspat	0,2	<input type="checkbox"/>		
Zirkon		<input type="checkbox"/>		Opakfaser nästan helt frånvarande.
Opakmineral, ospc.		<input type="checkbox"/>		
Kaicit		<input type="checkbox"/>		
Epidot		<input type="checkbox"/>		Biotit
Klorit		<input checked="" type="checkbox"/>		
Muskovit		<input type="checkbox"/>		

Allmän kommentar

Karakter är en metamorf djupbergart med heterogen mineralfördelning, där kvarts och fältspater är kornstorleksförminskade och rekristalliserade. Nuvanande kornstorlek domineras av 0,1-0,5 mm i finare massor, 0,1-2 mm i ädror och aggregat. Ursprunglig kornstorlek svårbedömd, eventuellt medelkornig. Plagioklasens sammansättning är An12-28; oligoklas.

Parallelstruktur utgörs av mineralorientering (biotit, kvarts) och utdragna aggregat (kvarts, plagioklas och biotit). Biotit uppträder i glesa parallella sträck.

Överpräglad av senare, plastisk deformation (deformerad kvarts, påverkade komfogar, kloritomvandling av biotit).

Halten av mikrosprickor bedöms vara medel. Genomgående är det omvandlingar i kornfogar.

Mikroskoperingssdata:**6701079****PFM001243B****1632094**

Mikroskopierat av: ME, SL

Bergart: **Granit**

Slipets strykning:	<input type="checkbox"/>
Slipets stupning:	<input type="checkbox"/>
Antal punkter:	500
Kornstorlek i grundmassa från:	0,1
Kornstorlek hos strokorn från:	till
Strökkornshalt:	5 mm
Relativ rörelse i strykningsriktningen:	%

Textur
Ojämnkornig Porfyrisk

Struktur

Relativ rörelse i stupningsriktningen:

Mineral**Halt****Sek.?****Bildat av**

Mineral	Halt	Sek.?	Bildat av	Kommentar
Alkalifältspat	33,6	<input type="checkbox"/>		
Plagioklas	31,8	<input type="checkbox"/>		Sericitserad/saussuritiseras
Kvarts	29,2	<input type="checkbox"/>		Myrmekit
Biotit	5,2	<input type="checkbox"/>		Kloritomvandlad.
Opakmineral, ospec.	0,2	<input type="checkbox"/>		Hämätit, Fe-hydroxider från omvandlad pyrit, magnetit, spår av pyrit.
Allanit		<input type="checkbox"/>		
Prehnit		<input type="checkbox"/>		
Zirkon		<input type="checkbox"/>		
Apatit		<input type="checkbox"/>		
Titanit		<input type="checkbox"/>		
Epidot		<input type="checkbox"/>		
Klorit		<input checked="" type="checkbox"/>	Biotit	
Muskovit		<input type="checkbox"/>		

Allmän kommentar

Karakterär av en metamorf, svagt deformered granit. Något rekristalliserad kvarts och till viss del fältspat. Inga uppenbart utdragna aggregat. Det finns tendens till mineralorientering (biotit) och tendens till parallellorientering (aggregat av kvarts, fältspater och biotit).

Överpräglad av senare, plastisk deformation (deformered kvarts, påverkade komfogar, kloritomvandling av biotit). Halten av mikrospickor bedöms vara hög. Genomgående är det mycket omvandlingar i komfogar och sprickor.

Mikroskoperingssdata:

		PFM001246A		
6701198	1632025	Slipets strykning:	Slipets stupning:	Slippta inverterad?
Mikroskopierat av:	SL	2003-09-04	Antal punkter:	<input type="checkbox"/>
Bergart:	Paragnejs	Kornstorlek i grundmassa från Kornstorlek hos strökkorn från Strökkornshalt:	0,05 till till %	0 3 mm mm
Relativ rörelse i strykningsriktningen:		Relativ rörelse i stupningsriktningen:		

Mineral	Halt	Sek.?	Bildat av	Kommentar
Zirkon	<input type="checkbox"/>			Många
Opakmineral, ospec.	<input type="checkbox"/>			
Klorit	<input type="checkbox"/>			Enstaka korn, ursprung okänt.
Muskovit	<input type="checkbox"/>			Stora korn, växer med och tvärs över biotit.
Biotit	<input type="checkbox"/>			
Plagioklas	<input type="checkbox"/>			Sericitiserad/saussuritiseras.
Alkalifältspat	<input type="checkbox"/>			Knappt något alls.
Kvars	<input type="checkbox"/>			

Allmän kommentar

Gnejsig, ådrad bergart, med heterogen mineralfördelning. Ren biotit, lika stora muskovitkorn. Kornstorleksförminskad och rekristalliserad kvarts och plagioklas. Dominerande kornstorlek 0,05-1 mm, många korn upp till 3 mm, totalt en liten medekornig bergart. Ursprunglig kornstorlek kan möjligen resoneras fram; bergetten är nu kornförminskad, som dessförinnan åderförgrnejsades och altså förgrovades, som ursprungligen sålunda kan ha varit mycket finkornig till finkornig.

Parallelstruktur utgörs av mineralorientering (biotit, muskovit, till viss del kvarts och plagioklas) och utdragna aggregat (kvarts, plagioklas och biotit).

Överpräglad av senare, plastisk deformation (deformered kvarts, påverkade kornfogar).

Halten av mikrosprickor bedöms vara låg. Genomgående är det omvandlingar i kornfogarna.

Textur	Ojämnkornig
Struktur	Veckad

Mikroskoperingssdata:

PFM001252A

670095

1630303

Strykning:

Slipets strykning:

2003-09-24

Antal punkter:

Mikroskopat av: SL

Ojämnkornig

Bergart: **Tonalit-granodiorit**

Textur

Kornstorlek i grundmassa från
Kornstorlek hos strokorn från
Strökkornshalt: %

Relativ rörelse i strykningsriktningen:

Relativ rörelse i stupningsriktningen:

Mineral	Halt	Sek?	Bildat av	Kommentar
Alkalifältspat	<input type="checkbox"/>			
Prehnit	<input type="checkbox"/>	<input type="checkbox"/>	<input type="checkbox"/>	
Zirkon	<input type="checkbox"/>	<input type="checkbox"/>	<input type="checkbox"/>	
Apatit	<input type="checkbox"/>	<input type="checkbox"/>	<input type="checkbox"/>	
Opakmineral, ospec.	<input type="checkbox"/>	<input type="checkbox"/>	<input type="checkbox"/>	
Hornblände	<input type="checkbox"/>	<input type="checkbox"/>	<input type="checkbox"/>	Liten mängd.
Kalcit	<input type="checkbox"/>	<input type="checkbox"/>	<input type="checkbox"/>	
Titanit	<input type="checkbox"/>	<input type="checkbox"/>	<input type="checkbox"/>	
Epidot	<input type="checkbox"/>	<input type="checkbox"/>	<input checked="" type="checkbox"/>	
Klorit	<input type="checkbox"/>	<input type="checkbox"/>	<input type="checkbox"/>	
Biotit	<input type="checkbox"/>	<input type="checkbox"/>	<input type="checkbox"/>	Kloritorvmvandlad, enstaka strimmor.
Plagioklas	<input type="checkbox"/>	<input type="checkbox"/>	<input type="checkbox"/>	
Kvarts	<input type="checkbox"/>	<input type="checkbox"/>	<input type="checkbox"/>	

Allmän kommentar

Bergarten är i sin helhet i fält bedömd som en granit, men eftersom kalifältspathalten i slipet är låg är sammansättningen troligen tonalitisk, ev. granodioritisk.

Kornstorlek: 0,05-0,5 mm i finare band, 0,05-1 mm i grövre. Parallelstruktur utgörs av mineralorientering (kvarts, till viss del plagioklas, biotit, hornblände) och av mycket utdragna aggregat (kvarts, biotit, plagioklas och små hornblände) som bildar kompositionella band. Även tendens till mikromylonitiska sträck längs glijplan med biotit. Ev. finns ädtror av kvarts och fältspat.

Halten av mikrosprickor bedöms vara låg.

Mikroskopieringsdata: P

6700043 1630212
Mikroskoperat av: SL

PPFM001256A

2003-09-

Kornstorlek i gr
Bergart: **Tonalit**

Kornstorlek hos
Strökörnshalt:

Relativ rörelse i strykningsriktningen:

Mineral	Halt	Sek.?	Bildat av	Kommentar
Allanit	<input type="checkbox"/>	<input type="checkbox"/>		
Zirkon	<input type="checkbox"/>	<input type="checkbox"/>		
Apatit	<input type="checkbox"/>	<input type="checkbox"/>		
Opakmineral, ospec.	<input type="checkbox"/>	<input type="checkbox"/>		
Hornblände	<input type="checkbox"/>	<input type="checkbox"/>		
Titanit	<input type="checkbox"/>	<input type="checkbox"/>		
Epidot	<input type="checkbox"/>	<input checked="" type="checkbox"/>	Biotit	
Klorit	<input type="checkbox"/>	<input type="checkbox"/>		Kloritomvandlad.
Biotit	<input type="checkbox"/>	<input type="checkbox"/>		Sencitiserad/saussuri
Plagioklas	<input type="checkbox"/>	<input type="checkbox"/>		Liten mängd.
Alkalifältspat	<input type="checkbox"/>	<input type="checkbox"/>		
Kwarts	<input type="checkbox"/>	<input type="checkbox"/>		

Allmän kommentar

Slipet visar kontakt mellan två bergarter; tonalit och amfibolit. Huvudbergarten är i fält bedömd som en tonalit-granodiorit, men eftersom kalifälspat finns i mycket små mängder är sammansättningen tonalitisk.

Tonalt: Karaktärsärmer i metamorf djupbergart med heterogen mineralfördelning (homogen i större skala), där kvarts och plagioklas är komstorleksförminskade och rekristalliserade. Dominerande komstorlek 0,05–1,5 mm, med enstaka kom upp till 2 mm. Ursprunglig komstorlek fint medelkornig, eventuellt medelkornig. Starkt pressad och utdragen biotitt i parallella, tunna stråk visar glidytor och skjutplan genom hela slippet.

Parallelstruktur utgörs av mineralorientering (blott, horisontal, till viss del kvarts och plagioklas), utdragna aggregat (kvarts, plagioklas och blöt) samt av glidytor.

Överpräglad av senare, plastisk deformation (deformerad kvarts, påverkade komfogar, klorit

Hälften av mikrosnrickor bedärms varav medel Genomgående är det omvandlincar i korrfocarna

Amphibolite, Finlayson (0.1–1.5 mm) dominated by garnet, hornblende, biotite, kyanite, monazite, and ilmenite.

Mikroskoperingssdata:

PFM001529A

6700167

1626524

Mikroskoprat av: SL

Bergart: **Granit**

Slipets strykning:	Slipets stupning:	Slippta inverterad?
2003-09-04	Antal punkter:	<input type="checkbox"/>
Kornstorlek i grundmassa från	0.02 till	0
Kornstorlek hos strökom från	till	3 mm
Strökomshalt:	%	mm

Relativ rörelse i strykningsriktningen:

Relativ rörelse i stupningsriktningen:

Mineral	Halt	Sek.?	Bildat av	Kommentar
Allanit	<input type="checkbox"/>			
Prehnit	<input type="checkbox"/>			
Zirkon	<input type="checkbox"/>			
Opakmineral, ospec.	<input type="checkbox"/>			
Kalcit	<input type="checkbox"/>			
Epidot	<input type="checkbox"/>			
Klorit	<input checked="" type="checkbox"/>		Biotitt	
Muskovit	<input type="checkbox"/>			Kloritonvandlad.
Biotit	<input type="checkbox"/>			Sericitiserad/saussuritiserad.
Plagioklas	<input type="checkbox"/>			
Alkalifältspat	<input type="checkbox"/>			
Kvarts	<input type="checkbox"/>			

Allmän kommentar

Karakter är en metamorf djupbergart med heterogen mineralfördelning (troligen homogen i större skala), där kvarts och fältspater är komstonleksförminskade och rekristalliserade. Aggregat mycket utdragna. Dominerande kornstorlek 0,02-2 mm, med enstaka korn upp till 3 mm. Ursprunglig kornstorlek fint medelkornig, eventuellt medelkornig. Deformation heterogent upptagen. Biotit uppträder både orgeleibundet och pressad och pressad och glidytor. Biotiten är ofta eländiga rör av kloritonvandling, prehnit, överväxt epidot och muskovit samt inklusioner av opakmineral.

Parallelstruktur utgörs av mineralorientering (biotit, muskovit, till viss del kvarts och kalifältspat och ibland plagioklas), utdragna aggregat (kvarts, fältspater och biotit) samt av glidytor.

Överpräglad av senare, plastisk deformation (deformad kvarts, påverkade komfogar, kloritonvandling).

Halten av mikrospickor bedöms vara medel. Genomgående är det mycket omvandlingar i komfogarna.

Mikroskopatingsdata:

PFM001539A

6700164 1626885

Mikroskopierat av: SL

Slipets strykning:

2003-09-04

Textur

Ojämkornig

Bergart: **Granit**

Slipets stupning:

0

Slippta inverterad?

Relativ rörelse i strykningsriktningen:

Antal punkter:

0

Struktur

Kornstorlek i grundmassa från

Kornstorlek hos strökkorn från

Strökkornshalt: %

0,01 till

till

1,5 mm

mm

Relativ rörelse i stupningsriktningen:

Mineral**Halt****Sek.?****Bildat av****Kommentar**

Allanit



Prehnit



Zirkon



Apatit



Opakmineral, ospec.



Kalcit



Epidot



Klorit



Muskovit



Biotit



Plagioklas



Alkalifältspat



Kvarts

**Allmän kommentar**

Karakter är en metamorf djupbergart med heterogen mineralfördelning (trögen homogen i större skala), där kvarts och fältspater är komstörleksförminska och rekristalliserade. Dominerande kornstorlek 0,01–1 mm, med enskilda korn upp till 1,5 mm. Ursprunglig kornstorlek fint medelkornig. Deformation heterogen upptagen.

Skjuplaner i glidytor på ca 1 mm mellanrum med mikromylonitband bevarade. Kvartsaggregat däremellan relativt odeformerade. Muskovit uppträder i glidytorna. Tendens i biotiten och i viss mängd aggregaten till två foliationsriktningar, men kan vara en effekt av vindlande foliation och glidytorna som förstärker mineralorientering i ena ledden. Muskovit och epidot växer över biotit.

Parallelstruktur utgörs av mineralorientering (biotit, muskovit, till viss del kvarts och kalifältspat och ibland plagioklas), utdragna aggregat (kvarts, fältspater, muskovit och biotit) samt av glidytor.

Överpräglad av senare, plastisk deformation (deformerad kvarts, påverkade kornfogar, kloritomvandling). Kornfogarna i mylonitsträken mycket komplexa. Halten av mikrosprikor bedöms vara låg. Det är vanligt med omvandlingar i kornfogarna.

Mikroskoperingssdata:

PFM001573A

6700739**1627891**

Mikroskopierat av: ME, SL

Strykning:

2003-11-11

Slipets

strykning:

Textur

Ojämnkornig

Bergart: **Tonalit**

Slipets stupning:

500

Strykta inverterad?

Relativ rörelse i strykningsriktningen:

Struktur

Relativ rörelse i stupningsriktningen:

Mineral	Halt	Sek.?	Bildat av	Kommentar
Plagioklas	46,6	<input type="checkbox"/>		
Kvars	23,2	<input type="checkbox"/>		Sericitiserad/saussuritiseras. Låg domineras, fläckvis medel, runt spricka hög.
Homblände	12	<input type="checkbox"/>		
Biotit	9,6	<input type="checkbox"/>		Kloritiseras. Sträkväs hög.
Epidot	3,8	<input type="checkbox"/>		
Alkalifältspat	3,6	<input type="checkbox"/>		
Titanit	1,2	<input type="checkbox"/>		
Allanit		<input type="checkbox"/>		
Prehnit		<input type="checkbox"/>		
Zirkon		<input type="checkbox"/>		
Apatit		<input type="checkbox"/>		
Opakmineral, ospec.		<input type="checkbox"/>		
Kalcit		<input checked="" type="checkbox"/>	Biotit	
Klorit				

Allmän kommentar

Karakter är en deformeraad, metamorf djupbergart. Heterogen mineral- och kornstorleksfördelning. Rekristalliserad kvarts och fältspat, kornstorleksstörningar. Dominerande kornstorlek 0,05-0,5 mm i nemalid grundmassa, även vanligt med korn upp till 1 mm, enstaka korn upp till 2-3 mm. Ursprunglig kornstorlek medelkornig.

Parallelorientering utgörs av mineralorientering (biotit, homblände, till viss del plagioklas, kvarts) och utdragna aggregat (biotit, homblände, plagioklas, kvarts).

Överpräglad av senare, plastisk deformation (deformeraad kvarts, påverkade komfogar i kvarts, kloritomvandling av biotit). Kornfogarna i kvarts är smått pusslade och tirkiga.

Halten av mikrosprickor bedöms vara låg, med en genomgående epidot- och kloritläkt spricka.

Textur		
Ojämnkornig		

Mikroskopieringsdata:

PFM001579A

6700726 1627702

Slipets strykning:

Slipets inverterad?

Mikroskopierat av: ME, SL

2003-08-08

Antal punkter: 500

Bergart: **Kvartsdiorit**

Kornstorlek i grundmassa från

Kornstorlek hos störkorn från

Strökkornshalt: %

1 till

till

2 mm

mm

Relativ rörelse i strykningensriktningen:

Relativ rörelse i stupningsriktningen:

Textur	Jämpkorrig
---------------	------------

Mineral	Halt	Sek.?	Bildat av	Kommentar
Plagioklas	54,4	<input type="checkbox"/>		Sericitiserad/saussuritiseras
Hornblände	24,6	<input type="checkbox"/>		
Biotit	12,2	<input type="checkbox"/>		Kloritomvandlad.
Kwarts	7,8	<input type="checkbox"/>		
Opakmineral, ospec.	0,6	<input type="checkbox"/>		Ilmenit, pyrit, magnetit, hammatit, kopparkis, Fe-hydroxider runt pyrit.
Zirkon	0,2	<input type="checkbox"/>		
Epidot	0,2	<input type="checkbox"/>		
Prehnit		<input type="checkbox"/>		
Apatit		<input type="checkbox"/>		
Titanit		<input type="checkbox"/>		
Klorit		<input checked="" type="checkbox"/>	Biotit	

Allmän kommentar

Karakter är en tydligt deformeras, metamorf djupbergart, där plagioklas, biotit och hornblände är kornstorleksförminskade och rekristalliserade. På detta skala uppträder mineralien heterogen fördelade. Nuvanande kornstorlek domineras av 0,1-1 mm, hornblände och biotit är upp till 2 mm långa. Ursprunglig kornstorlek säkert fint medelkornig, eventuellt medelkornig. Plagioklasen varierar mellan oligoklas och andesin.

Parallelstruktur utgörs av mineralfördelning och mineralorientering (biotit, hornblände) och undragna aggregat (plagioklas, biotit och hornblände). Aggregaten är så utdragna att de bildar flera mm långt band, men termen kompositionellt handad kärns inte motiverad för berättaren som helhet.

Överpräglad av senare, plastisk deformation (deformeras kvarts, påverkade kornfogar, kloritomvändning av biotit). Kvartsobservationerna bygger på få, små korn. Kornfogarna ej ämna och smått flätiga.

Halten av mikrosprickor bedöms vara låg.

Mikroskoperingssdata:**6700671** **1627710**

Mikroskopoperat av: ME, SL

Bergart: **Granodiorit**

Slipets strykning:	Slipets stupning:	Slippta inverterad?
2003-08-08	Antal punkter:	500
Kornstorlek i grundmassa från Kornstorlek hos strokorn från Strökkornshalt:	0,02 till till %	3 mm mm
Struktur		

Relativ rörelse i strykningsriktningen:

Mineral	Halt	Sek?	Bildat av	Kommentar
Plagioklas	37,2	<input type="checkbox"/>		
Kvars	36	<input type="checkbox"/>		Sericitiserad/saussuritiseras, fläckvis tämligen hög.
Alkalifältspat	16,6	<input type="checkbox"/>		
Biotit	9,2	<input type="checkbox"/>		Kloritomvandlad.
Epidot	0,4	<input type="checkbox"/>		
Opakmineral, ospec.	0,2	<input type="checkbox"/>		Magnetit, pyrit med Fe-hydroxider längs kanterna.
Kalcit	0,2	<input type="checkbox"/>		
Titanit	0,2	<input type="checkbox"/>		
Allanit		<input type="checkbox"/>		
Prehnit		<input type="checkbox"/>		
Zirkon		<input type="checkbox"/>		
Apatit		<input type="checkbox"/>		
Klorit		<input checked="" type="checkbox"/>	Biotit	
Muskovit			<input type="checkbox"/>	

Allmän kommentar

Karakter är en tydligt defomerad, metamorf djupbergart med heterogen mineralfördelning, där kvarts och fältspater är kornstorleksförminskade och rekristalliserade. Nuvarande kornstorlek domineras av 0,02-1 mm, och kvarts och fältspater når upp till 2-3 mm. Ursprunglig kornstorlek eventuellt medelkornig.

Parallelstruktur utgörs av mineralfördelning, mineralorientering (biotit) och utdragna aggregat (kvarts, fältspater och biotit).

Överpräglad av senare, plastisk deformation (defomerad kvarts, påverkade kornfogar, kloritomvandling av biotit). Kornfogar är smärt; ojämna, rundade och flikiga.

Halten av mikrosprickor bedöms vara medel. Genomgående är det mycket omvälvningar i kornfogar och sprickor.

Mikroskopningsdata:

PFM001627A

6700274 **1633187**
Mikroskopierat av: ME, SL

Bergart: **Tonalit**

Slipets strykning:

2003-10-23

Slipets stupning:

Antal punkter: 500

Slipyta inverterad?

Kornstorlek i grundmassa från
Kornstorlek hos strökkorn från
Strökkornshalt: %

Kornstorlek i grundmassa från

0,05 till 1,5 mm

till mm

Relativ rörelse i strykningsriktningen:

Relativ rörelse i stupningsriktningen:

Mineral

Halt

Sek.?

Bildat av

Kommentar

Plagioklas

58,2

Sericitserad/saussuritiserad.

Kvarts

35,2

Alkalifältspat

4

Hämmatit (martitisrad), markasit, magnetit, pyrit, spår av magnetkis.

Opakmineral, ospec.

1,8

Epidot

0,8

Allanit

Zirkon

Apatit

Titanit

Klorit

Biotit

Biotit

Kloritiserad.

Allmän kommentar

Karakter av metamorf bergart, extremt glimmerfattig. Homogen mineralfördelning av kvarts, fältspat; heterogen mineralfördelning av biotit, titanit, opak. Rekristalliserad kvarts och fältspater. Ursprunglig kornstorlek inte möjlig att avgöra i slip; motsvarar nuvarande kornstorlek den primära eller är den metamorf mycket förändrad? Om den glesa parallellstrukturen indikerar en tidigare textur och kornstorlek bör bergarten ursprungligen ha varit medelkornig-grovkornig, och därmed kraftigt rekristalliserad.

Svagt utvecklad (men kanske ursprungligen stark) parallelstruktur av mycket glest fördelad och otydligt avgränsad mineralfördelning, sericitomvandling samt enstaka korn av glimmer, titanit, opakmineral. Parallelorientering utgörs också av en viss mineralorientering (kvarts) och utdragna aggregat (kvarts, plagioklas, opakmineral, titanit och glimmer).

Överpräglad av senare, plastisk deformation (deformera kvarts, påverkade kornfogar i kvarts, kloritomvandling av biotit).
Halten av mikrospickor bedöms vara medel, lokalt hög. Vanligt med omvandling i kornfogar och mikrospickor - glimmer, opakminera, Fe-hydroxider, epidot, kvarts (?), klofit.

Textur	Jämnkönig
---------------	-----------

Struktur	
-----------------	--

Mikroskoperingssdata:

PFM001635A

6702146**1629682**

Mikroskopoperat av: ME, SL

Textur

Ojämnkornig

Slipets strykning:

2003-10-24

Slipets stupning:

500

Slippta inverterad?

Bergart: **Granit**

Komstörlek i grundmassa från

Komstörlek hos strokorn från

Strökkornshalt: %

0,05 till

till

3 mm

mm

Struktur

Relativ rörelse i strykningsriktningen:

Relativ rörelse i stupningsriktningen:

Mineral	Halt	Sek?	Bildat av	Kommentar
Plagioklas	39	<input type="checkbox"/>		Sericitiserad/saussuritiseras. Vanerande.
Kvars	32,8	<input type="checkbox"/>		
Alkalifältspat	21,2	<input type="checkbox"/>		
Biotit	5,8	<input type="checkbox"/>		Kloritiserad.
Opakmineral, ospec.	0,6	<input type="checkbox"/>		Magnetit, pyrit (1 kom).
Epidot	0,4	<input type="checkbox"/>		
Titanit	0,2	<input type="checkbox"/>		
Allanit		<input type="checkbox"/>		
Prehnit		<input type="checkbox"/>		
Zirkon		<input type="checkbox"/>		
Apatit		<input type="checkbox"/>		
Hornblände		<input type="checkbox"/>		
Kalcit		<input checked="" type="checkbox"/>	Biotit	
Klorit		<input checked="" type="checkbox"/>	Biotit	

Allmän kommentar

Karakter är en deformera, metamorf djupbergart. Heterogen mineralfördelning och komstörleksfördelning. Komstörleksförminska, rekristalliserad kvars, fältspat. Stora, utdragna aggregat. Dominerande komstörlek 0,05-1 mm, även kom upp till 2 mm, enstaka kom av kvars upp till 3 mm. Ursprunglig komstörlek medelkornig, eventuellt med större kom. Bergarten mitt på gräns mellan granit och granodiorit.

Parallelorientering utgörs av mineralorientering (biotit, till viss del kvars och fältspat) och utdragna aggregat (biotit, kvars, fältspat).

Överpräglad av senare, plastisk deformation (deformera kvars, påverkade komfogar i kvars, kloritomvandling av biotit).

Halten av mikrosprickor bedöms vara medel, men ojämnt fördelade.

Mikroskopningsdata:

6702627 1629913

Mikroskopierat av: ME, SL

Bergart: **Tonalit**

Relativ rörelse i strykningstryckningen:

PFM001636A

Slipets strykning:

2003-10-23

Slipets stupning:

Kornstorlek i grundmassa från

Kornstorlek hos strökkorn från

Strökkornshalt: %

Relativ rörelse i stupningsriktningen:

Textur

Jämnkörning

Mineral	Halt	Sek.?	Bildat av	Kommentar
Plagioklas	55	<input type="checkbox"/>		
Kvarts	37,2	<input type="checkbox"/>		Sericitiserad/saussuritiseras. Mattigt domineras, sträkvist medel.
Alkalifältspat	5,2	<input type="checkbox"/>		
Titanit	0,8	<input type="checkbox"/>		
Klorit	0,6	<input checked="" type="checkbox"/>	Biotit	
Allanit	0,4	<input type="checkbox"/>		
Opakmineral, ospec.	0,4	<input type="checkbox"/>		Magnetit (lätt martitiserad), mindre mängd hämatit, spår av pyrit.
Epidot	0,2	<input type="checkbox"/>		
Biotit	0,2	<input type="checkbox"/>		Kloritiserad.
Zirkon		<input type="checkbox"/>		
Apattit		<input type="checkbox"/>		

Allmän kommentar

Karakter av en deformierad, metamorf bergart, glimmerfattig. Tämligen homogen mineralfördelning, men mycket utdragna, komstörleksförminskade, rekristalliserade aggregat. Dominerande kornstorlek 0,1-1 mm, enstaka korn upp till 1,5 mm. Ursprunglig komstörlek svarbedömd, fint medelkörning (m.a.p. sammanhållna kvarts- eller fältspatsaggregat) eller medelkörning (m.a.p. storsstrukturen). Bergarten nära gräns mot granodiorit.

Parallelorientering utgörs av mineralorientering (till viss del kvarts och plagioklas) och utdragna aggregat (kvarts, fältspat, opak/titanit/klorit)).

Överpräglad av senare, plastisk deformation (deformierad kvarts, påverkade komfogar i kvarts, kloritomvandling av biotit). Mycket omvandling kring titanit. Mikrosprickor med Fe-hydroxid.

Halten av mikrosprickor bedöms vara medel.

Slipets stupning:	Slipets stupning:
Antal punkter:	500
Kornstorlek i grundmassa från	0,1 till
Kornstorlek hos strökkorn från	1,5 mm
Strökkornshalt: %	mm

Struktur

Relativ rörelse i stupningsriktningen:	Relativ rörelse i stupningsriktningen:
--	--

Mikroskoperingssdata:

PFM001650A

6703456**1630782**

Mikroskopierat av: SL

Bergart: **Dacit**

Relativ rörelse i strykningsriktningen:

Slipets strykning:	<input type="checkbox"/>
Slipets stupning:	<input type="checkbox"/>
Antal punkter:	0
Kornstorlek i grundmassa från	0,1 till
Kornstorlek hos strokorn från	3 mm
Strökkornshalt:	%

Struktur

Relativ rörelse i stupningsriktningen:

Mineral	Halt	Sek?	Bildat av	Kommentar
Granat	<input type="checkbox"/>			Små, enstaka.
Prehnit	<input type="checkbox"/>			
Zirkon	<input type="checkbox"/>			
Apatit	<input type="checkbox"/>			
Opakmineral, ospec.	<input type="checkbox"/>			
Titanit	<input type="checkbox"/>			
Epidot	<input type="checkbox"/>			
Klorit	<input checked="" type="checkbox"/>		Biotit	
Muskovit	<input type="checkbox"/>			
Biotit	<input type="checkbox"/>			Kloritiserasad.
Plagioklas	<input type="checkbox"/>			Sericiterasad/saussuritiserasad.
Kvarts	<input type="checkbox"/>			

Allmän kommentar

Karakter är en metamorf, deformerad ytbergart. Fältbedömningen motsvarar sammansättningen. Bandad med variationer i biotit-/muskovitfördelning, kornstorleksfördelning av felsiska mineral samt kornstorleksfördelning av glimmer. Rekristalliserad kvarts och plagioklas. Bergarten är förhållandevis jämnkornig med stora kvartskorn och långa glimmerkorn. Dominerande kornstorlek varierar mellan 0,1-0,3 och 0,1-0,5 mm, glimmer upp till 1 mm, kvarts kan nå upp till 3 mm. Ursprunglig kornstorlek svår att bedöma.

Parallelorientering utgörs av mineralorientering (biotit, muskovit) och utdragna aggregat (biotit, muskovit, kvarts, plagioklas) och bandvis mineralfördelning.

Överpräglad av senare, plastisk deformation (deformerad kvarts, påverkade komfogari kvarts, kloritomvandling av biotit). Komfogarna smått flätiga, smärt püsslade, lokalt raka-rundade.

Halten av mikrosprickor bedöms vara obefintlig till låg.

Mikroskopningsdata:**PFM001874A****669594****1634933****Slipets strykning:**

Mikroskopierat av: ME, SL

2003-11-11

Slipets stupning:**Bergart: Tonalit**

Antal punkter:

Slipyta inverterad? **Kornstorlek i grundmassa från**

500

Kornstorlek hos strökkorn från

0,1 till

Strökkornshalt:5mm
mm**Relativ rörelse i strykningens riktning:****Relativ rörelse i stupningsriktningen:****Relativ rörelse i stupningsriktningen:****Textur****Ojämkornig**

Mineral	Halt	Sek.?	Bildat av	Kommentar
Plagioklas	52,4	<input type="checkbox"/>		
Kvarts	19,2	<input type="checkbox"/>		
Hornblände	16	<input type="checkbox"/>		
Klorit	9,8	<input checked="" type="checkbox"/>	Biotit	
Alkalifältspat	1,4	<input type="checkbox"/>		
Titanit	1	<input type="checkbox"/>		
Epidot	0,2	<input type="checkbox"/>		
Prehnit		<input type="checkbox"/>		
Zirkon		<input type="checkbox"/>		
Apatit		<input type="checkbox"/>		
Opakmineral, ospec.		<input type="checkbox"/>		Pyrit, kopparkis.
Biotit		<input type="checkbox"/>		Kloritterad. 100 %.

Allmän kommentar

Karakter är en deformeraad, metamorf djupbergart. Heterogen mineral- och kornstorleksfördelning. Rekristalliserad kvarts och fältspat, kornstorleksförmånskad. Dominerande kornstorlek 0,1-0,5 mm, hornblände upp till 2 mm, kvarts upp till 5 mm långa. Ursprunglig kornstorlek medelkornig.

Parallelorientering utgörs av mineralorientering (biotit, hornblände, titanit, till viss del plagioklas, kvarts) och utdragna aggregat (biotit, hornblände, plagioklas, kvarts).

Överpräglad av senare, plastisk deformation (deformeraad kvarts, påverkade komfogar i kvarts, kloritomvandling av biotit). Lågmättlig subkombinsbildning dominrar, låg i stora korn (undulosa).

Halten av mikrosprickor var aldrig högre i större korn.

Mikroskoperingssdata:

PFM001906A

6704232

1631955

Mikroskopoperat av: ME, SL

Bergart: **Tonalit**

Slipets strykning:	Slipets stupning:	Slippta inverterad?
2003-10-14	Antal punkter:	500
Kornstorlek i grundmassa från Kornstorlek hos strokorn från Strökkornshalt:	0,1 till till %	3 mm mm
Struktur		

Relativ rörelse i strykningsriktningen:

Mineral	Halt	Sek?	Bildat av	Kommentar
Plagioklas	48	<input type="checkbox"/>		Sericitiserad/saussuritiseras. Fläckvis hög.
Hornblände	23,8	<input type="checkbox"/>		
Kvarts	16,4	<input type="checkbox"/>		
Biotit	10,8	<input type="checkbox"/>		Enstaka strimma klorit.
Opakmineral, ospec.	0,4	<input type="checkbox"/>		Ilmenit omgiven av titanit, lite pyrit, spår av koppariks, Fe-hydroxider.
Titanit	0,4	<input type="checkbox"/>		Runt opakmineral.
Epidot	0,2	<input type="checkbox"/>		
Prehnit		<input type="checkbox"/>		
Zirkon		<input type="checkbox"/>		
Apatit		<input type="checkbox"/>		
Klorit		<input checked="" type="checkbox"/>	Biotit	

Allmän kommentar

Karakter av en metamorf djupbergart. Heterogen mineralfördelning, rekristalliserad kvarts, plagioklas och hornblände i utdragna aggregat. Mycket rekristalliserad. Dominerande kornstorlek 0,1-1 mm, hornblände upp till 1,5-2 mm, enstaka plagioklaser upp till 3 mm. Ursprunglig kornstorlek medeldjup. Dominerande kornstorlek grovkornig, ev. grovkornig. Ungerätlig An-halt plagioklas = 40.

Parallelorientering utgörs av mineralorientering (biotit, hornblände) och utdragna aggregat (biotit, kvarts, plagioklas, biotit). Överpräglad av senare, plastisk deformation (deformera kvarts, påverkade kornfogar i kvarts). Kornfogarna lokalt smärt pusslade. Halten av mikrosprickor bedöms vara medel.

Mikroskopningsdata:

PFM001908A

6704814 1631052

Mikroskopierat av: ME, SL

Bergart: **Dacit**

Relativ rörelse i strykningssrichtningen:

Slipets strykning:	Slipets stupning:	Slipyta inverterad?
2003-10-14	Antal punkter:	500
Kornstorlek i grundmassa från Kornstorlek hos strökkorn från	0,05 till	0,5 mm mm
Strökkornshalt:	%	
Relativ rörelse i stupningsriktningen:		

Textur	Jämnkönig
Struktur	

Mineral	Halt	Sek.?	Bildat av	Kommentar
Plagioklas	50,8	<input type="checkbox"/>		Sericitiserad/saussuritiseras.
Kvarts	30,6	<input type="checkbox"/>		
Biotit	12,6	<input type="checkbox"/>		Enstaka strimma klorit. Ser allmänt nedbruten ut.
Alkalifältspat	4,8	<input type="checkbox"/>		
Zirkon	0,6	<input type="checkbox"/>		
Muskovit	0,6	<input type="checkbox"/>		
Prehnit		<input type="checkbox"/>		
Apatit		<input type="checkbox"/>		
Opakmineral, ospec.		<input type="checkbox"/>		
Epidot		<input type="checkbox"/>		
Klorit		<input checked="" type="checkbox"/>	Biotit	

Allmän kommentar

Metamorf bergart, tämligen homogen med eventuell parallellorientering (biotitt möjlig mineralorientering). Bergarten uppväxer metamorf överprägling i flera steg, vilket ger ett svårtoikt texturellt förhållande. Texturellt är kvarts och fältspater helt homogent fördelade i slipet och är tydligt rekristalliserade, medan blötkornen uppträder som ett oregelbundet nätvärk. I slipet syns inhomogeniteter i blötkornen dels i större, dels i mindre skala. Suddiga fläckar och flammighet i stoff (cm-skala) uppträdder i slipet som variationer i biotithalt - ena sidan på slipet är glimmerrikare. Inom slipet finns dessutom spököar (1-5 mm) av glimmerfattigare grundmassa, där glimmerkornen även är mindre. Dominerande kornstorlek 0,05-0,3 mm, även korn upp till 0,5 mm, enstaka biotitkorn upp till 2 mm.

Överpräglad av senare, plastisk deformation (deformered kvarts, påverkade komfogar i kvarts).

Mikrosprickor ej uppträddande i slipet.

Mikroskoperingssdata:

PFM001941A

6700115**1635856**

Mikroskopoperat av: ME, SL

Textur

Ojämnkornig

Struktur

Relativ rörelse i strykningssrichtningen:

Bergart:	Tonalit	Slipets strykning:	Slipets stupning:	Slippta inverterad?
		2003-10-27	Antal punkter:	500
Kornstorlek i grundmassa från Kornstorlek hos strokorn från Strötkornshalt:	%	0,01 till till	3 mm mm	

Relativ rörelse i strykningssrichtningen:

Relativ rörelse i stupningsriktningen:

Mineral	Halt	Sek?	Bildat av	Kommentar
Plagioklas	54	<input type="checkbox"/>		Sericitiserad/saussuritiserad.
Kvarts	31,2	<input type="checkbox"/>		
Biotit	11,4	<input type="checkbox"/>		Kloritiserasad.
Alkalifältspat	1,6	<input type="checkbox"/>		
Epidot	1	<input type="checkbox"/>		
Opakmineral, ospec.	0,6	<input type="checkbox"/>		Ilmenit, magnetit, hämatit, pyrit.
Zirkon	0,2	<input type="checkbox"/>		
Allanit		<input type="checkbox"/>		
Prehnit		<input type="checkbox"/>		
Apatit		<input type="checkbox"/>		
Kalcit		<input type="checkbox"/>		
Titanit		<input checked="" type="checkbox"/>	Biotit	
Klorit				Små korn, ofta i samband med glimmer.
Muskovit				

Allmän kommentar

Karakter av en deformerađ, metamorf bergart; tämligen heterogen mineralfördelning (i stoffskala tämligen homogen) och stort kornstorleksspann. Utdragna aggregata. Nästan all biotit är utdragen och klämd mellan plagioklas- och kvartskorn, mellan vilka också matrix är mycket finare och dessutom innehåller epidot, muskovit och titanit. Biotiten och de andra klämda mineralen bildar ett tunt nätsverk runt kvarts och fältspater, av vilka plagioklas inte är så kloritiskförminskad. Rekristalliserad kvarts, fältspat. Dominerande kornstorlek 0,05–2 mm, även korn upp till 3 mm, matrix mellan korn från 0,01 mm. Ursprunglig kornstorlek fint medelkornig, d.v.s. som nuvarande, men med en grövre dominande fraktion.

Parallelorientering utgörs av mineralorientering (biotit, till viss del kvarts och fältspat) och utdragna aggregata (biotit, muskovit, titanit, kvarts, fältspat).

Överpräglad av senare, plastisk deformation (deformerađ kvarts, påverkade komfogar i kvarts, kloritomvandling av biotit).

Komfogarna är raka till runtade i omkristalliserade korn. Halten av mikrosprickor bedöms vara låg, men medel-hög i stora kvartskorn. Glimmeromvandling i dessa sprickor.

Mikroskoperingssdata:

PFM001956A

6704315 1633529

Mikroskopierat av: ME, SL

Bergart: **Dacit**

Relativ rörelse i strykningstryckningen:

Slipets strykning:	Slipets stupning:	Slipyta inverterad?
2003-10-14	Antal punkter:	500
Kornstorlek i grundmassa från	Kornstorlek hos strökkorn från	0,05 till
Kornstorlek hos strökkorn från	Strökkornshalt:	till
%	%	1 mm mm

Relativ rörelse i stupningsriktningen:

Mineral	Halt	Sek.?	Bildat av	Kommentar
Plagioklas	55	<input type="checkbox"/>		
Kvarts	27	<input type="checkbox"/>		Sericitiserad/saussuritiseras.
Biotit	14,2	<input type="checkbox"/>		Kloritiserad.
Muskovit	1,6	<input type="checkbox"/>		
Alkalifältspat	1,2	<input type="checkbox"/>		
Zirkon	0,4	<input type="checkbox"/>		
Klorit	0,4	<input type="checkbox"/>		
Epidot	0,2	<input type="checkbox"/>		
Apatit		<input type="checkbox"/>		
Opakmineral, ospec.		<input type="checkbox"/>		Spår av pyrit.

Allmän kommentar

Metamorf deformierad bergart. Parallelorientering utgörs av mineralorientering (biotit) och sträk/utdragna aggregat (plagioklas, kvarts, biotit). Bergarten uppvisar metamorf överprägling, vilket ger ett svårtolkat textuellt förhållande. Biotiten uppträder varierande, från enskilda korn till sammansittande sträk. I sliset syns inhomogeniteter i biotiten - ev. uppvisar bergarten en spöktextrakt i form av spököar (1-5 mm) med mindre biotit, men detta syns inte lika tydligt som i PFM001908A. Kvarts och fältspat uppvisar dock precis som i det sliset ingen variation i samband med detta. Kornstorleken varierar bandvis.

Överpräglad av senare, plastisk deformation (deformierad kvarts, påverkade kornfogar i kvarts, klonformvandling av biotit).
Kornfogarna smärt flökiga, smått pusslade.

Mikrosprickor ej uppträdande i sliset.

Textur	Ojämnkornig
Struktur	

Mikroskoperingssdata:

PFM002128A

6697402**1631521**

Strykning:

Slipets strykning:

2003-09-24

Antal punkter:

0

Textur

Ojämnkornig

Mikroskopierat av: SL

Strykning:

Slipets strykning:

0

Textur

Ojämnkornig

Bergart: **Mylonit**

Strykning:

Slipets strykning:

0

Textur

Ojämnkornig

Relativ rörelse i strykningsriktningen:

Strykning:

Slipets strykning:

0

Textur

Ojämnkornig

Relativ rörelse i strykningsriktningen:

Strykning:

Slipets strykning:

0

Textur

Ojämnkornig

Mineral	Halt	Sek?	Bildat av	Kommentar
Kalcit	<input type="checkbox"/>			
Opakmineral, ospec.	<input type="checkbox"/>	<input type="checkbox"/>		
Epidot	<input type="checkbox"/>	<input type="checkbox"/>		
Klorit	<input type="checkbox"/>	<input type="checkbox"/>		
Muskovit	<input type="checkbox"/>	<input type="checkbox"/>		
Plagioklas	<input type="checkbox"/>	<input type="checkbox"/>		
Alkalifältspat	<input type="checkbox"/>	<input type="checkbox"/>		
Kvarts	<input type="checkbox"/>			

Allmän kommentar

Bedömd som granitisk/ryolitisk till sammansättningen, ev. mindre sur.

Svårt att avgöra struktur. Bergarten uppvisar en komplex deformationsstruktur med ett näverk av korsande läkta sprickor och mylonitiska sträck, 0,1-1 mm breda. Ofta uppträder opakmineral, epidot och iärnpigmentering i tunna strängar längs med de mylonitiska sträken. Därför ger bergarten intyck av (i både stoff och slip) att vara kraftigt uppsprucken, men alla deformationsytor är läkta och rekristalliserade. Längs några sträck kan en rörelse konstateras, som mest upp till 3 mm. En del kalfältspatylda sprickor, en spricka med brun, omväntlad epidot. Grundmassan mellan deformationssträken är förhållandevis jämnkornig.

Halten av mikrosprickor bedöms vara låg.

Mikroskoperingssdata:**6695462****1634077**

Mikroskopierat av: ME, SL

Textur**Ojämkornig**

Slipets strykning:

2003-11-11

Slipets stupning:

Antal punkter:

500

Slipyta inverterad?

Bergart: **Granit**

Kornstorlek i grundmassa från

Kornstorlek hos strökkorn från

Strökkornshalt:

% till

0,05 till

8 mm

mm

Relativ rörelse i strykningsriktningen:

Relativ rörelse i stupningsriktningen:

Struktur

Mineral	Halt	Sek.?	Bildat av	Kommentar
Kvars	38,2	<input type="checkbox"/>		
Plagioklas	34,2	<input type="checkbox"/>		Sericitiserad/saussuritiseras.
Alkalifältspat	21,4	<input type="checkbox"/>		
Biotit	5	<input type="checkbox"/>		Kloritiserad.
Allanit	0,4	<input type="checkbox"/>		
Opakmineral, ospec.	0,4	<input type="checkbox"/>		Magnetit.
Muskovit	0,4	<input type="checkbox"/>		
Prehnit		<input type="checkbox"/>		
Zirkon		<input type="checkbox"/>		
Apatit		<input type="checkbox"/>		
Titanit		<input type="checkbox"/>		
Epidot		<input type="checkbox"/>		
Klorit		<input checked="" type="checkbox"/>	Biotit	

Allmän kommentar

Karakter är en deformera, metamorf djupbergart. Heterogen mineralfördelning och kornstorleksfördelning. Utdragna aggregat. Kornstorleksstörminskad, rekristalliserad kvarts och fältspat. Dominerande kornstorlek upp till 1-2 mm, samtid kvartskorn upp till 8 mm långt i kvartssträngar. Ursprunglig kornstorlek medelkornig till grovkornig.

Parallelorientering utgörs av mineralorientering (biotit, kvarts till viss del plagioklas) och utdragna aggregat (biotit, kvarts, fältspat).

Överpräglad av senare, plastisk deformation (deformera kvarts, påverkade kornfogar i kvarts, kloritomvandling av biotit). Kornfogar smärt pusslade.

Halten av mikrospinkor bedöms vara medel, huvudsakligen förekommande i kvarts. Vanligt med glimmer och Fe-hydroxid i sprickor.

Mikroskoperingssdata:

PFM002163A

669556**1633125**

Strykning:

Slipets strykning:

Textur

Ojämnkornig

Mikroskopierat av: SL

Antal punkter:

0

Slippta inverterad?

Bergart: **Kataklasit**

Kornstorlek i grundmassa från

Kornstorlek hos strokorn från

Strökkornshalt:

%
Relativ rörelse i strykningsriktningen:

Kornstorlek i grundmassa från

Kornstorlek hos strokorn från

Strökkornshalt:

%
Relativ rörelse i stupningsriktningen:

Struktur

Mylonitisk

Breccierad

Mineral

Halt

Sek?

Bildat av

Kommentar

Epidot

Klorit

Plagioklas

Alkalifältspat

Kvarts

Allmän kommentar

Bedömd som granitisk/ryolitisk till sammansättningen.

Mycket heterogen; sammansatt av olika fragment med olika karaktär och mineralogi. Orientering av deformationsstrukturen varierar mellan fragmenten. Kraftigt kornstorleksförändrade och uppsprucken; många primärt större korn består av mindre korn som är <0,01 mm. Kornstorlek <0,01 mm domineras, en del upp till 0,5 mm. Mycket lättå sprickor främst med epidot, även klorit. Mycket mikrokristallin epidot och opakmineral, men uppvisar stor variation i halt. Många fragment, korn och sträck är kvartsdominerade.

Mikroskoperingssdata:

PFM002179B

669555 1633432

Mikroskopierat av: SL

Slipets strykning:

2003-09-24

Slipets stupning:

0

Slippta inverterad?

Bergart: Ryolit

Antal punkter:

Kornstorlek i grundmassa från

Kornstorlek hos stötkorn från

Strötkornshalt: %

0,01 till

till %

0,5 mm mm

Relativ rörelse i strykningsriktningen:

Relativ rörelse i stupningsriktningen:

Textur	Ojämnkornig
---------------	-------------

Mineral	Halt	Sek.?	Bildat av	Kommentar
Allanit	<input type="checkbox"/>			
Opakmineral, ospec.	<input type="checkbox"/>			
Titanit	<input type="checkbox"/>			
Epidot	<input type="checkbox"/>		<input checked="" type="checkbox"/>	Biotit
Klorit	<input type="checkbox"/>			
Plagioklas	<input type="checkbox"/>		<input type="checkbox"/>	
Alkalifältspat	<input type="checkbox"/>		<input type="checkbox"/>	
Kvars	<input type="checkbox"/>			

Allmän kommentar

Bedömd som ryolitisk till sammansättningen.

Kornstorlek: Omväxlande 0,01-0,2 mm och 0,01-0,5 mm, en del korn upp till 1 mm. Parallelstruktur utgörs av mineralorientering (klorit, till viss del kvarts och fältspat) samt av utdragna aggregat (klorit, kvarts, epidot och fältspater). Sprickor (små, 1 stor) fyllda med epidot och även epidot+kalцит.

Mikroskoperingssdata:

PFM002221A

6694612

1635144

Slipets strykning:

Slypta inverterad?

Mikroskoprat av: ME, SL

2003-11-11

Antal punkter: 500

Textur

Ojäminkornig

Bergart: **Granit**

Komstörlek i grundmassa från

0,1 till

7 mm

Komstörlek hos strökkorn från
Strökkornshalt: %

till

mm

Struktur

Relativ rörelse i strykningsriktningen:

Relativ rörelse i stupningsriktningen:

Mineral	Halt	Sek?	Bildat av	Kommentar
Kvarts	44,2	<input type="checkbox"/>		
Plagioklas	31	<input type="checkbox"/>		Sericitiserad/saussuritiseras.
Alkalifältspat	20	<input type="checkbox"/>		Kloritiseras.
Biotit	4,2	<input type="checkbox"/>		Magnetit, pyrit (en del korn omvandlade till Fe-hydroxid längs kanterna), kopparkis/magnetkis, ilmenit.
Opakmineral, ospec.	0,4	<input type="checkbox"/>		
Allanit	0,2	<input type="checkbox"/>		
Prehnit		<input type="checkbox"/>		
Zirkon		<input type="checkbox"/>		
Apatit		<input type="checkbox"/>		
Kalcit		<input type="checkbox"/>		
Titanit		<input type="checkbox"/>		
Epidot		<input checked="" type="checkbox"/>	Biotit	
Klorit		<input type="checkbox"/>		
Muskovit		<input type="checkbox"/>		

Allmän kommentar

Karakter är en starkt deformera, metamorf djupbergart. Heterogen mineralfördelning och kornstorleksfördelning. Aggregat så utdragna att de på slipnvå nästan bildar band. Kornstorleksförmänskad, rekristalliserad kvarts och fältspat. Dominerande kornstorlek upp till 1-2 mm, samt kvartskorn upp till 7 mm långt i kvartssträngar. Ursprunglig kornstorlek medelkornig till grovkornig.

Parallelorientering utgörs av mineralorientering (biotit, kvarts till viss del plagioklas) och utdragna aggregat (biotit, kvarts, fältspat).

Överpräglad av senare, plastisk deformation (deformera kvarts, påverkade komfogar i kvarts, kloritomvandling av biotit). Komfogar smält pusslade.

Halten av mikrospackor bedöms vara medel, huvudsakligen förekommande i kvarts. Vanligt med glimmer och Fe-hydroxid i sprickor och komfogar.

Mikroskopningsdata:

PFM005172A

6696760 1628033

Mikroskopierat av: ME, SL

Bergart: **Tonalit**

Relativ rörelse i strykningstryckningen:

Textur	Ojämkornig		
Slipets strykning:	Slipets stupning:	Slippta inverterad?	<input type="checkbox"/>
2003-10-17	Antal punkter:	500	
Kornstorlek i grundmassa från Kornstorlek hos strökkorn från Strökkornshalt:	0,1 till % till	3 mm mm	
Relativ rörelse i stupningsriktningen:			Struktur

Mineral	Halt	Sek.?	Bildat av	Kommentar
Plagioklas	53,4	<input type="checkbox"/>		
Hornblände	19,4	<input type="checkbox"/>		
Kvars	14,4	<input type="checkbox"/>		
Biotit	12	<input type="checkbox"/>		Kloritiseras.
Opakmineral, ospec.	0,6	<input type="checkbox"/>		Euhedral ilmenit, pyrit, finkornig koppariks.
Apatit	0,2	<input type="checkbox"/>		
Zirkon		<input type="checkbox"/>		
Kalcit		<input type="checkbox"/>		
Epidot		<input type="checkbox"/>		
Klorit		<input checked="" type="checkbox"/>	Biotit	
Alkalifältspat		<input type="checkbox"/>		

Allmän kommentar

Karakter är en metamorf djupbergart. Deformerad, med stora, utdragna aggregat och heterogen mineralfördelning. Rekristalliserad kvarts, plagioklas och hornblände. Dominerande kornstorlek 0,1-2 mm, även korn upp till 3 mm. Ursprunglig kornstorlek medelkornig, ev. grovkornig. Nåra gräns mot kvartsdiorit.

Parallelorientering utgörs av mineralorientering (biotit, hornblände, till viss del kvarts och plagioklas) och utdragna aggregat (biotit, hornblände, kvarts, plagioklas).

Överpräglad av senare, plastisk deformation (deformerad kvarts, påverkade kornfogar i kvarts, klonitomvandling av biotit). Kornfogar ojämna-småpusslade, smäfluktiga.

Halten av mikroprickor bedöms vara låg.

Mikroskopningsdata:

PFM005197A

669858 1634100

Mikroskopierat av: ME, SL

Bergart: **Granodiorit**

Relativ rörelse i strykningstryckningen:

Slipets strykning:	Slipets stupning:	Slipyta inverterad?
2003-10-28	Antal punkter:	500
Kornstorlek i grundmassa från	0,1 till	4 mm
Kornstorlek hos strökkorn från	till	mm
Strökkornshalt:	%	

Relativ rörelse i strykningstryckningen:

Struktur

Mineral	Halt	Sek.?	Bildat av	Kommentar
Plagioklas	53	<input type="checkbox"/>		
Kvarts	37,4	<input type="checkbox"/>		Sericitiserad/saussuritiserad. Runt sprickor medel.
Alkalifältspat	7	<input type="checkbox"/>		
Biotit	1	<input type="checkbox"/>		Kloritiseras.
Epidot	0,6	<input type="checkbox"/>		
Titanit	0,4	<input type="checkbox"/>		
Apaitit	0,2	<input type="checkbox"/>		
Opakmineral, ospec.	0,2	<input type="checkbox"/>		Magnetit (lätt martitiseras), hämatit, spår av pyrit.
Kalcit	0,2	<input type="checkbox"/>		
Prehnit		<input type="checkbox"/>		
Zirkon		<input checked="" type="checkbox"/>	Biotit	
Klorit				

Allmän kommentar

Karakter är deformerad, metamorf djupbergart. Heterogen mineralfördelning. Tydligt kornstorleksförminskad, rekristalliserad kvarts och fältspat och glesa, utdragna aggregat av biotit. Bergarten tärnigen jämkornig dåt kornstorleken 0,1-1 mm domineras, medan kvartiskorn når upp till 4 mm. Gles storsstruktur kontra finkornighet anger ursprunglig kornstorlek; medelkornig, ev. grovkornig. Bergarten nära gräns mot tonaltit.

Parallelorientering utgörs av mineralorientering (biotit, till viss del kvarts) och utdragna aggregat (biotit, kvarts, fältspat).

Överpräglad av senare, plastisk deformation (deformerad kvarts, påverkade komfogar i kvarts, kloritomvandling av biotit).

Halten av mikrosprickor bedöms vara låg, men flera genomgående sprickor förekommer, läkta med kalifältspat, kalcit, kvarts.

Textur	Jämkornig
--------	-----------

Struktur	
----------	--

Mikroskoperingssdata:**6699875****PFM005205B****1633704**

Strykning:

Mikroskopierat av: ME, SL

Slipets strykning:

2003-10-26

Slipets stupning:

Slippta inverterad?

Bergart: **Granit**

Antal punkter:

500

Kornstorlek i grundmassa från

Kornstorlek hos strokorn från

Strökkornshalt:

Relativ rörelse i strykningsriktningen:

Relativ rörelse i stupningsriktningen:

		Textur
Jämnkornig		

Mineral	Halt	Sek?	Bildat av	Kommentar
Kvars	41	<input type="checkbox"/>		
Plagioklas	29,8	<input type="checkbox"/>		Sericitserad/saussuritiseras.
Alkalifältspat	26,2	<input type="checkbox"/>		
Biotit	2	<input type="checkbox"/>		Kloritterad. I biotit ingår också nedbruten hornblände.
Opakmineral, ospec.	0,6	<input type="checkbox"/>		Magnetit (vissa kom är martitiserade), ilmenit, hämatit.
Kalcit	0,2	<input type="checkbox"/>		
Titanit	0,2	<input type="checkbox"/>		
Prehnit		<input type="checkbox"/>		
Zirkon		<input type="checkbox"/>		
Apatit		<input type="checkbox"/>		
Hornblände		<input type="checkbox"/>		Nedbrutna rester, sekundära massor av biotit, klorit, epidot.
Epidot		<input type="checkbox"/>		
Klorit		<input checked="" type="checkbox"/>	Biotit	

Allmän kommentar

Karakter är en metamorf bergart. Heterogen fördelning av mafiska mineral (biotit, hornblände opakmineral), som bildar glesa kransar runt "öar", ca 5 mm stora. Ev. ett lineationssnitt. Ev. finns en ursprunglig, grövre kornstorlek antydd genom dena textur. Bergarten tämligen jämnkornig där kornstorleken 0,1-1 mm dominar, medan kvartskorn nära upp till 2 mm. Rekristalliserad kvarts och fältspat.

Kornen är arrangerade massformigt i slipet.

Överpräglad av senare, plastisk deformation (deformerad kvarts, påverkade komfogar i kvarts, kloritomvandling av biotit). Komfogarna är lokalt lite pusslade.

Halten av mikrospickor bedöms vara låg, i större kvartskorn medel. Genomgående spricka pigmenterad med Fe-hydroxid.

Mikroskopningsdata:

PFM005206A

6702911 1632185

Mikroskopierat av: ME, SL

Textur

Ojämkornig

Slipets strykning:

2003-10-16

Slipets stupning:

500

Slipyta inverterad? **Struktur**

Kornstorlek i grundmassa från	0,1 till	3 mm
Kornstorlek hos strökkorn från	till	mm
Strökkornshalt:	%	

Relativ rörelse i strykningstryckningen:

Relativ rörelse i stupningstryckningen:

Mineral	Halt	Sek.?	Bildat av	Kommentar
Plagioklas	52,2	<input type="checkbox"/>		
Hornblände	21	<input type="checkbox"/>		Nedbruten i spaltplanet.
Biotit	14,2	<input type="checkbox"/>		Kloritiseras. Enstaka strimmor.
Kvarts	8,8	<input type="checkbox"/>		
Titanit	1,4	<input type="checkbox"/>		
Epidot	1,4	<input type="checkbox"/>		
Apait	0,6	<input type="checkbox"/>		
Opakmineral, ospec.	0,2	<input type="checkbox"/>		Finkornig pyrit, kopparkis.
Alkalifältspat	0,2	<input type="checkbox"/>		
Prehnit		<input type="checkbox"/>		
Zinkblände		<input type="checkbox"/>		
Klorit		<input checked="" type="checkbox"/>	Biotit	

Allmän kommentar

Karakter är en metamorf dijupbergart. Heterogen mineralfördelning, rekristalliserad kvarts, plagioklas och hornblände, utdragna aggregat. Dominerande kornstorlek 0,1-1 mm, en del plagioklastiskt upp till 2 mm, enstaka plagioklastiskt upp till 3 mm, biotitkorn 3 mm långa. Ursprunglig kornstorlek ev. medelliknig. Ugefärlig An-halt i plagioklas = 37.

Parallelorientering utgörs av mineralorientering (biotit, hornblände) och utdragna aggregat (biotit, hornblände, kvarts, plagioklas).

Överpräglad av senare, plastisk deformation (deformera kvarts, påverkade komfogar i kvarts, kloritomvandling av biotit).

Halten av mikrosprickor bedöms vara låg, dessutom en genomgående spricka med kalfältspat.

Mikroskopningsdata:

PFM005217A

6704608 1630901

Mikroskopierat av: ME, SL

Bergart: **Dacit**

Relativ rörelse i strykningstryckningen:

Textur	Ojämkornig		
Slipets strykning:	Slipets stupning:	Slippta inverterad?	<input type="checkbox"/>
2003-10-17	Antal punkter:	500	
Kornstorlek i grundmassa från Kornstorlek hos strökkorn från Strökkornshalt:	0,05 till till %	2 mm mm	
Relativ rörelse i stupningsriktningen:			

Mineral	Halt	Sek.?	Bildat av	Kommentar
Plagioklas	45,4	<input type="checkbox"/>		
Kvarts	36,8	<input type="checkbox"/>		
Biotit	8,8	<input type="checkbox"/>		Kloritiseras. Enstaka strimmor.
Alkalifältspat	7	<input type="checkbox"/>		
Muskovit	1,6	<input type="checkbox"/>		
Okänt mineral	0,2	<input type="checkbox"/>		Glimmermineral.
Titanit	0,2	<input type="checkbox"/>		
Zirkon		<input type="checkbox"/>		
Apatit		<input type="checkbox"/>		
Opakmineral, ospec.		<input type="checkbox"/>		Lite pyrit omgiven av Fe-hydroxider, Hämatit.
Epidot		<input type="checkbox"/>		
Klorit		<input checked="" type="checkbox"/>	Biotit	

Allmän kommentar

Metamorf bergart, heterogen mineralfördelning. Mycket rekristalliserad med spökryster av en tidigare, grövre textur. Kalifältspat är det enda mineral som fortfarande upptäcks mycket finkorriga, kornförminska strängar/sträck. Alla mineral utom muskovit är rekristalliserade, muskovit växer både med och över parallellorientering och även över biotit. Biotit varierar från allmänt strödd till utdragna sträcktunna glidytör och upptäcks spökkorn (1-5 mm) med mindre biotit i, enligt t.ex. PFM001903A. Dominerande kornstorlek 0,05-0,5 mm, även vanligt upp till 1 mm, biotit och muskovit upp till 2 mm långa.

Parallelorientering utgörs av mineralorientering (biotit, muskovit) och utdragna aggregat (biotit, kvarts, fältspater).

Överpräglad av senare, plastisk deformation (deformera kvarts, påverkade kornfogar i kvarts, klonitomvandling av biotit). Kornfogar lokalt smärt, pusslade.

Mikrosprickor ej uppträdande i slipet.

Mikroskoperingssdata:

PFM005236A

6700362**1635703**

Mikroskopierat av: ME, SL

Bergart: **Dacit**

Slipets strykning:	Slipets stupning:	Slippta inverterad?
2003-10-16	Antal punkter:	500
Kornstorlek i grundmassa från Kornstorlek hos strokorn från Strökkornshalt:	0.05 till till %	1 mm mm
Relativ rörelse i strykningsriktningen:		Relativ rörelse i stupningsriktningen:

Textur	Jämnkomig
Struktur	

Relativ rörelse i strykningsriktningen:

Mineral	Halt	Sek?	Bildat av	Kommentar
Plagioklas	47	<input type="checkbox"/>		Sericitiserad/saussuritiserad.
Kvars	39,2	<input type="checkbox"/>		
Alkalifältspat	7,2	<input type="checkbox"/>		
Biotit	5,6	<input type="checkbox"/>		Kloritiserad.
Opakmineral, ospec.	0,8	<input type="checkbox"/>		Magnetit, mindre hämatit, ilmenit, pyrit som är omvandlad till Fe-hydroxid längs kanterna.
Apatit	0,2	<input type="checkbox"/>		
Zirkon		<input type="checkbox"/>		
Titanit		<input type="checkbox"/>		
Epidot		<input type="checkbox"/>		
Klorit		<input checked="" type="checkbox"/>	Biotit	
Muskovit		<input type="checkbox"/>		

Allmän kommentar

Metamorf bergart, tydligt rekristalliserad. Något annorlunda än övriga finkorniga daciter (PFM001908A, -1956A och -5217A). Otydlig parallelorientering, men den går att urskilja; biotit är tänligen jämnt strödd; tidigare observerade, glimmerfattigare spökör är inte lika lätt urskiljbara, men ändå möjliga att se; i kornfogarna mellan de större kornen finns ofta mycket finkornigt material, ofta biotit tillsammans med muskovit, kvars och kalifältspat. Dominerande kornstorlek 0,05-0,5 mm, enstaka korn upp till 1 mm.

Överpräglad av senare, plastisk deformation (deformera kvars, påverkade komfogar i kvars, kloritomvandling av biotit). Komfogar smält pusslade och smått flirkiga.

Mikrosprickor ej uppträdande i slipet.

Mikroskopningsdata:

PFM005245A

6705094 1633496

Mikroskopierat av: ME, SL

Bergart: **Granodiorit**

Relativ rörelse i strykningstryckningen:

Slipets strykning:
2003-10-29Slipets stupning:
Antal punkter:Slipyta inverterad?

500

0,1 till

5mm

mm

Kornstorlek i grundmassa från

Kornstorlek hos strökkorn från

Strökkornshalt: %

Relativ rörelse i stupningsriktningen:

Textur

Ojämkornig

Mineral	Halt	Sek.?	Bildat av	Kommentar
Plagioklas	46,2	<input type="checkbox"/>		
Kvarts	25,4	<input type="checkbox"/>		Sericitiserad/saussuritiseras. Fläckvis medel.
Alkalifältspat	22,6	<input type="checkbox"/>		
Biotit	4,4	<input type="checkbox"/>		Kloritiseras.
Muskovit	0,8	<input type="checkbox"/>		
Opakmineral, ospec.	0,4	<input type="checkbox"/>		Spår av ilmenit, Fe-hydroxider.
Epidot	0,2	<input type="checkbox"/>		
Zirkon		<input type="checkbox"/>		
Apatit		<input type="checkbox"/>		
Klorit		<input checked="" type="checkbox"/>	Biotit	

Allmän kommentar

Karakter är en metamorf djupbergart. Heterogen mineralfördelning, biotit i glesa aggregat. Rekristalliserad kvarts och till viss del fältspat. Stort kornstorleksspann. Dominerande konstonteck 0,5-5 mm, men från 0,01 mm även vanligt. Ursprunglig kornstorlek ung, som nuvarande. Muskovit växer över biotit. Bergarten nära gräns mot granit.

Ev. är en svag parallelstruktur utvecklad, men svårt att avgöra, annars massförmig.

Överpräglad av senare, plastisk deformation (deformera kvarts, påverkade kornfogar i kvarts, klonformvandling av biotit). Kornfogarna smärt flikiga och smått pusslade.

Halten av mikrosprickor bedöms vara hög.

Mikroskopningsdata:

PFM005282A

669670**1638116**

Mikroskopierat av: ME, SL

Bergart: **Granodiorit**

Slipets strykning:

2003-10-17

Slipets stupning:

Antal punkter: 500

Kornstorlek i grundmassa från

Kornstorlek hos strökkorn från

Strökkornshalt: %

Relativ rörelse i strykningens riktning:

Relativ rörelse i stupningsriktningen:

Mineral	Halt	Sek.?	Bildat av	Kommentar
Plagioklas	50,8	<input type="checkbox"/>		
Kvarts	26,8	<input type="checkbox"/>		
Alkalifältspat	9,8	<input type="checkbox"/>		
Biotit	8,8	<input type="checkbox"/>		Kloritiseras. Strimmor här och där.
Epidot	3,2	<input type="checkbox"/>		
Opakmineral, ospec.	0,2	<input type="checkbox"/>		Magnetit, pyrit.
Kalcit	0,2	<input type="checkbox"/>		
Titanit	0,2	<input type="checkbox"/>		
Allanit		<input type="checkbox"/>		
Prehnit		<input type="checkbox"/>		
Zirkon		<input type="checkbox"/>		
Apatit		<input type="checkbox"/>		
Klorit		<input checked="" type="checkbox"/>	Biotit	

Allmän kommentar

Karakter är en metamorf bergart, ev. inte så grov från början. Tämligen heterogen mineralfördelning, rekristalliserad kvarts och plagioklas och utdragna aggregat. Ursprunglig kornstorlek ev. fint medelkornig. Biotit uppträder i (från början fläckvis) utdragna strimmar och stråk, som över går i allmänt utströdda kom. Glestheten på stråken definieras någonlunda av kvarts-fältspat-aggregatens storlek (ca 0,5-2 mm). Mycket finkomigt (komförminskat) material kvar av framför allt kvarts och kalifältspat.

Parallelorientering utgörs av mineralorientering (biotit, till viss del kvarts och fältspater) och utdragna aggregat (biotit, kvarts, fältspater, epidot).

Överpräglad av senare, plastisk deformation (deformera kvarts, påverkade komfogar i kvarts, kloritomvandling av biotit). Komfogarna smärt pusslade och smält flökiga.

Halten av mikrosprickor bedöms vara låg, men högre i större kvartskorn.

Textur	Ojämnkornig
--------	-------------

Struktur

Mikroskoperingssdata:**669702****1638048****PFM005288A**

Mikroskopierat av: ME, SL

Bergart: **Granit**

	Textur
	Ojämnkornig

	Slipets strykning:	Slipets stupning:	Slippta inverterad?
2003-10-27	Antal punkter:	500	<input type="checkbox"/>

	Kornstorlek i grundmassa från	0.05 till	5 mm
Kornstorlek hos strokorn från	till		mm
Strökkornshalt:	%		

Relativ rörelse i strykningsriktningen:

Mineral	Halt	Sek?	Bildat av	Kommentar
Kvarts	34,8	<input type="checkbox"/>		
Plagioklas	34,6	<input type="checkbox"/>		Sericitserad/saussuritiseras.
Alkalifältspat	23,4	<input type="checkbox"/>		Kloritiserad.
Biotit	6	<input type="checkbox"/>		Kloritiserad.
Opakmineral, ospec.	0,8	<input type="checkbox"/>		Magnetit, spår av ilmenit och pyrit.
Titanit	0,2	<input type="checkbox"/>		
Epidot	0,2	<input type="checkbox"/>		
Allanit		<input type="checkbox"/>		
Zirkon		<input type="checkbox"/>		
Apatit		<input type="checkbox"/>		
Kalcit		<input type="checkbox"/>		
Klorit		<input checked="" type="checkbox"/>	Biotit	
Muskovit			<input type="checkbox"/>	

Allmän kommentar

Karakter är deformeras, metamorf djupbergart. Deformationsstruktur med glesa, grova aggregat. Heterogen mineralfördelning, komstoleksfördelning. Kornstorleksförmänskad, rekristalliserad kvarts och fältspat. Ursprunglig kornstorlek medelkornig.

2 parallellorienteringar utvecklade (ca 120 graders vinkel mellan dem). Båda utgörs av mineralorientering (biotit) och utdragna aggregat (biotit, kvarts, fältspat, till viss del opakmineral, epidot).

Överpräglad av senare, plastisk deformation (deformeras kvarts, påverkade komfogar i kvarts, kloritomvandling av biotit). Kornfogarna smärt püsslade.

Halten av mikrosprickor bedöms vara medel till hög (varierande).

Appendix 2

Whole-rock geochemical analyses

Comment: The analyses are presented in the form delivered by the Acme Analytical Laboratories Ltd, Vancouver, Canada.

Element Sample	SiO ₂ %	Al ₂ O ₃ %	Fe ₂ O ₃ %	MgO %	CaO %	K ₂ O %	TiO ₂ %	P2O ₅ %	MnO %	Cr ₂ O ₃ %	Ba ppm	Ni ppm	Sc ppm	LOI %	TOT/C %	TOTS %	SUM %	
PFM000278B	76.82	11.74	1.61	.16	.47	2.35	6.47	.05	<.01	.02	.001	243	<20	1	.5	.02	.03	100.23
PFM000555A	49.45	9.99	13.33	13.07	11.12	.63	.25	.38	.03	.24	.024	62	.54	69	1.5	.03	.10	100.01
PFM000557A	67.31	14.45	5.99	1.02	3.92	3.34	2.19	.52	.14	.10	<.001	731	<20	19	.5	.03	.02	99.57
PFM000601A	71.95	13.47	3.83	.63	2.35	2.92	3.73	.31	.08	.06	.001	785	<20	10	.4	.02	<.01	99.83
PFM000614A	68.61	14.32	5.31	.90	3.72	3.39	2.38	.46	.11	.09	<.001	803	<20	19	.4	.01	.02	99.78
PFM000621A	70.28	14.87	3.72	.85	3.61	3.49	1.93	.28	.09	.07	<.001	785	<20	10	.6	.03	.02	99.87
PFM000650A	68.94	14.64	4.94	.97	3.33	3.68	2.13	.39	.12	.09	<.001	891	<20	11	.6	.04	.03	99.93
PFM000651A	74.80	12.48	2.28	.50	1.16	2.68	4.63	.16	.04	.04	<.001	1,325	<20	4	1.0	.03	.01	99.91
PFM000652A	54.73	16.29	10.30	3.93	8.30	2.63	1.36	.73	.29	.17	.003	452	20	27	1.1	<.01	.09	99.89
PFM000778A	60.56	15.89	7.11	3.03	6.09	3.19	1.61	.70	.19	.12	.003	590	<20	19	1.2	.12	.05	99.76
PFM000782A	48.43	20.34	10.91	3.38	10.80	2.33	.71	1.20	.45	.17	.003	295	<20	27	1.3	.02	.09	100.06
PFM000837A	63.57	15.84	5.65	2.65	5.00	3.26	1.86	.57	.19	.10	.003	322	<20	16	1.1	.02	.11	99.83
PFM000842A	61.41	16.18	6.25	2.93	5.98	3.27	1.61	.59	.22	.10	.003	637	<20	17	1.3	.03	.05	99.92
PFM000994A	75.00	12.78	2.19	.34	1.64	3.06	4.08	.14	.04	.05	<.001	986	<20	4	.5	.01	.01	99.93
PFM001010A	52.05	15.66	11.77	4.79	8.14	2.84	1.46	1.16	.38	.17	.003	486	20	26	1.1	<.01	.12	99.58
PFM001102A	55.93	17.32	10.50	1.63	5.76	3.55	2.25	.88	.44	.18	<.001	516	<20	7	1.1	.02	.04	99.59
PFM001106A	76.39	12.03	1.87	.17	.86	3.06	4.67	.11	.02	.02	<.001	955	<20	3	.6	.01	.04	99.91
PFM001119A	75.11	12.60	2.68	.30	1.45	3.43	3.67	.19	.04	.04	<.001	1,178	<20	5	.4	.04	.02	100.05
PFM001224C	77.88	12.07	1.17	.55	1.20	5.18	.73	.14	.02	.03	<.001	178	<20	5	.6	.01	.01	99.59
RE PFM001224C	78.10	12.00	1.31	.56	1.20	5.18	.74	.14	.02	.04	<.001	176	<20	5	.6	.02	.01	99.91
PFM001229C	77.13	12.20	1.68	.45	1.54	4.79	.91	.13	.02	.02	<.001	534	<20	5	.7	.03	.09	99.63

Element Sample	SiO2 %	Al2O3 %	Fe2O3 %	MgO %	CaO %	K2O %	TiO2 %	P2O5 %	MnO %	Cr2O3 %	Ba ppm	Ni ppm	Sc ppm	LoI %	TOT/C %	TOT/S %	SUM %	
PFM001627A	78.56	12.04	1.23	.05	1.00	5.47	.73	.10	.02	.03	.001	.59	.23	4	.8	.02	<.01	100.03
PFM001635A	74.59	12.67	2.54	.30	1.42	3.50	3.74	.18	.04	.05	<.001	1,181	<20	4	.7	.03	<.01	99.87
PFM001636A	77.99	11.94	1.61	.19	.98	4.75	1.68	.09	.01	.02	<.001	485	<20	4	.3	<.01	.05	99.62
PFM001906A	57.10	17.67	9.19	2.57	7.04	2.46	1.83	.84	.29	.16	.002	500	.34	.22	.7	.01	.04	99.91
PFM001908A	76.02	12.06	3.29	.86	1.34	3.72	1.73	.16	.02	.05	<.001	1,272	<20	5	.3	.03	.01	99.70
PFM001941A	69.34	14.92	3.99	1.19	2.94	4.07	1.51	.46	.15	.08	<.001	372	<20	10	.9	.03	.01	99.60
PFM001956A	75.29	12.63	2.87	1.14	1.46	4.41	1.39	.18	.03	.06	<.001	302	<20	7	.1	.03	<.01	99.59
PFM002149A	74.86	12.69	2.64	.39	1.71	3.10	3.61	.16	.04	.06	.002	1,120	<20	4	.5	.01	<.01	99.89
PFM002221A	74.78	12.87	2.63	.40	1.58	3.00	3.87	.16	.04	.03	<.001	1,210	<20	4	.5	.03	.07	100.00
PFM005172A	57.80	15.85	11.50	2.06	5.21	3.75	1.74	.82	.28	.29	<.001	600	<20	22	.6	.02	.04	99.97
PFM005193A	73.83	12.85	3.29	.45	1.64	3.38	3.51	.23	.06	.05	<.001	1,046	<20	6	.6	.02	<.01	100.00
PFM005197A	77.37	12.41	1.59	.26	1.43	5.68	.69	.15	.02	.02	<.001	169	<20	5	.4	.01	.01	100.04
PFM005205B	76.97	11.68	1.76	.10	.75	3.58	4.06	.10	.01	.02	.002	1,190	.48	.5	.7	.01	.01	99.87
PFM005206A	56.16	17.39	8.96	2.69	7.62	3.08	1.66	.81	.33	.15	.003	375	.31	.21	1.0	<.01	.02	99.90
PFM005209A	55.20	17.83	8.98	2.98	8.00	3.18	1.27	.77	.28	.14	.002	489	.20	.23	1.2	.02	.05	99.89
PFM005217A	75.01	12.96	2.65	.95	1.72	3.57	2.08	.20	.05	.05	<.001	738	<20	8	.6	.03	.01	99.92
PFM005236A	74.03	12.64	4.18	.48	2.20	3.70	1.68	.24	.04	.06	<.001	801	<20	13	.6	.02	.01	99.95
PFM005245A	73.28	14.31	2.07	.53	1.60	4.19	3.08	.18	.04	.04	<.001	930	<20	4	.4	.01	.01	99.82
PFM005282A	69.19	14.84	4.05	.78	3.25	3.72	2.58	.26	.10	.09	<.001	1,065	<20	4	1.0	.04	<.01	99.98
PFM005288A	73.93	12.60	3.04	.41	1.39	3.19	4.07	.20	.04	.05	<.001	1,081	<20	4	1.0	.01	<.01	100.04

Element Samples	Co ppm	Cs ppm	Ga ppm	Hf ppm	Nb ppm	Rb ppm	Sn ppm	Sr ppm	Ta ppm	Th ppm	U ppm	V ppm	W ppm	Zr ppm	Y ppm	La ppm	Ce ppm	Pr ppm	Nd ppm	Sm ppm	Eu ppm	Gd ppm	Tb ppm	Dy ppm	Ho ppm	Er ppm	Tm ppm	Yb ppm	Lu ppm
PFM000278B	1.1	.3	13.9	4.9	13.8	151.1	1	37.6	.6	27.1	9.1	< 5	.5	103.4	16.3	44.3	79.9	7.17	27.8	3.5	.19	2.57	.43	2.57	.53	1.66	.28	1.79	.30
PFM000555A	62.9	.5	10.6	< 5	1.0	9.7	< 1	149.9	< 1	307	.4	15.9	6.8	3.4	7.5	.95	5.1	1.2	.35	1.05	.17	.95	.24	.59	.09	.64	.11		
PFM000557A	6.7	1.8	20.1	6.3	10.8	81.3	2	281.2	.5	7.8	1.4	36	.3	232.9	27.9	37.0	74.6	7.94	33.9	6.2	1.41	5.14	.82	4.73	.93	2.60	.41	2.42	.42
PFM000601A	4.0	2.7	16.3	4.2	8.3	131.9	2	184.0	.4	14.2	3.0	18	.2	144.5	18.1	35.0	69.4	7.09	28.3	4.8	.93	3.76	.55	3.02	.63	1.62	.23	1.45	.26
PFM000614A	5.5	1.6	18.8	5.6	10.4	79.4	1	298.2	.5	8.5	1.3	30	< 1	191.6	28.4	43.6	88.0	9.36	40.5	7.0	1.51	5.74	.88	4.98	.96	2.67	.41	2.52	.39
PFM000621A	5.3	3.2	16.4	2.6	8.2	96.4	1	293.1	1.1	7.8	8.0	31	.5	90.6	13.3	18.0	33.4	3.54	14.6	2.8	.75	2.10	.32	1.96	.43	1.20	.22	1.24	.20
PFM000650A	7.0	2.6	17.5	4.4	11.2	104.6	1	305.5	.8	7.6	3.4	36	.3	151.8	22.5	25.4	53.3	6.44	29.2	5.3	1.13	4.49	.63	3.84	.70	1.99	.32	2.08	.34
PFM000651A	2.4	1.4	12.1	2.9	4.8	162.3	1	207.6	.5	15.3	2.4	9	4.1	90.1	8.6	30.9	52.1	4.83	18.7	2.6	.48	1.78	.24	1.32	.26	.74	.13	.80	.16
PFM000652A	24.2	1.0	16.7	1.7	4.1	40.5	< 1	536.0	.3	3.8	1.6	191	.3	49.8	15.4	16.0	31.3	3.77	17.1	3.6	1.17	3.09	.44	2.54	.53	1.38	.23	1.39	.23
PFM000778A	16.9	.7	18.3	3.7	8.5	40.6	1	422.4	.5	5.1	2.3	133	.4	126.0	24.6	26.2	54.1	6.34	29.0	5.0	1.27	4.23	.72	4.14	.82	2.25	.36	2.30	.37
PFM000782A	25.1	1.3	21.4	1.0	5.9	22.2	< 1	641.2	.3	1.7	.6	166	.5	31.5	16.1	14.7	31.8	3.86	20.6	3.8	1.61	3.23	.50	2.77	.57	1.47	.23	1.47	.24
PFM000837A	14.4	2.2	21.2	4.5	14.1	94.4	2	425.3	1.3	10.2	4.6	98	.7	149.1	29.7	24.1	45.3	5.32	23.4	4.5	.96	4.16	.71	4.09	.87	2.60	.40	2.69	.44
PFM000842A	15.7	1.2	18.8	3.2	8.7	51.2	< 1	523.4	.5	6.6	2.7	110	.6	117.8	18.7	27.8	56.6	6.33	25.5	4.4	1.20	3.51	.52	2.93	.60	1.72	.27	1.81	.27
PFM000994A	1.9	1.5	12.7	2.9	7.1	147.0	1	152.1	.5	14.7	3.2	10	.2	102.4	8.2	26.0	42.1	3.86	13.6	2.1	.42	1.67	.23	1.41	.27	.73	.12	.70	.14
PFM001010A	35.2	.5	18.6	2.1	5.8	39.7	1	443.0	.4	2.3	1.1	235	.1	63.1	23.9	18.7	41.9	5.10	24.3	4.6	1.52	4.13	.67	4.02	.87	2.39	.38	2.18	.38
PFM001102A	13.0	2.7	20.8	3.0	9.8	100.4	3	460.2	.6	5.6	2.1	5	.5	100.3	28.6	25.2	52.8	6.27	25.9	5.5	1.57	4.67	.77	4.59	.92	2.58	.42	2.61	.44
PFM001106A	1.4	.3	15.8	4.8	13.6	103.3	2	76.2	.9	18.5	5.6	< 5	.2	130.7	41.4	49.8	97.0	10.30	41.0	7.2	.43	6.39	.106	6.46	.138	4.07	.63	4.00	.65
PFM001119A	2.4	.5	15.3	4.9	10.4	77.8	2	101.6	.3	16.6	2.4	5	< 1	159.7	19.4	41.8	81.7	8.44	31.5	5.8	.68	4.67	.68	3.44	.64	1.71	.26	1.66	.26
PFM001224C	.7	.7	15.2	5.3	13.9	26.3	7	72.1	1.0	16.0	4.9	< 5	.12	163.0	44.9	48.6	94.2	10.18	41.1	7.6	.130	6.89	.111	6.76	.147	4.32	.72	4.65	.76
RE PFM001224C	.8	.6	15.6	5.3	13.2	26.5	6	71.9	1.0	13.9	5.0	< 5	.10	155.1	40.7	43.0	83.4	8.98	35.9	6.7	1.24	5.72	.99	6.14	.130	3.95	.61	4.16	.72
PFM001229C	1.4	.3	16.5	5.5	13.7	27.4	2	158.4	1.0	14.1	4.6	< 5	.3	159.9	37.4	40.2	79.8	8.82	36.0	6.6	.78	5.74	.96	5.81	1.24	3.76	.62	3.95	.68
PFM001627A	8	< 1	15.9	5.5	18.3	8.2	5	79.8	1.2	16.9	3.1	< 5	.3	151.1	48.4	50.6	96.9	11.04	44.9	8.0	.45	6.88	.122	7.48	.159	4.85	.79	5.00	.84
PFM001635A	2.6	1.0	16.2	5.0	12.4	114.4	2	102.7	.9	15.2	5.3	6	.5	156.5	32.9	39.2	72.6	7.68	29.2	5.0	.66	4.61	.84	4.68	.99	3.15	.53	3.35	.56
PFM001636A	1.0	.2	16.8	5.6	18.2	41.1	2	87.2	1.1	16.8	5.3	< 5	.2	144.9	48.9	50.5	100.8	11.10	41.2	8.1	.47	7.46	.122	7.37	.160	4.85	.77	5.03	.82
PFM001906A	21.6	4.4	20.7	3.4	8.1	154.3	4	446.9	.5	5.0	2.5	153	.5	111.9	28.8	24.0	47.4	5.59	24.9	4.9	1.35	4.14	.70	4.55	.91	2.64	.41	2.72	.43
PFM001908A	1.0	2.1	16.5	5.4	14.8	64.4	3	185.3	.9	15.3	4.2	< 5	.6	177.6	41.1	41.4	80.0	8.87	35.1	6.9	.86	6.21	.101	6.26	1.31	4.18	.63	4.23	.71
PFM001941A	6.9	1.1	21.8	5.7	19.1	80.4	5	305.9	.8	18.0	4.9	44	.3	213.7	47.7	62.0	120.6	12.07	43.5	7.7	1.14	6.36	1.17	7.09	1.47	4.59	.73	4.97	.79
PFM001956A	1.4	1.7	16.7	5.5	13.7	110.3	3	102.2	.9	12.6	4.6	< 5	.5	180.0	35.2	40.5	79.7	8.52	32.8	6.3	1.00	5.44	.95	5.47	1.11	3.21	.54	3.81	.61
PFM002149A	2.7	1.0	13.5	3.9	9.1	104.1	2	174.5	.7	12.5	3.1	9	.9	110.3	18.2	32.8	60.4	6.21	22.4	3.9	.60	2.98	.49	2.86	.57	1.71	.27	1.87	.31

Element Samples	Co ppm	Cs ppm	Ga ppm	Hf ppm	Nb ppm	Rb ppm	Sn ppm	Sr ppm	Ta ppm	Th ppm	U ppm	V ppm	W ppm	Zr ppm	Y ppm	La ppm	Ce ppm	Pr ppm	Nd ppm	Sm ppm	Eu ppm	Gd ppm	Tb ppm	Dy ppm	Ho ppm	Er ppm	Tm ppm	Yb ppm	Lu ppm
PFM002221A	2.4	.9	13.7	3.4	7.8	82.7	1	194.5	.5	12.7	3.2	10	.3	111.0	15.1	32.6	59.7	6.04	23.1	3.7	.58	2.78	.43	2.37	.48	1.47	.23	1.41	.26
PFM005172A	14.6	1.0	18.4	1.8	4.2	42.2	<1	621.8	.3	5.6	2.0	<5	.4	48.5	17.8	22.0	41.3	4.87	21.1	4.2	2.63	3.36	.56	2.93	.59	1.76	.27	1.68	.28
PFM005193A	2.9	1.0	15.5	5.3	11.4	92.7	3	110.5	.5	14.0	4.2	9	.2	173.8	23.0	38.8	75.2	7.85	31.6	5.5	.61	4.47	.75	4.09	.76	2.06	.31	1.77	.29
PFM005197A	.7	<.1	18.9	5.3	15.4	14.4	6	96.6	1.0	15.6	4.4	<5	.3	168.7	47.8	55.9	100.0	10.86	39.6	7.4	.73	7.27	1.18	7.27	1.42	4.59	.75	4.90	.69
PFM005205B	.5	<.1	15.7	5.1	13.0	75.1	2	58.8	1.0	18.0	2.4	<5	.2	139.8	49.3	59.6	110.7	12.56	47.4	8.2	.37	7.33	1.15	7.35	1.52	4.27	.74	4.40	.58
PFM005206A	18.8	1.5	20.3	2.1	6.2	53.7	2	411.2	.5	5.5	1.9	124	.4	80.2	22.8	20.2	41.2	5.28	23.1	4.4	1.38	4.41	.65	3.79	.68	1.96	.33	1.95	.29
PFM005209A	24.0	1.7	22.5	2.4	8.9	64.1	1	516.9	.8	5.2	2.0	174	.4	77.2	20.2	19.9	40.1	4.99	19.7	4.0	1.14	3.31	.63	3.21	.60	1.87	.25	1.90	.27
PFM005217A	2.8	1.5	18.1	5.2	9.7	71.2	3	188.2	.6	9.5	3.2	<5	.8	187.8	24.3	33.7	59.9	6.78	26.6	4.8	1.18	4.11	.65	4.26	.77	2.37	.40	2.50	.38
PFM005236A	1.9	.3	18.0	3.9	8.4	49.8	2	198.8	.5	9.6	3.2	<5	.2	130.0	23.1	28.8	54.0	6.36	25.9	4.5	.91	3.81	.61	3.78	.72	2.24	.34	2.31	.32
PFM005245A	2.5	.9	25.4	4.2	18.8	123.2	4	323.7	1.7	16.2	6.2	10	.3	114.1	20.8	32.6	55.6	6.06	20.4	4.3	.61	3.06	.50	2.89	.52	1.73	.31	2.19	.32
PFM005282A	4.2	.9	16.7	3.7	8.3	79.4	2	277.7	.6	11.1	4.1	14	.1	128.8	17.8	29.2	50.8	5.23	18.1	3.3	.83	2.71	.47	2.99	.52	1.51	.27	1.86	.28
PFM005288A	2.5	.6	14.9	4.3	8.9	106.9	1	115.8	.3	16.2	2.3	6	.2	150.5	11.7	39.0	71.4	7.87	30.2	5.4	.60	4.00	.47	2.35	.40	.88	.13	.71	.14

Elements Samples	Mo ppm	Cu ppm	Pb ppm	Zn ppm	Ni ppm	As ppm	Cd ppm	Sb ppm	Bi ppm	Ag ppm	Au ppb	Hg ppm	Tl ppm	Se ppm
PFM000278B	.8	13.8	8.8	13	2.6	3.5	<.1	.1	<.1	.1	1.4	<.01	<.1	<.5
PFM000555A	.8	84.2	3.0	15	15.8	3.9	<.1	.2	.2	<.1	.8	<.01	<.1	<.5
PFM000557A	.5	6.7	2.6	66	2.3	.6	<.1	.1	<.1	<.1	1.1	<.01	.2	<.5
PFM000601A	1.0	6.3	4.2	47	2.9	2.2	<.1	.1	<.1	<.1	.5	<.01	.3	<.5
PFM000614A	.7	7.9	3.0	50	2.0	1.7	<.1	.1	<.1	<.1	<.5	<.01	.2	<.5
PFM000621A	1.4	9.0	3.7	37	2.2	.7	<.1	.1	<.1	<.1	<.5	<.01	.3	<.5
PFM000650A	.4	7.2	3.6	49	2.0	.5	<.1	.1	<.1	<.1	<.5	<.01	.3	<.5
PFM000651A	3.4	10.3	7.4	18	2.3	<.5	<.1	.1	<.1	.2	<.5	.01	.1	<.5
PFM000652A	.3	32.4	1.3	45	6.5	<.5	<.1	<.1	<.1	<.1	.5	<.01	.1	<.5
PFM000778A	.5	13.9	1.8	46	6.6	.8	<.1	.2	.3	<.1	<.5	<.01	.1	<.5
PFM000782A	3.3	56.3	3.0	41	4.4	.6	<.1	.1	.2	<.1	<.5	<.01	.1	<.5
PFM000837A	.5	40.5	3.0	46	8.8	.6	<.1	.1	.1	<.1	.6	<.01	.4	<.5
PFM000842A	.5	27.1	3.0	45	10.5	<.5	<.1	<.1	<.1	<.1	.5	<.01	.1	<.5
PFM000994A	.7	8.0	4.5	22	2.1	<.5	<.1	.1	<.1	<.1	.5	<.01	.2	<.5
PFM001010A	.3	17.3	1.7	50	6.8	<.5	<.1	<.1	<.1	<.1	<.5	<.01	.1	<.5
PFM001102A	.3	6.4	2.1	98	.2	<.5	<.1	<.1	<.1	<.1	.8	<.01	.4	<.5
PFM001106A	.5	18.3	4.9	13	2.0	.5	<.1	.1	<.1	<.1	.9	<.01	<.1	<.5
PFM001119A	1.0	7.4	3.5	26	2.3	<.5	<.1	.1	<.1	<.1	.9	<.01	.1	<.5
PFM001224C	.5	6.6	3.2	19	2.2	.8	<.1	.1	<.1	<.1	2.6	<.01	.1	<.5
RE PFM001224C	.6	8.8	3.2	20	2.6	.6	<.1	.1	<.1	<.1	.7	<.01	.1	<.5
PFM001229C	.6	58.1	3.6	17	2.3	.7	<.1	.1	.1	<.1	1.5	<.01	.1	<.5
PFM001627A	.6	8.4	2.0	3	2.3	.8	<.1	.1	.1	<.1	.9	<.01	<.1	<.5
PFM001635A	.6	6.3	3.8	28	2.1	.6	<.1	.1	.1	<.1	.6	<.01	.2	<.5
PFM001636A	.7	20.5	3.2	7	2.3	.7	<.1	.1	.1	<.1	.7	<.01	<.1	<.5
PFM001906A	.8	24.6	3.1	89	6.2	.5	.1	.1	.2	<.1	.7	<.01	.6	<.5
PFM001908A	1.1	7.3	5.1	62	1.9	.7	<.1	.1	.1	<.1	1.0	<.01	.2	<.5
PFM001941A	.6	11.5	6.8	69	4.7	.9	<.1	.1	<.1	<.1	<.5	<.01	.2	<.5
PFM001956A	.6	8.1	4.0	68	2.1	.7	.1	.1	.1	<.1	.5	<.01	.4	<.5
PFM002149A	1.2	11.1	4.2	21	2.5	.8	<.1	.1	<.1	<.1	1.1	<.01	.2	<.5
PFM002221A	.9	20.5	4.2	13	2.6	.8	<.1	.1	<.1	<.1	.7	<.01	.1	<.5
PFM005172A	1.0	13.0	4.3	109	.6	1.1	<.1	.1	.1	<.1	.5	<.01	.1	<.5
PFM005193A	.5	5.8	7.1	31	2.3	.6	<.1	.1	<.1	<.1	.7	<.01	.2	<.5
PFM005197A	.5	6.3	3.9	13	2.1	.6	<.1	.1	<.1	<.1	1.1	<.01	<.1	<.5
PFM005205B	.6	5.6	4.1	9	1.5	.7	<.1	.1	.1	<.1	.9	<.01	<.1	<.5
PFM005206A	.8	29.0	3.2	63	6.7	.7	.1	<.1	.1	<.1	.8	<.01	.2	<.5
PFM005209A	.5	53.6	3.2	60	7.0	.5	.1	<.1	.1	.1	1.0	<.01	.2	<.5
PFM005217A	1.7	5.9	3.5	49	1.5	.7	<.1	<.1	.1	<.1	<.5	<.01	.2	<.5
PFM005236A	1.0	7.7	3.8	46	1.5	<.5	<.1	.1	<.1	<.1	1.3	<.01	.1	<.5
PFM005245A	.4	6.4	5.4	50	3.0	<.5	.1	.1	.1	<.1	1.2	<.01	.2	<.5
PFM005282A	.6	7.1	5.4	54	2.8	.5	<.1	.1	.1	<.1	1.4	<.01	.2	<.5
PFM005288A	1.4	9.5	6.7	34	2.9	.5	<.1	.1	<.1	<.5	<.01	.1	<.5	